

An introduction to
enumerative
algebraic
bijective
combinatorics

IMSc
January-March 2016

Xavier Viennot
CNRS, LaBRI, Bordeaux
www.xavierviennot.org

Chapter 2

The Catalan garden

(2)

IMSc

28 January 2016

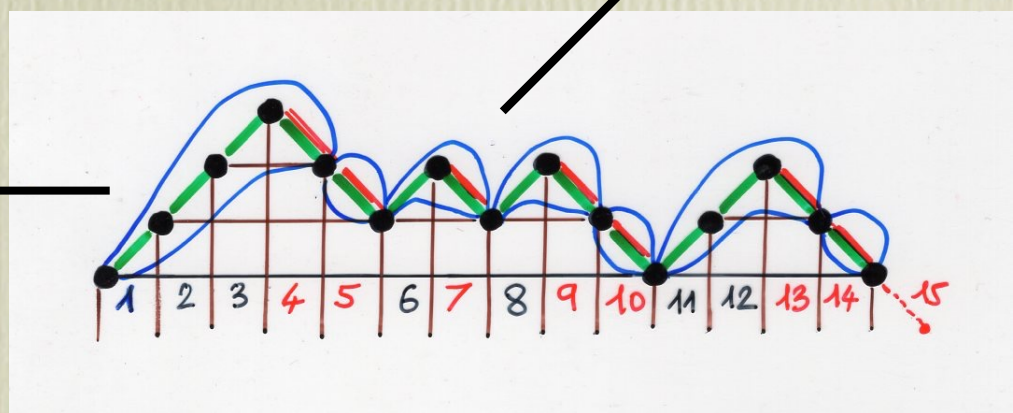
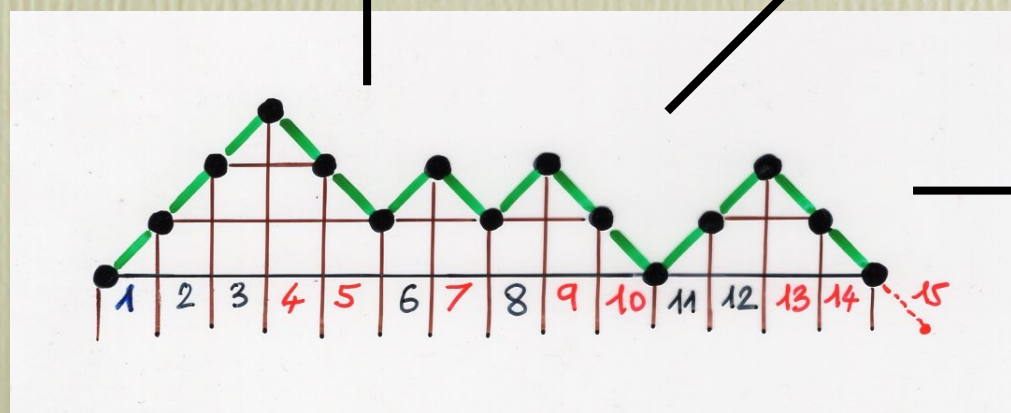
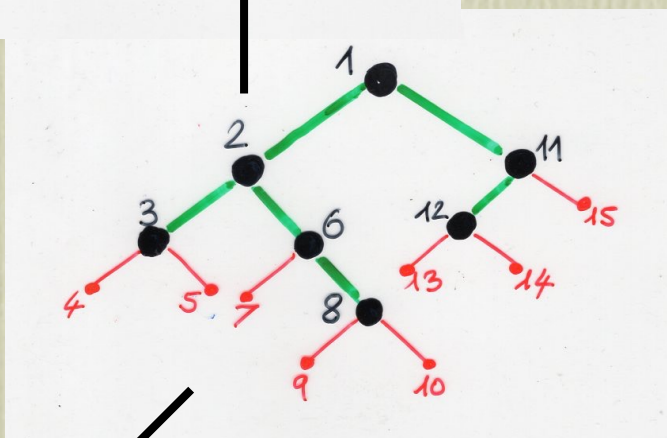
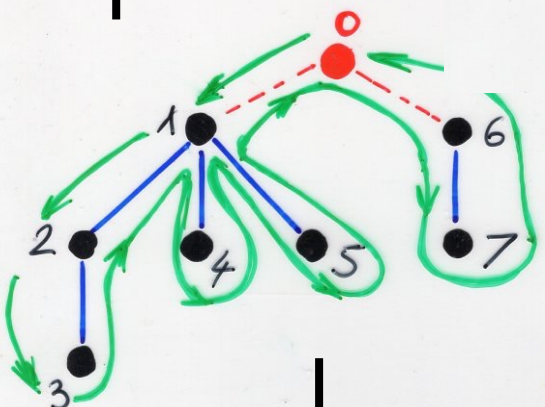
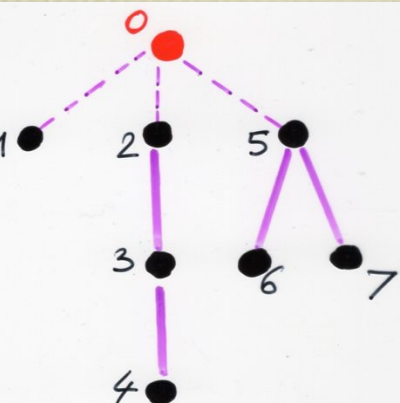
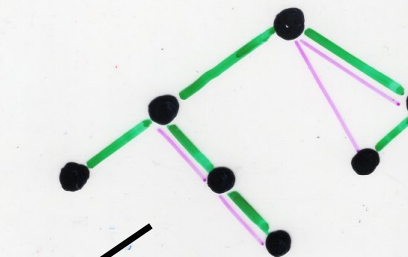
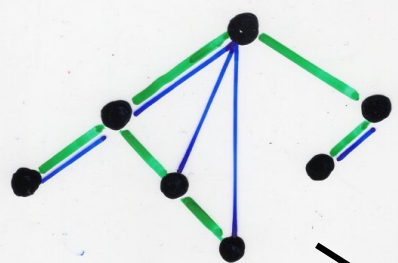
- binary trees
- complete binary trees
- planar trees

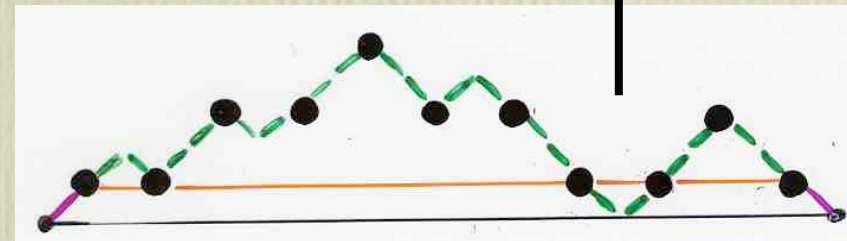
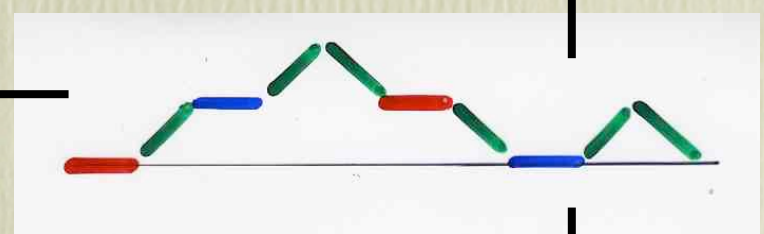
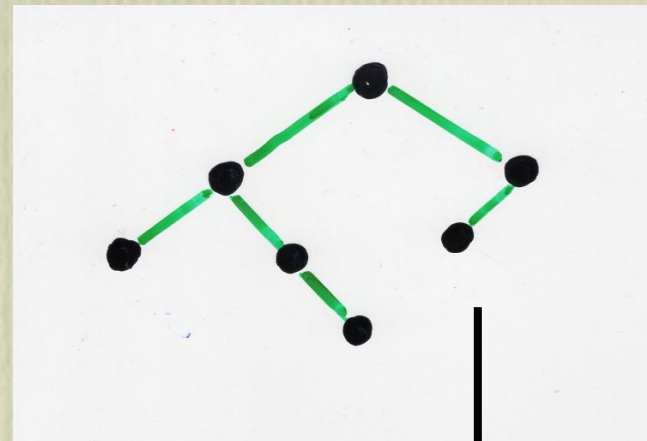
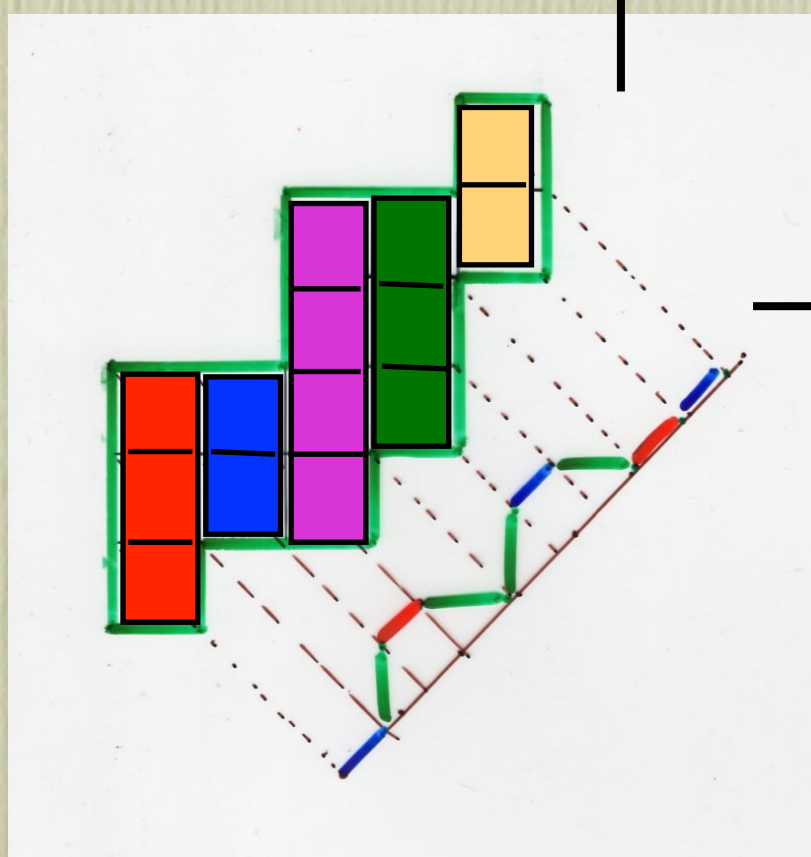
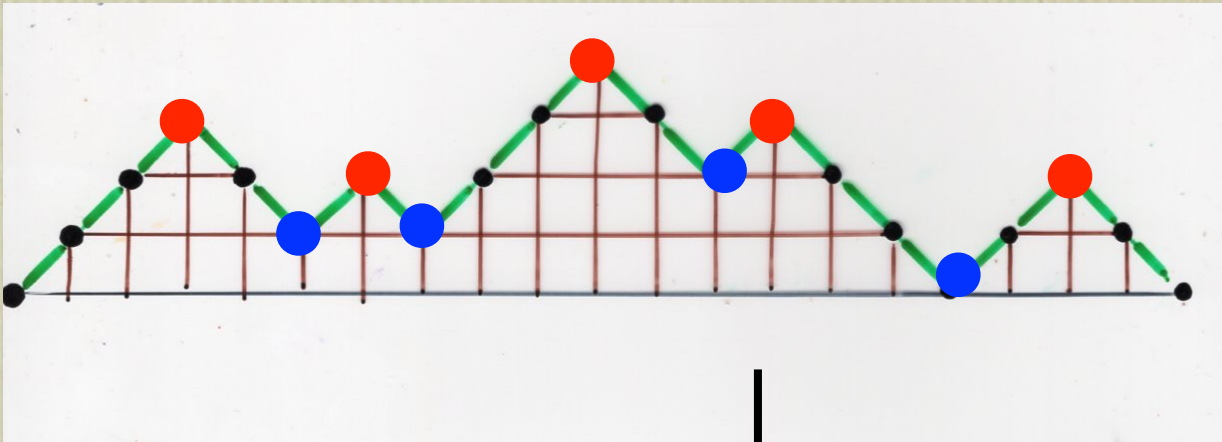
- Dyck paths
- 2-colored Motzkin paths
- Lukasiewicz paths

- triangulations
(of a convex polygon)
L. Euler

- Staircase polygons

- non-crossing partitions





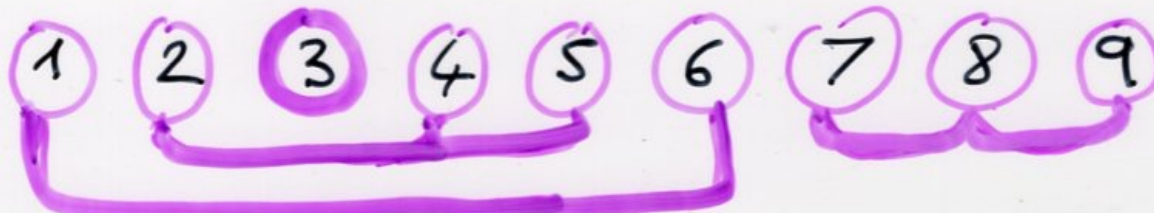
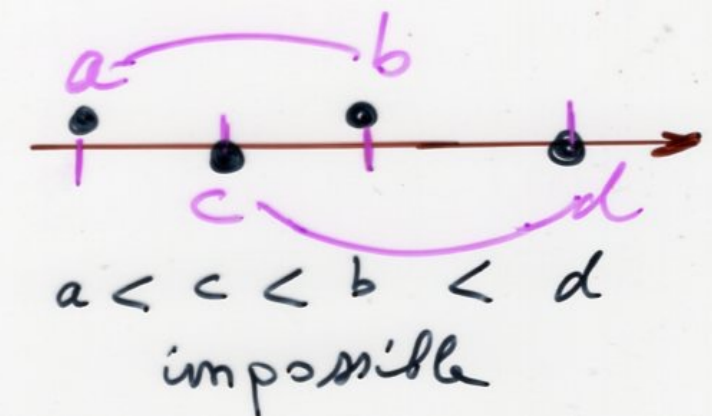
non-crossing partitions

Definition

non-crossing
partition
of $\{1, 2, \dots, n\}$

$\{B_1, \dots, B_k\}$ f
 k blocks

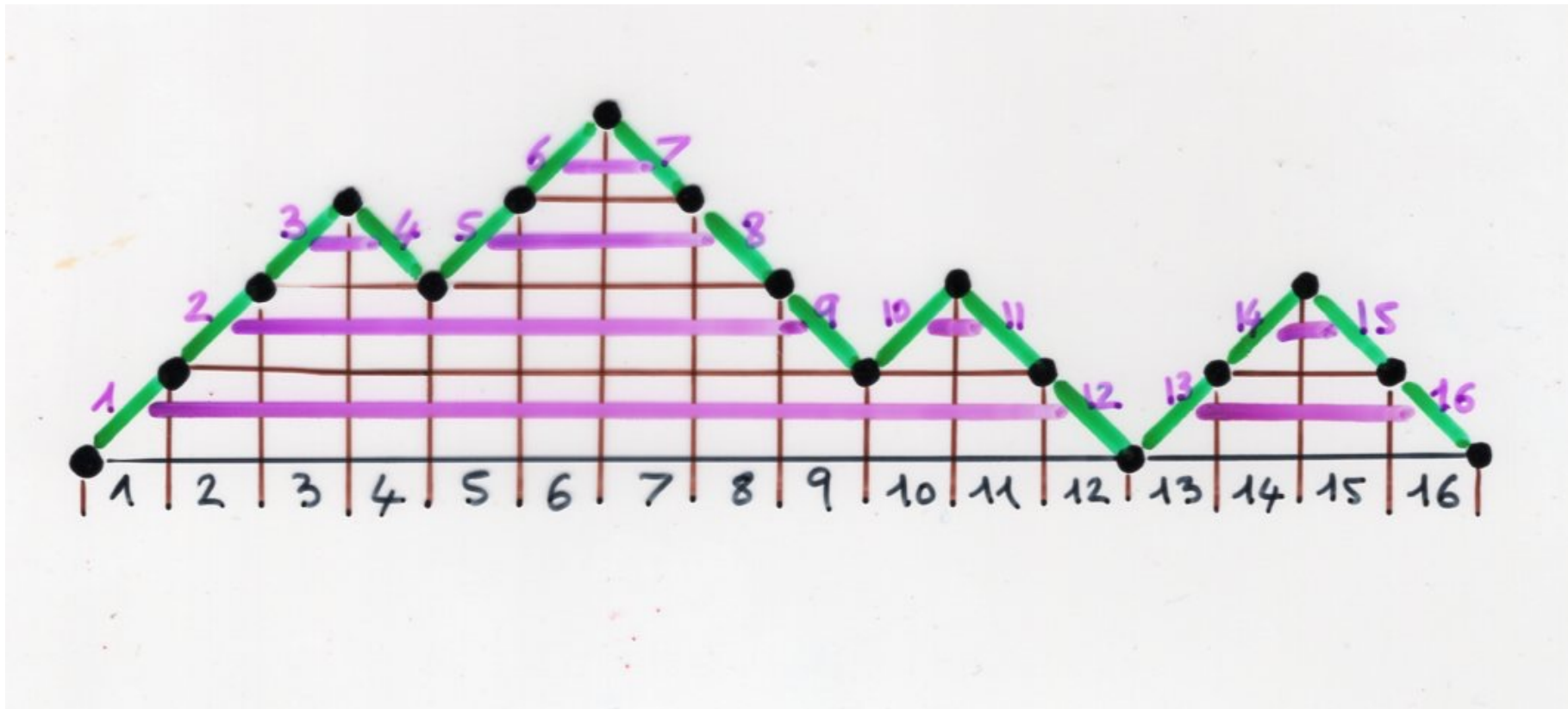
if $a, b \in B_i$
 $c, d \in B_j$ ($i \neq j$)

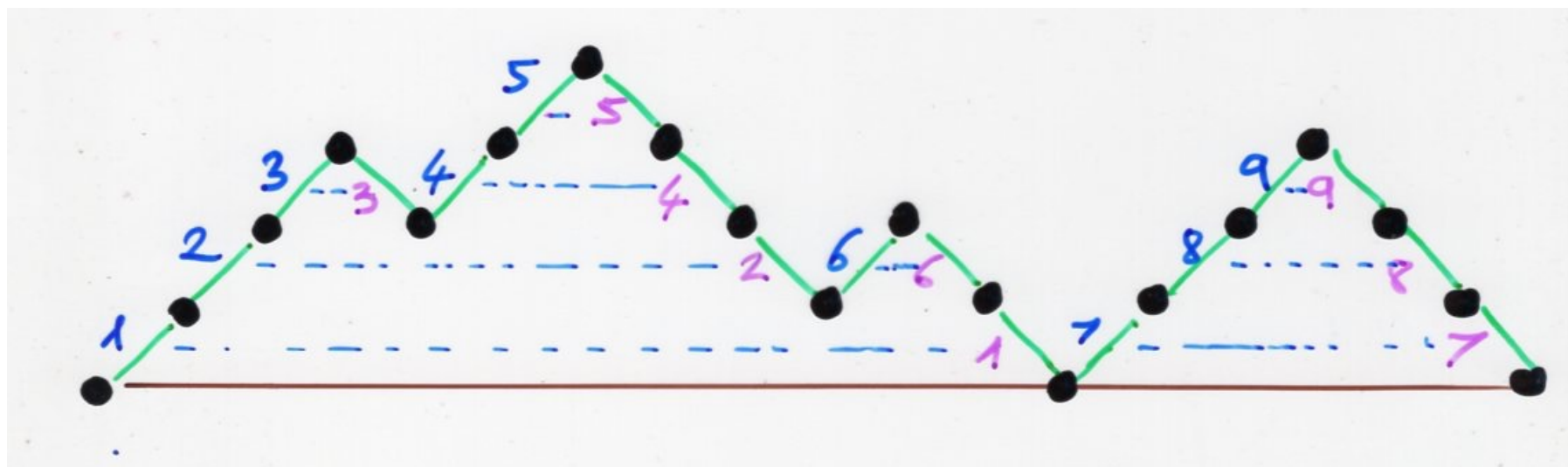


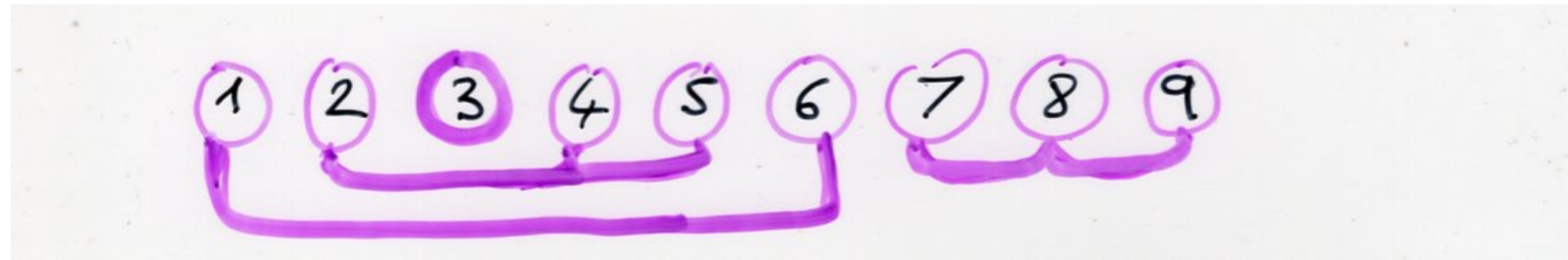
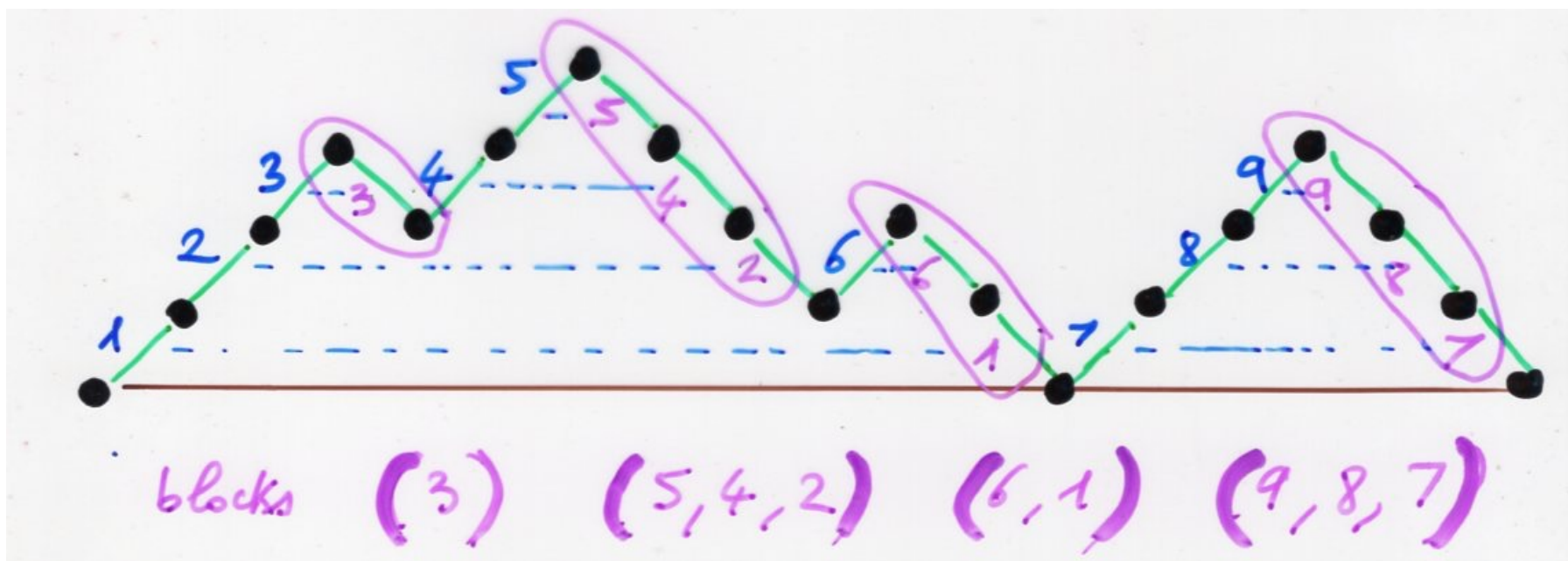
bijection

non-crossing partitions

Dyck paths







exercise

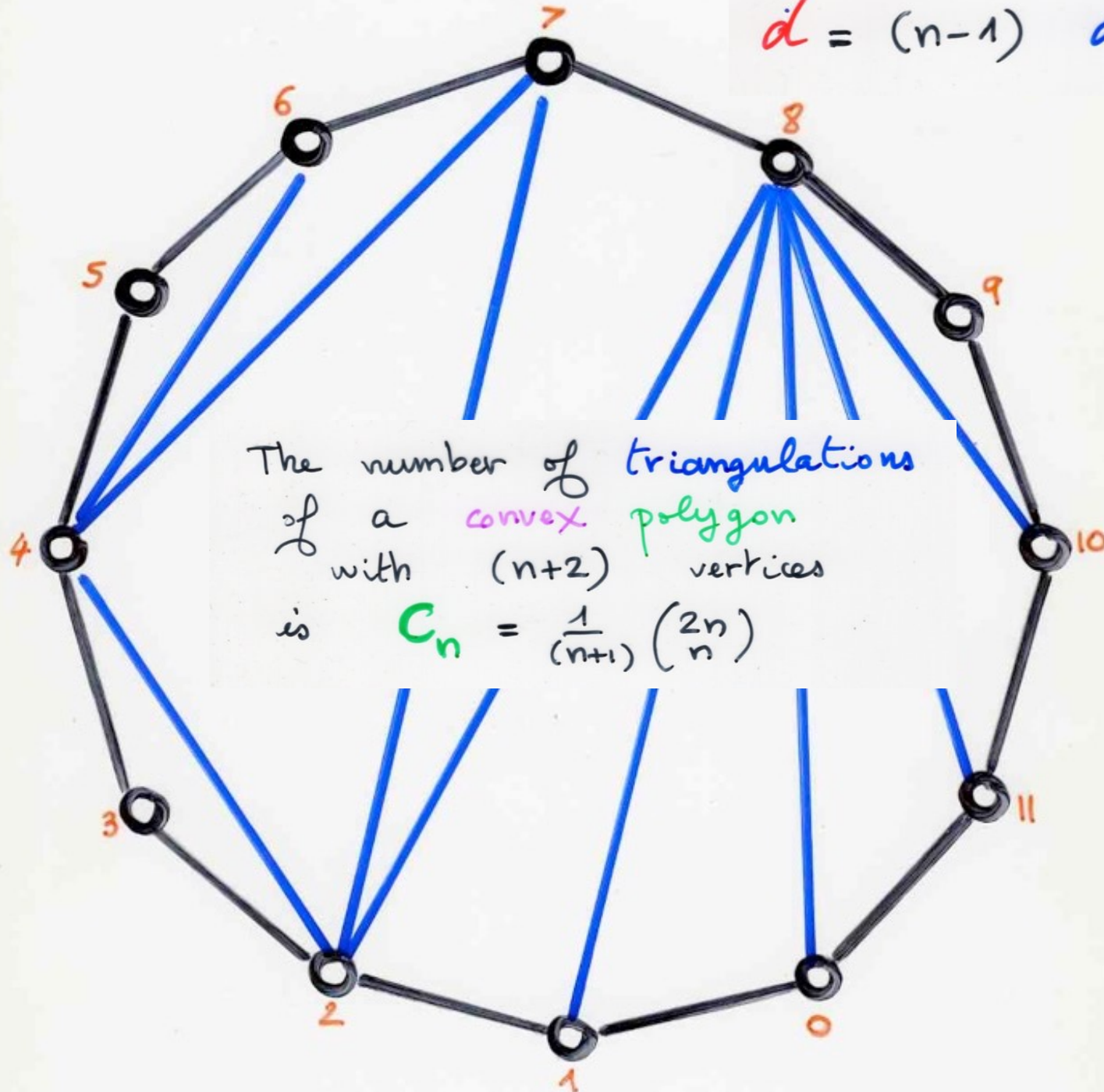
- prove this gives a non-crossing partition

- prove that it is a bijection

Dyck path \longleftrightarrow non-crossing partitions of $\{1, 2, \dots, n\}$

Triangulations
of a convex polygon

$$d = (n-1) \text{ diagonals}$$



A letter from Leonhard Euler
to Christian Goldbach

Berlin, 4 September 1751

Leonhard
Euler
1707 - 1783



unter Umsten Sessione 5
wieder lsst

die dgl. K.-quadrat quadrat $a^2 + b^2 + c^2 + d^2 = 2 \cdot j^2$

$$Das a^2 + b^2 + c^2 + d^2 = 2 \cdot j^2 ist$$
$$a^2 + b^2 + c^2 + d^2 = (a+b)^2 + (a-c)^2 + (b-c)^2 +$$

ist also $a^2 + b^2 + c^2 + d^2 - 1$ ein 3-quadrat resolvabel.

$j^2 = 8n+2$ ein 3-quadrat resolvabel. dann war j^2

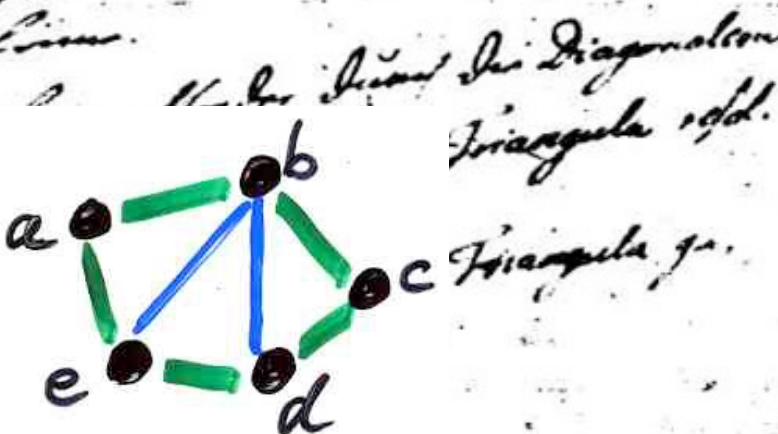
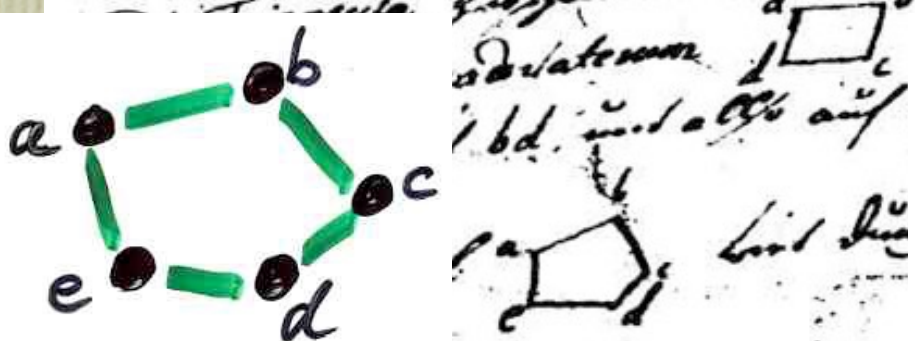
$$8n+2 = (a+b)^2 + (a-c)^2 + (b-c)^2$$

$$8n+2 = a^2 + b^2 + c^2 + d^2$$
 das ist $a^2 + b^2 + c^2 + d^2 = 2 \cdot j^2$

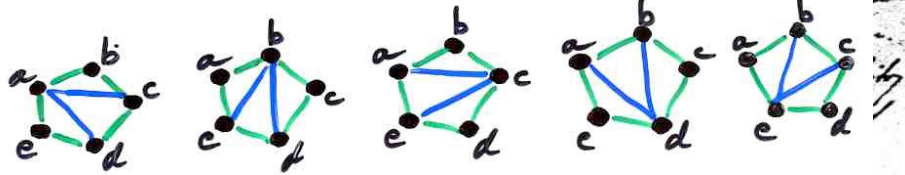
Plus dgl. ist da' aus Theorema 10.1.2. $\frac{1}{2} \cdot 2 \cdot j^2 = j^2$

und aus Theorem 10.1.2. folgt das gesuchte.

Gesucht nun ob ein Vierkant resolvabel ist.
ist das möglich so kann man das Vierkant in vier Dreiecke
nur in einem gegebenen Polygonum durch Diagonalen teilen
so dass es keinen Lücken hat.



Gebt mir aber nur auf 5 nach lösbarer oder ungekennzeichnet
Fünf & diagonale 3. ab; 11. ab; 13. ab; 14. ab; 15. ab



Bei Induktion vorgegangen
Von mir aus der Anzahl die lösbarer haben = x
so habe ich per Induktion gefunden

Wann $n = 3, 4, 5, 6, 7, 8, 9, 10$

ist $x = 1, 2, 6, 14, 42, 152, 429, 1450$

$$\text{Hieraus folgt, dass die Anzahl gegeben ist. Ich verlasse mich hierauf.}$$

$$x = \frac{2 \cdot 6 \cdot 10 \cdot 14 \cdot 18 \cdot 22 \cdots (4n-10)}{2 \cdot 3 \cdot 4 \cdot 5 \cdot 6 \cdot 7 \cdots (n-1)} = \frac{(2n)!}{(n+1)! n!}$$

Das alle anderen jenseitig die folgenden lösbar geworden
sind. Bei Induktion aber, so ist es nicht, was zunächst anfangs
der Fall ist und das kann nicht mehr sein. Und das
würde nicht stimmen. Aber die Proposition ist dann
gewahrt. Ich

$$1 + 3a + 5a^2 + 10a^3 + 12a^4 + 10a^5 + \dots = \frac{1 - 2a - \sqrt{1 - 4a}}{2a}$$

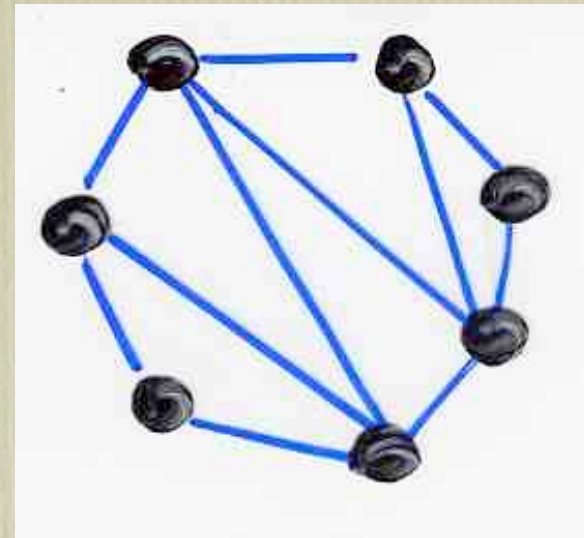
$$\text{alle wenn } a = \frac{1}{4} \text{ ist } 1 + \frac{3}{4} + \frac{5}{16} + \frac{15}{64} + \frac{45}{256} + \dots = 4.$$

Die zweite Gleichung für die Ziffernfolge ist
stundig aufzugeben und gelingt nicht. Und das
ist das ist die Ziffer und die Ziffernfolge ist
die Ziffernfolge für die Ziffern

von Ziffernfolgen

1. Seite & 4. Seite
1751

gefordert zu können
Euler



Gesucht sind die Anzahlen auf 5 wichtigen Arten geschrieben ausführlich
 fünf 3-Diagonale: I. $\frac{2n}{2}$; II. $\frac{4n}{3}$; III. $\frac{6n}{5}$; IV. $\frac{8n}{7}$; V. $\frac{10n}{6}$

Zunächst wird ein Dreieck mit 5 wichtigen 3-Diagonale in 2 Triangula
 zerlegt und später ein auf 14 Segmente unterteilt.

Diese ist die 3. Regelmäßigkeit. Da ein Polygon von n Seiten
 durch $n-3$ Diagonale in $n-2$ Triangula zerlegt wird, auf
 bei entsprechendem Dreieck folgen können.

Dann ist x die Anzahl der Segmente des Dreiecks = x

Wann $n = 1, 2, 5, 14, 42, 132, 429, 1430, \dots$

ist $x = 1, 2, 6, 14, 42, 132, 429, \dots$

Triangularzahl ist um den Faktor x gewählt. In generalisierter
 Form:

$$x = \frac{2 \cdot 6 \cdot 10 \cdot 14 \cdot 18 \cdot 22 \cdots (2n-10)}{2 \cdot 3 \cdot 4 \cdot 5 \cdot 6 \cdot 7 \cdots (n-1)} = \frac{(2n)!}{(n+1)! n!}$$

$$\therefore 6 = 2 \cdot 3, 14 = 5 \cdot \frac{14}{3}, 42 = 14 \cdot \frac{6}{2}, \dots$$

$$C_n = \frac{1}{n+1} \binom{2n}{n} \text{ längst } n! = 1 \times 2 \times 3 \times \dots \times n$$

$$\frac{1 - 2a - \sqrt{1 - 4a^2}}{2a^2}$$

$$1 + 2a + 5a^2 + 14a^3 + 42a^4 + 132a^5 + \text{etc}$$

geometrisch ist
 $1 + 2a + 5a^2 + 14a^3 + 42a^4 + 132a^5 + \text{etc} = \frac{1 - 2a - \sqrt{1 - 4a^2}}{2a^2}$

allein wenn $a = \frac{1}{4}$ ist $1 + \frac{2}{4} + \frac{5}{16} + \frac{14}{64} + \frac{42}{256} + \frac{132}{1024} + \text{etc} = 1$.

Die Division lassen wir für die Hochschule
 Standardausbildung gesondert ausarbeiten und
 es soll hier offen und ohne Nachdruck der Ausarbeitung

Lektionen für Studenten

der Hochschule kommen

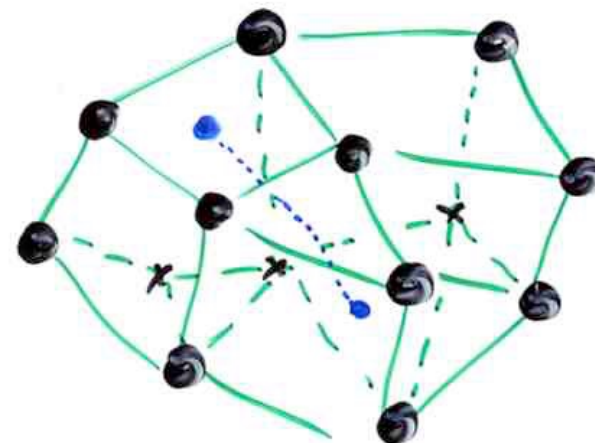
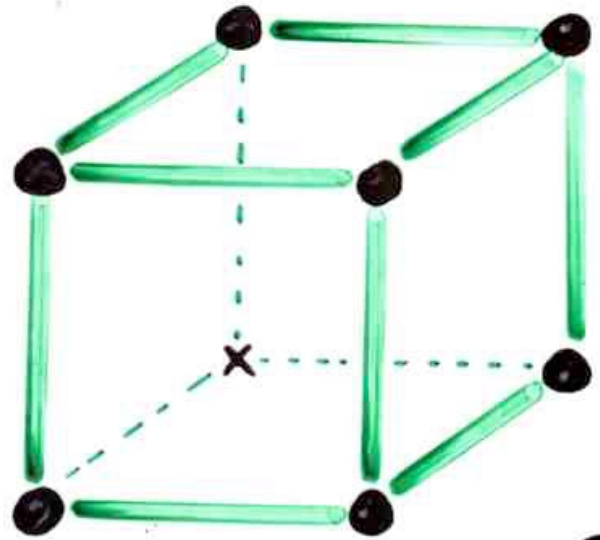
Colle & 4th Sept
1751.

4 Sept 1751
Berlin

gefordert den Lehrling
Euler

convex

Polyhedron

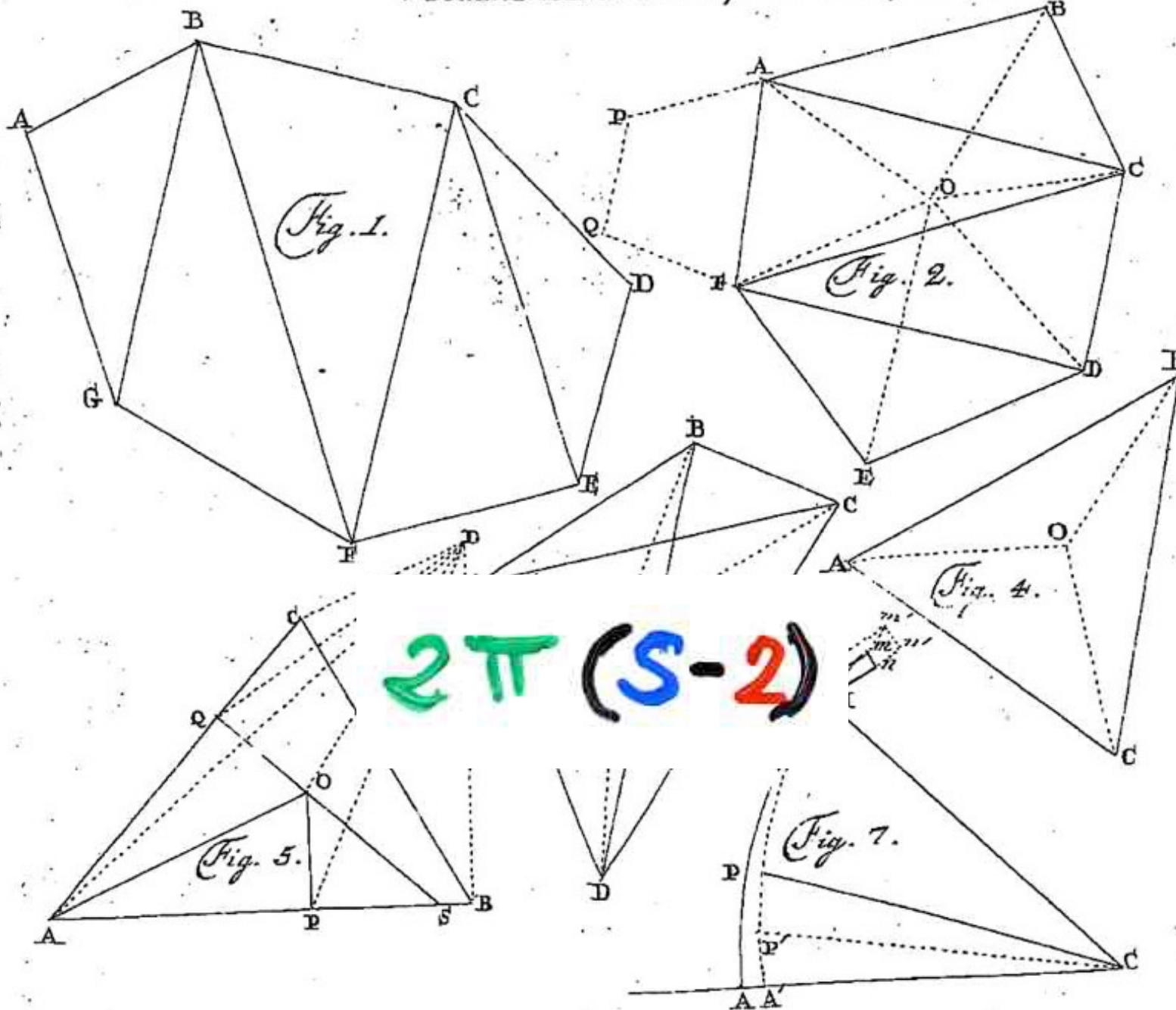


Descartes formula

$$\sum \text{defects} = (2\pi) \times (S - A + F)$$

$$S - A + F =$$

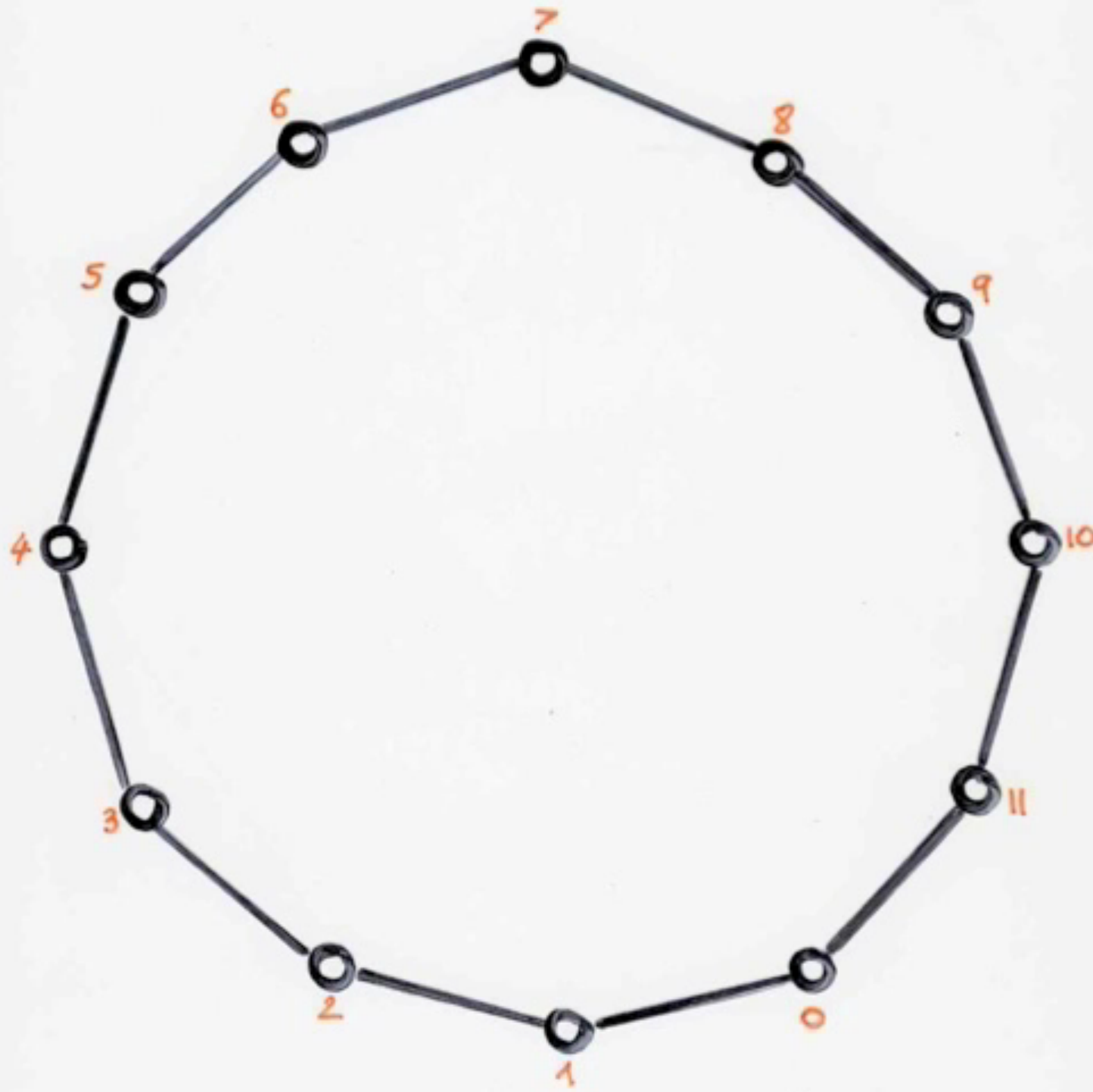
$$8 - 12 + 6 = 2$$



bijection

triangulations

(complete) binary trees



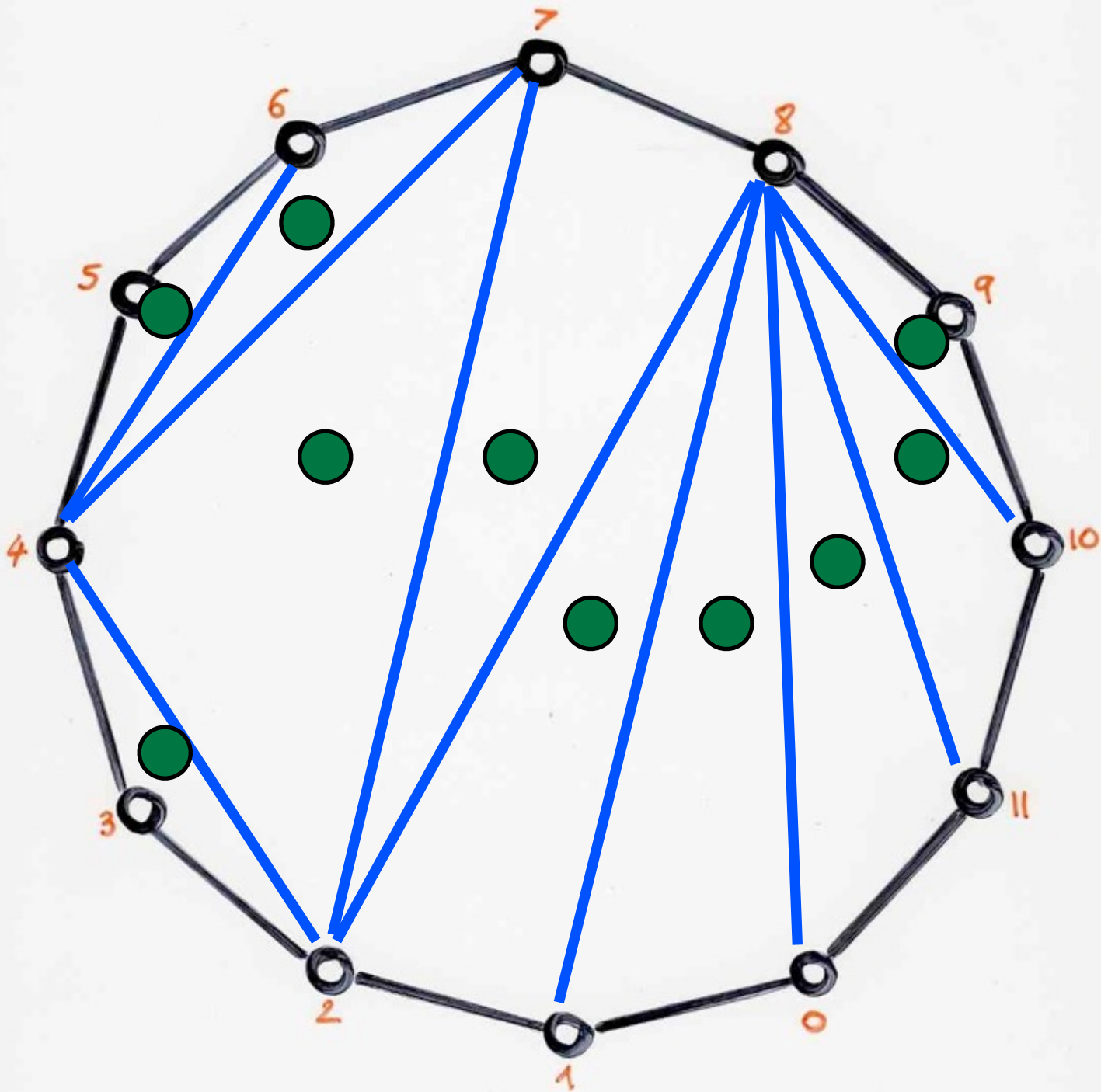
violins:

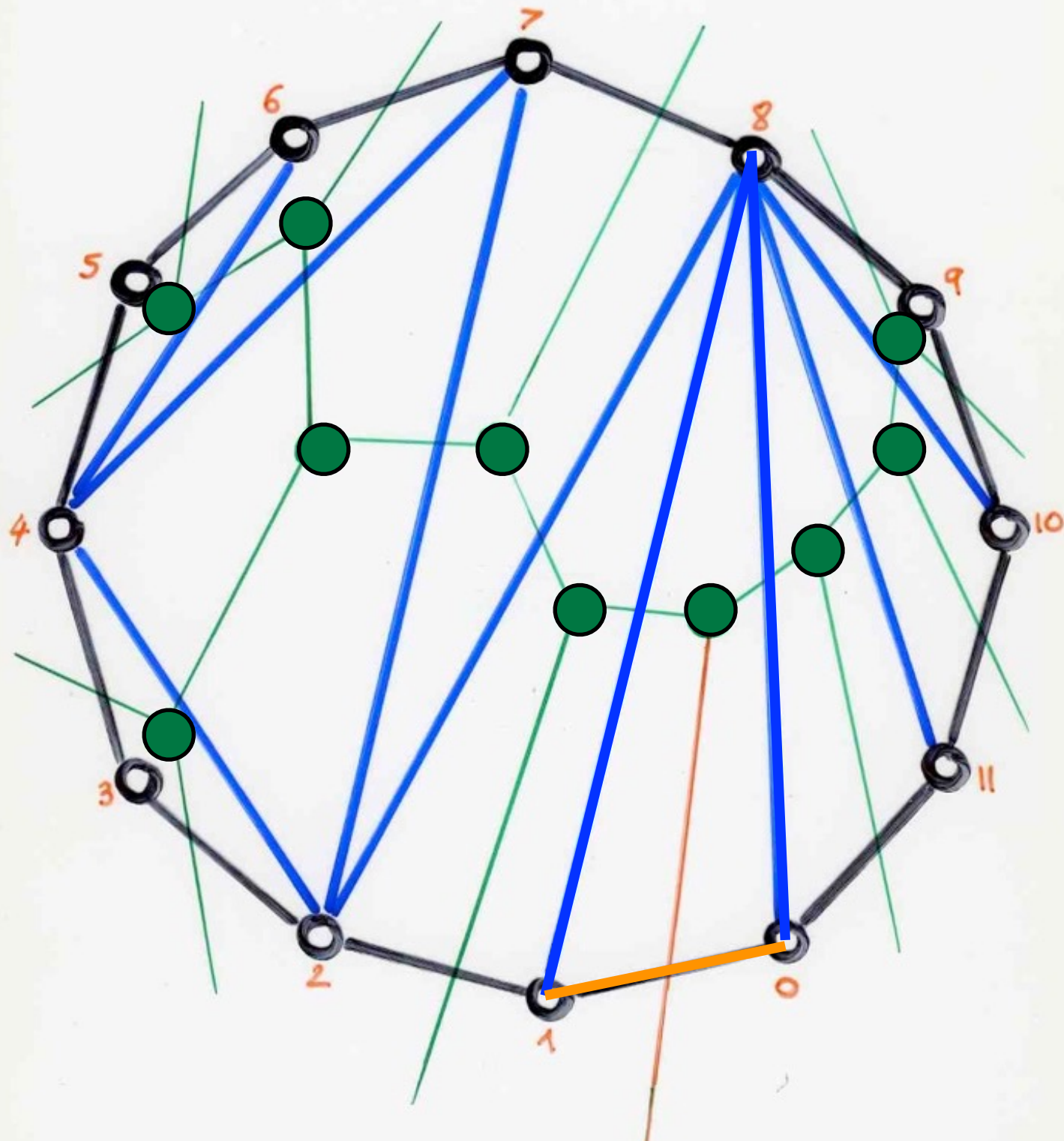
Mariette Freudenthal

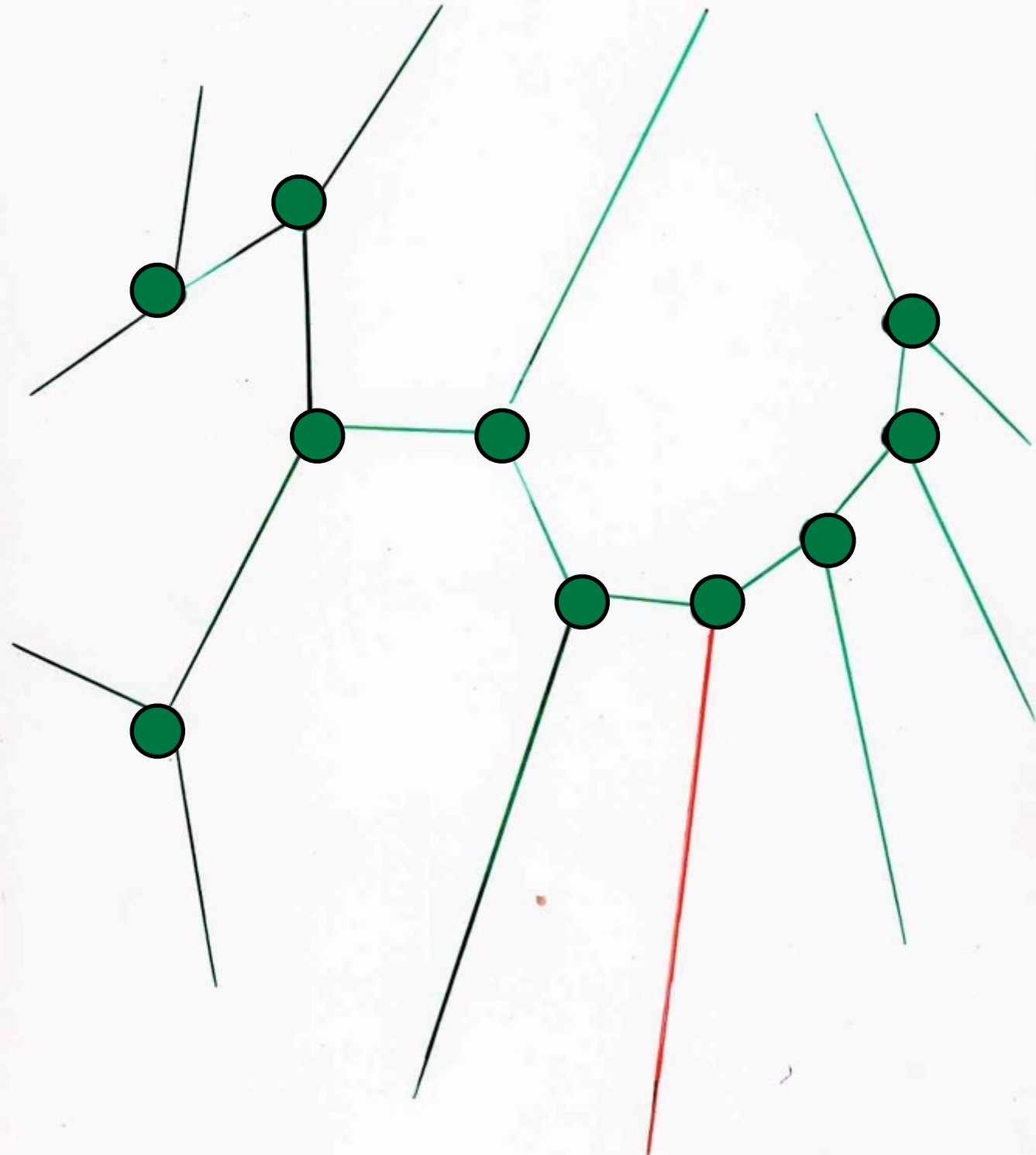
Gérard H.E. Duchamp

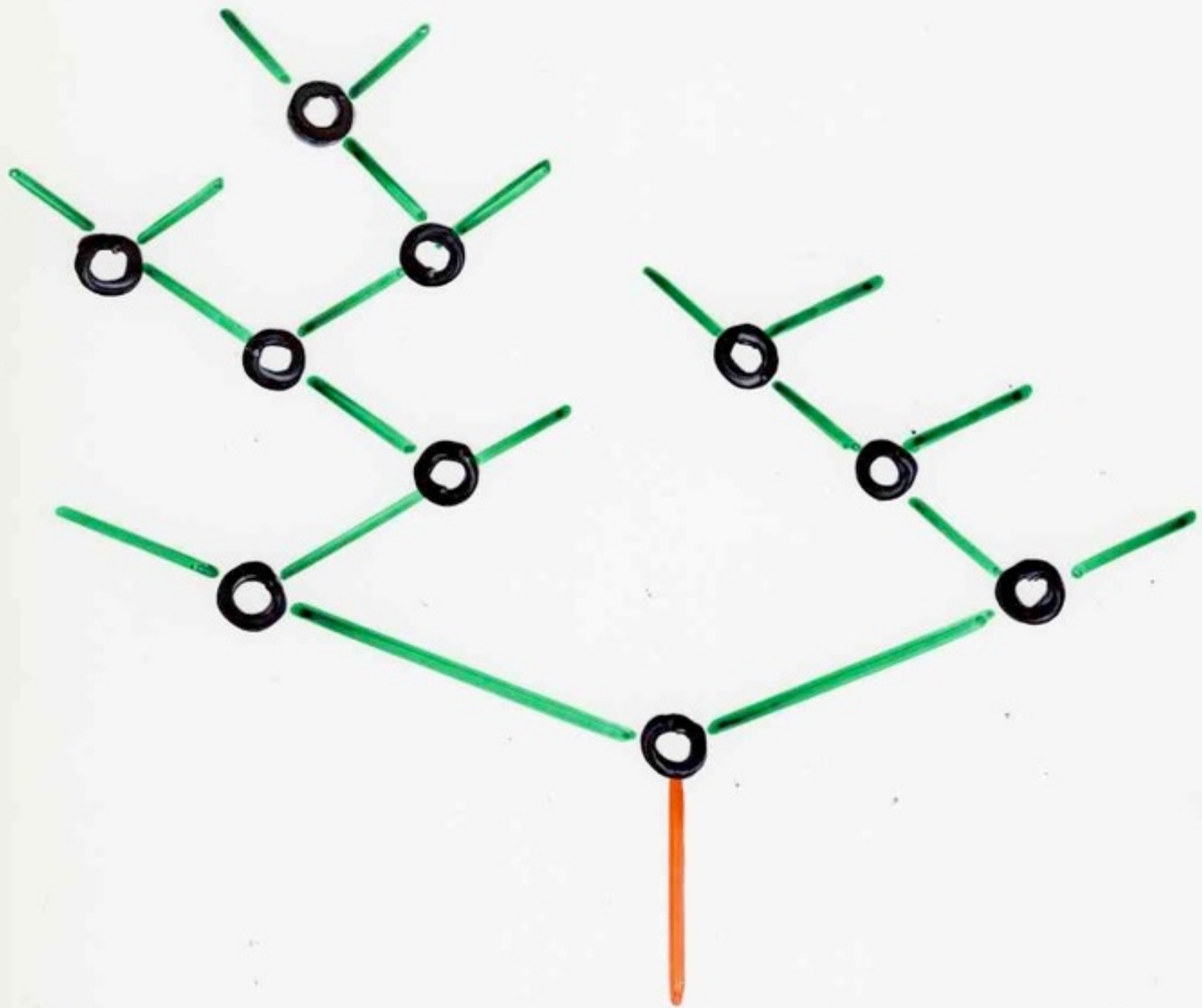
Association
Cont'Science

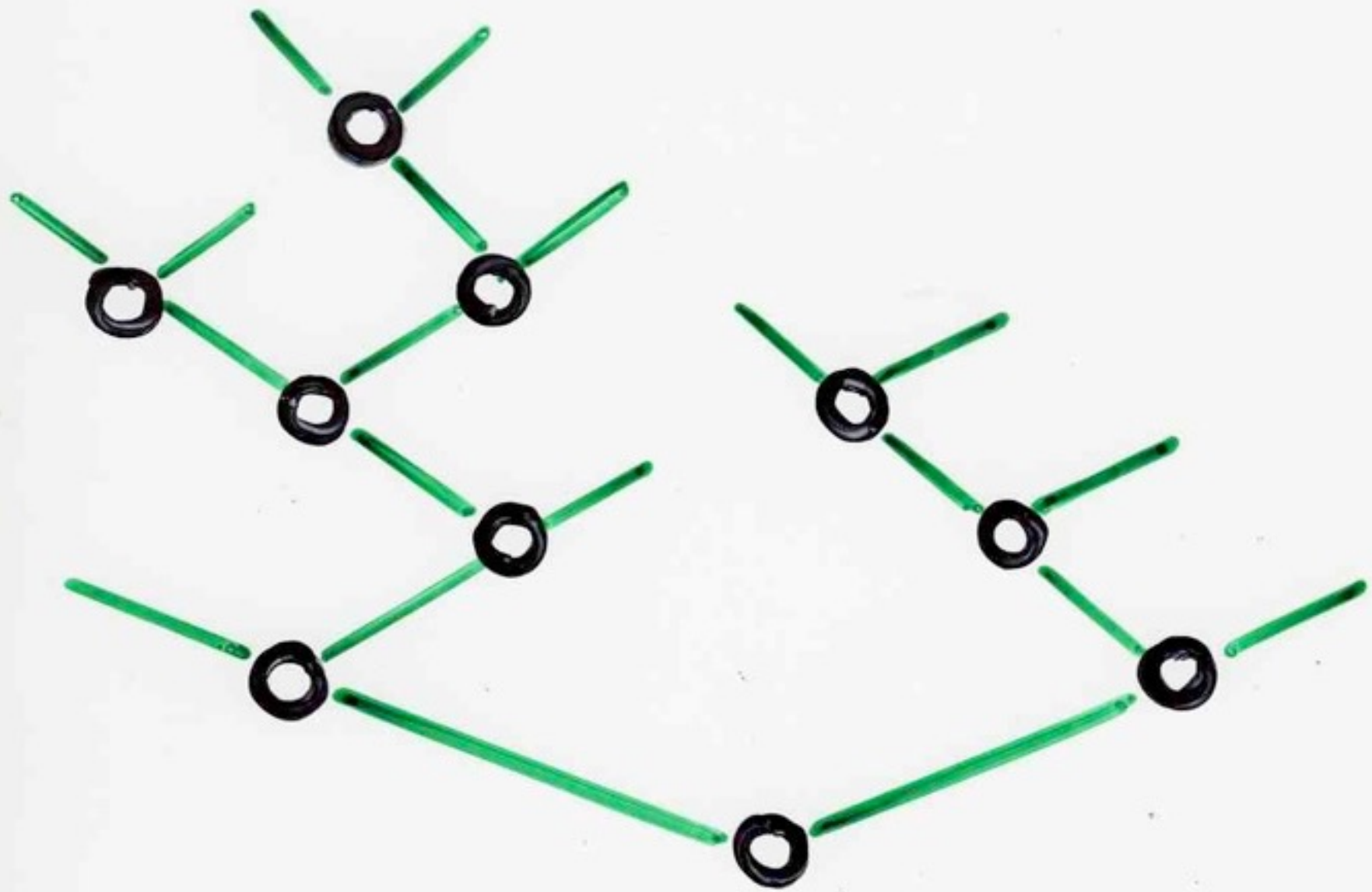
Atelier audiovisuel
Université Bordeaux I
Yves Descubes
Franck Marmisse





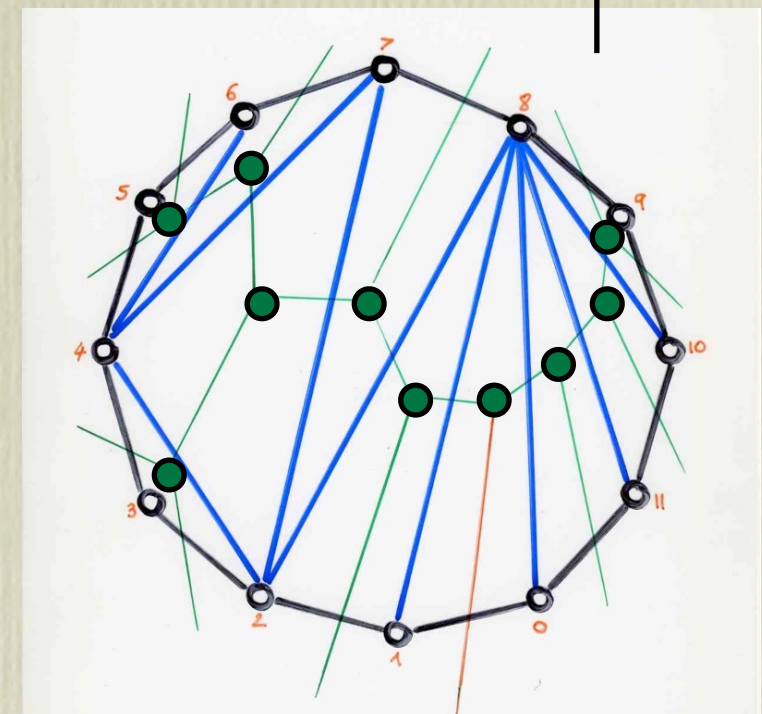
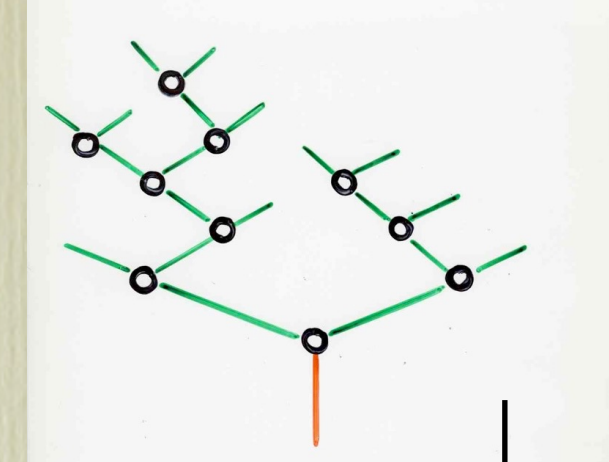


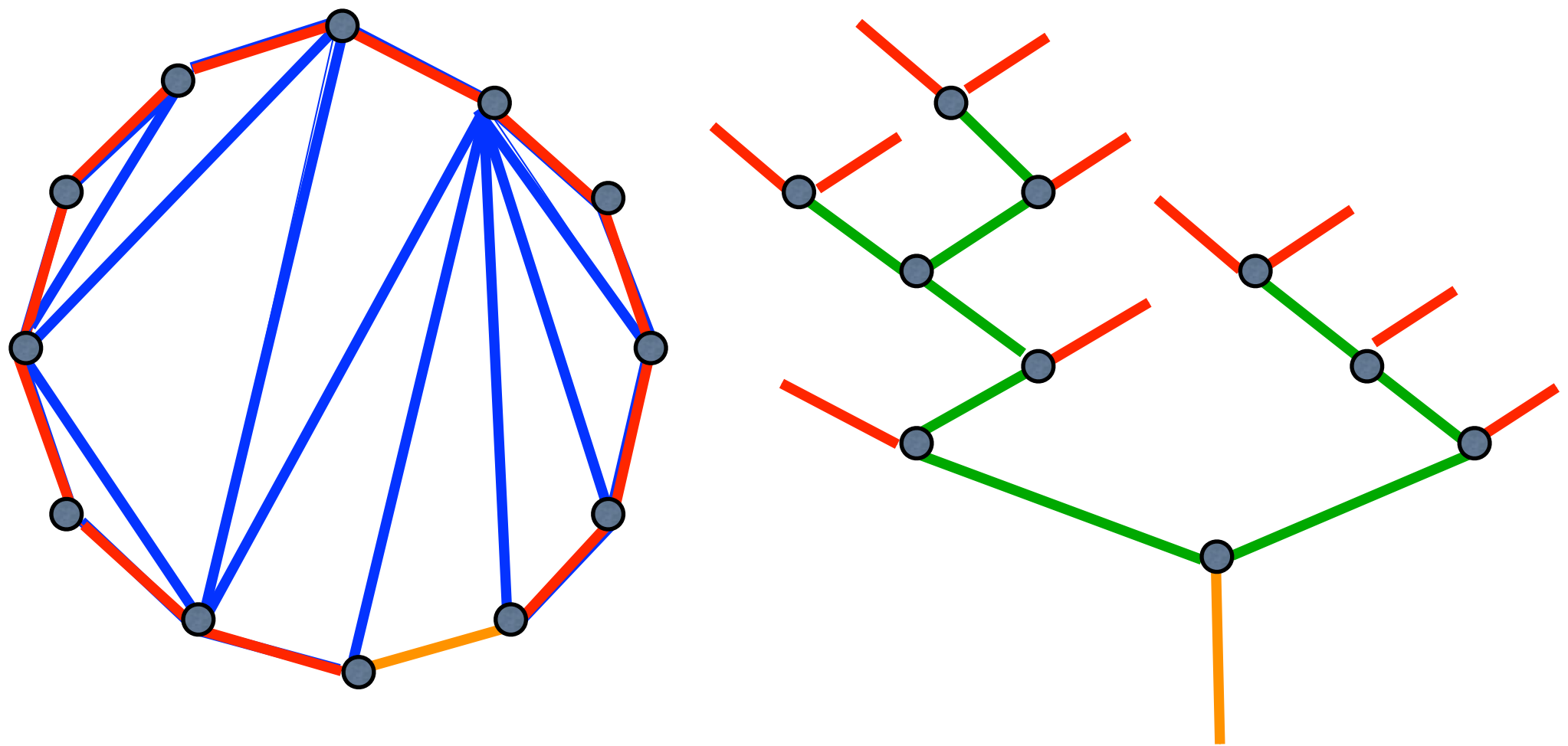




exercise

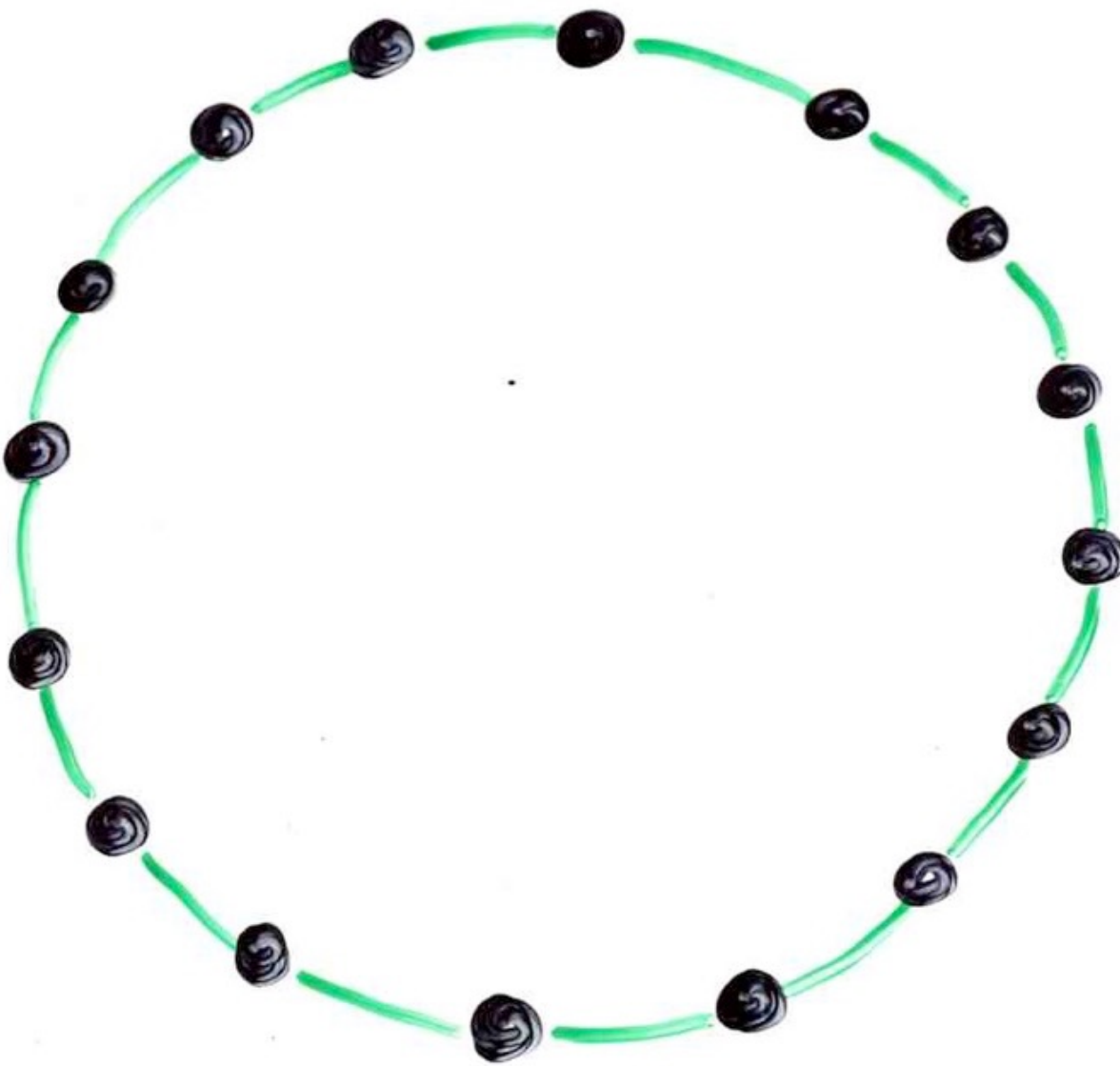
reciprocal bijection
from complete binary trees
to triangulations

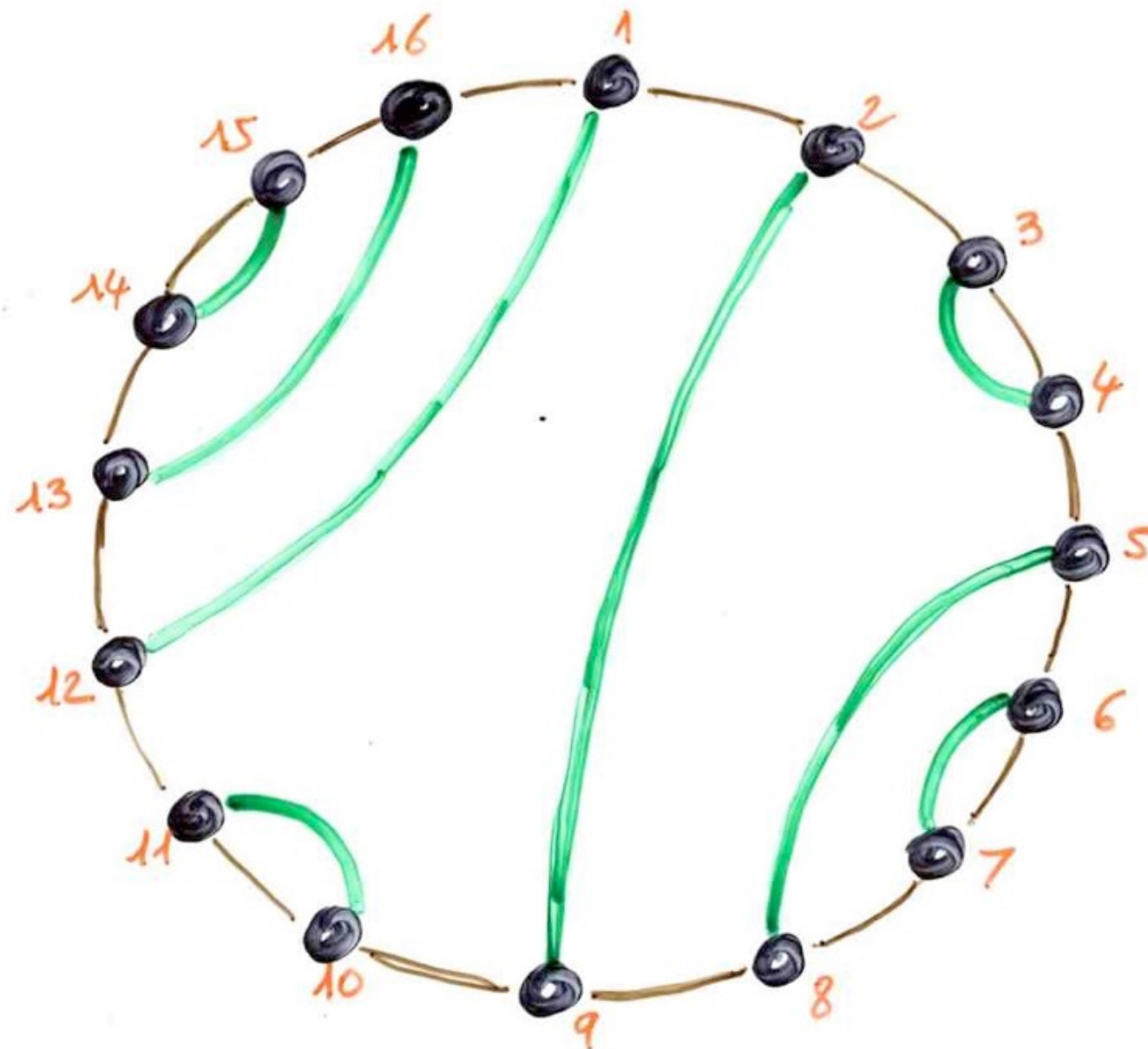


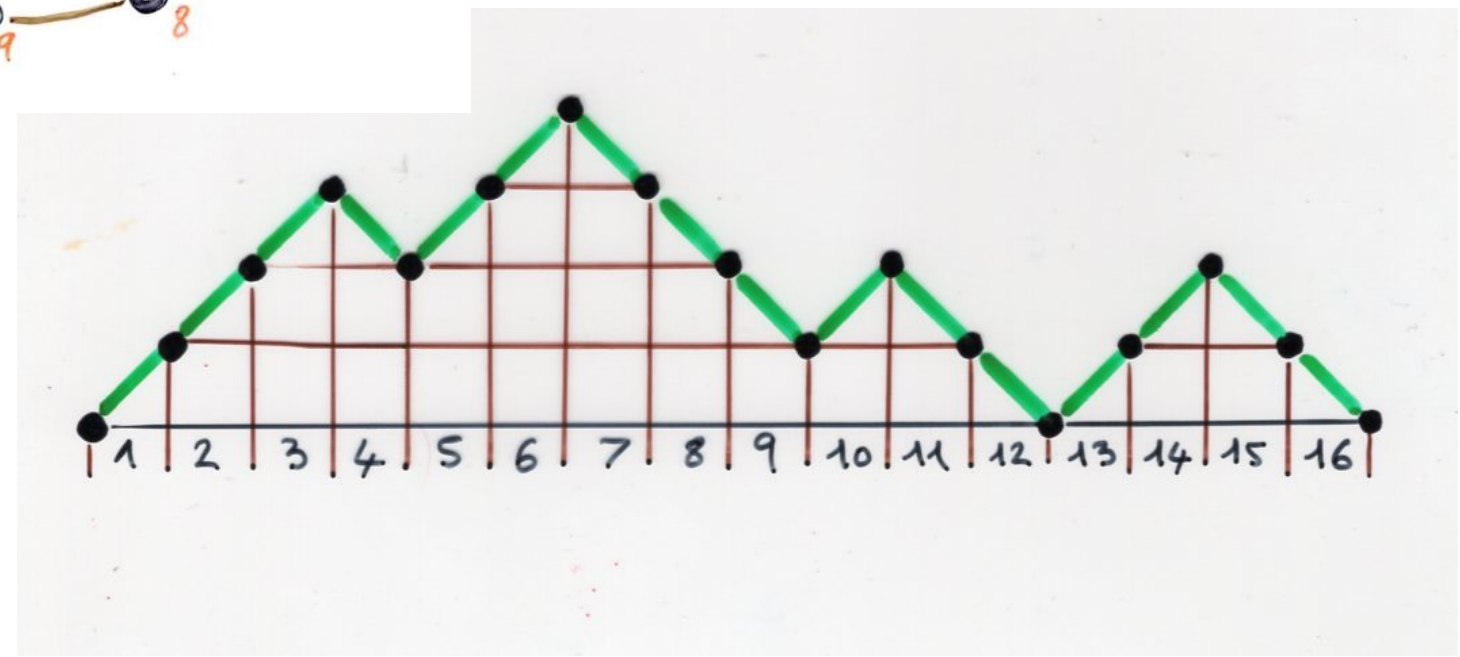
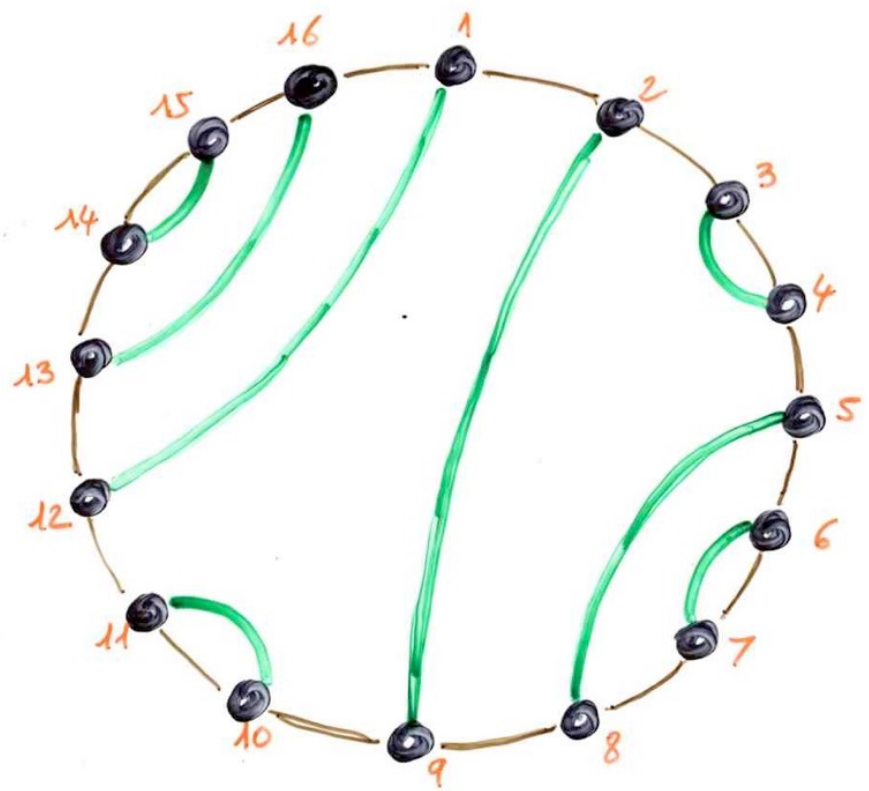


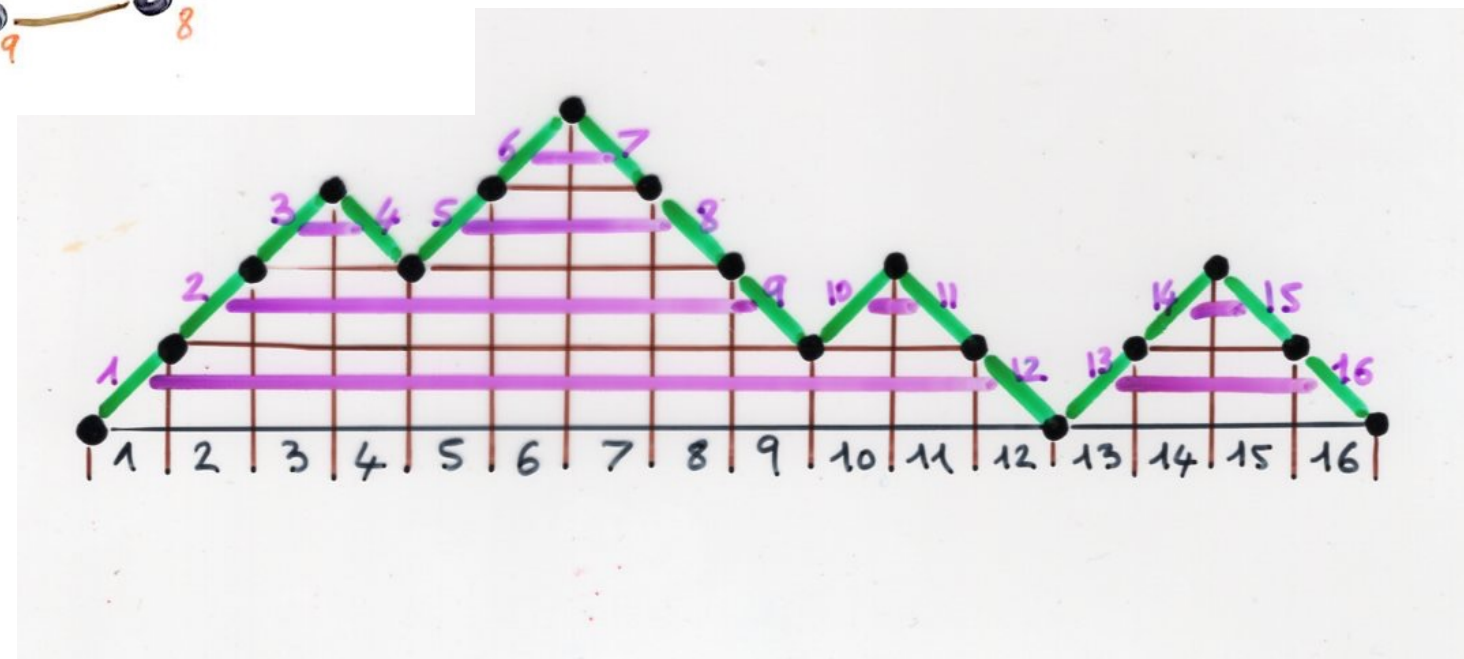
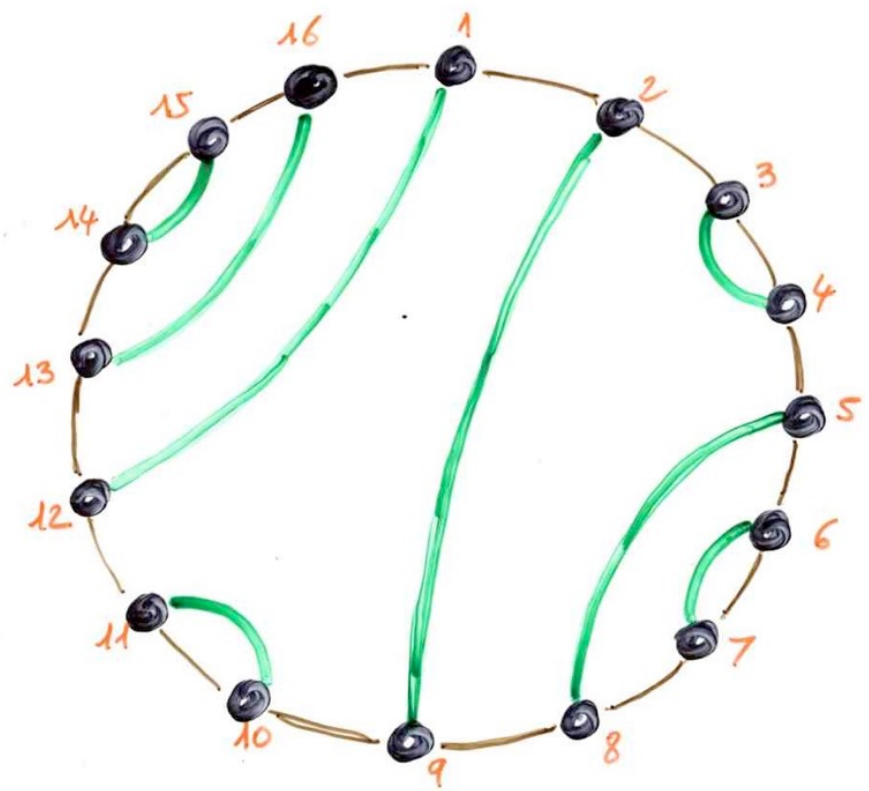
some other interpretations of
Catalan numbers

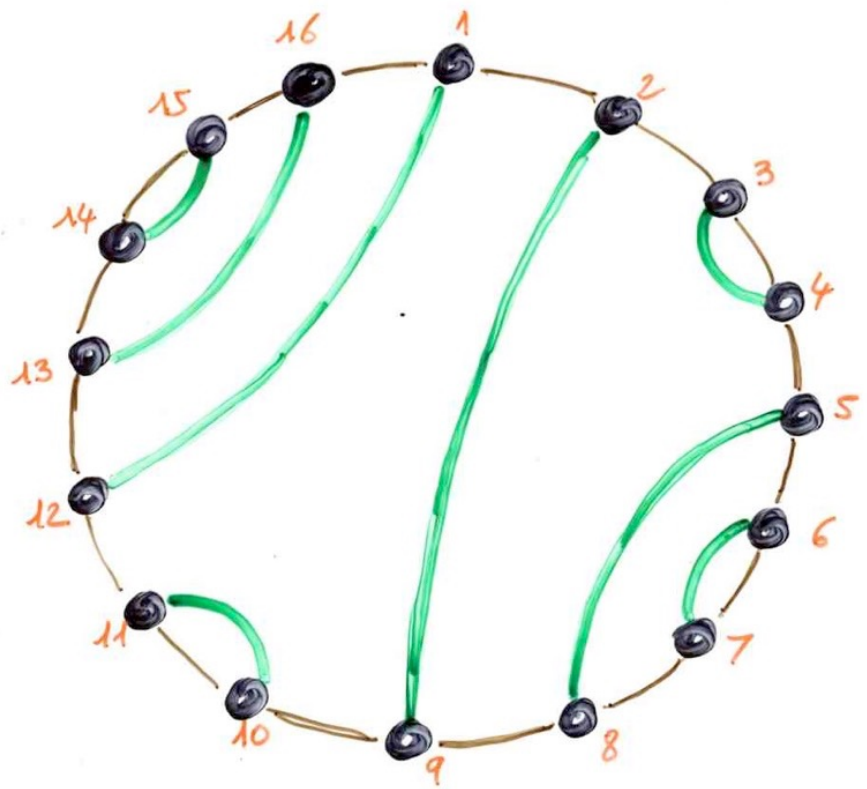
Chord diagrams



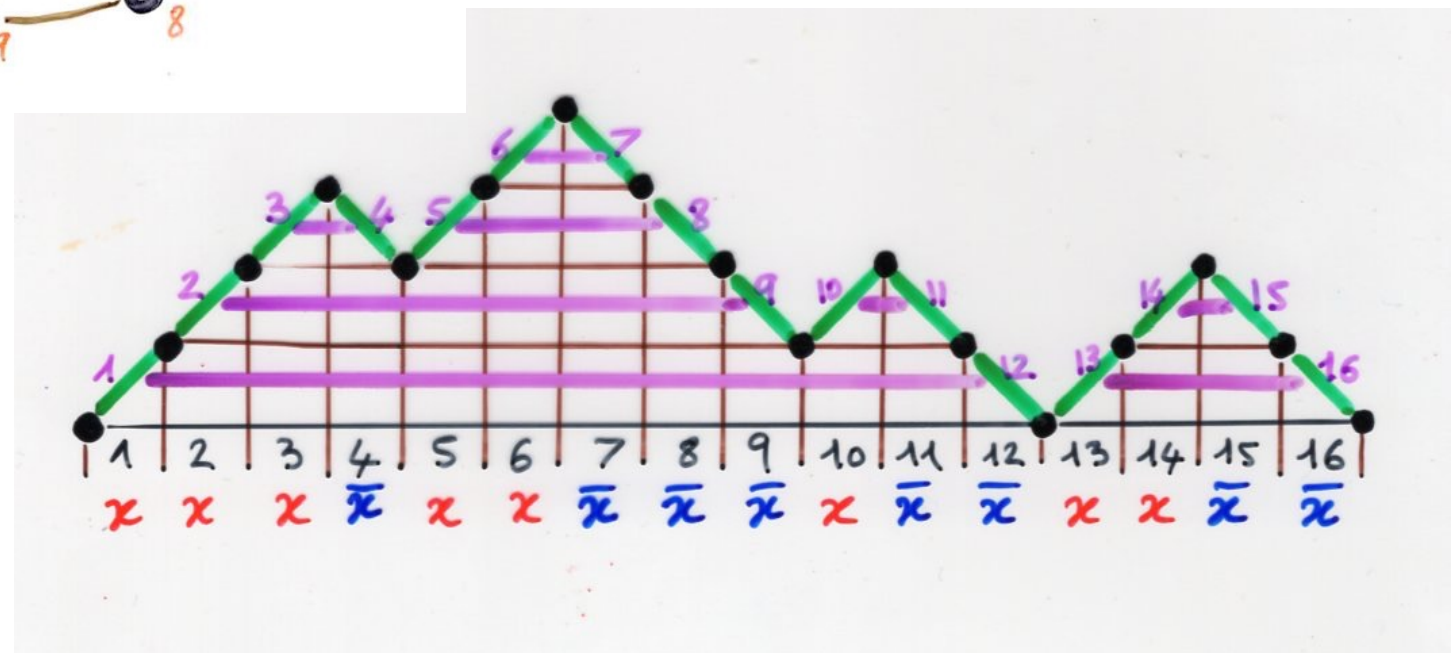


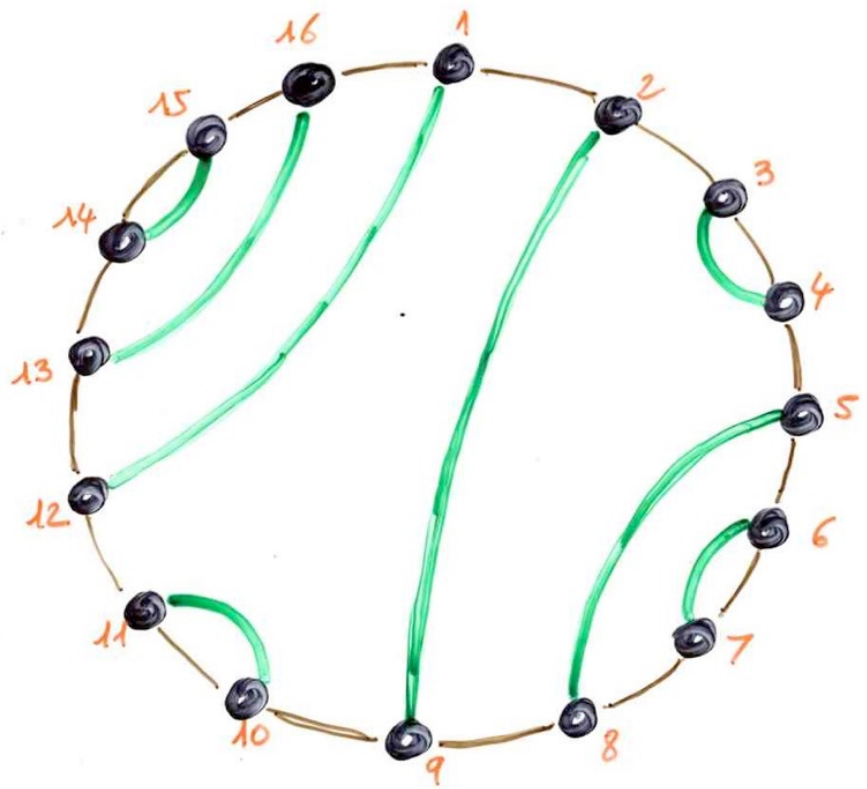




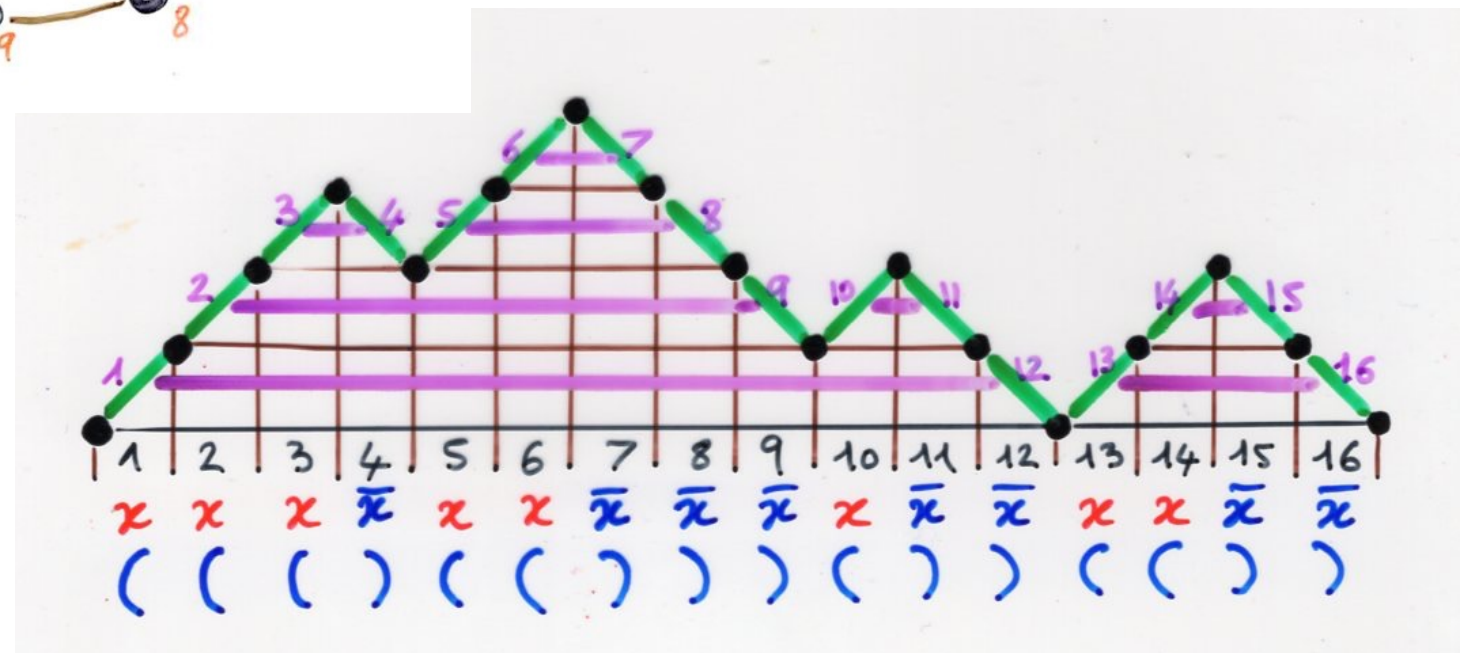


Dyck word
 x, \bar{x}





system of
parenthesis
()



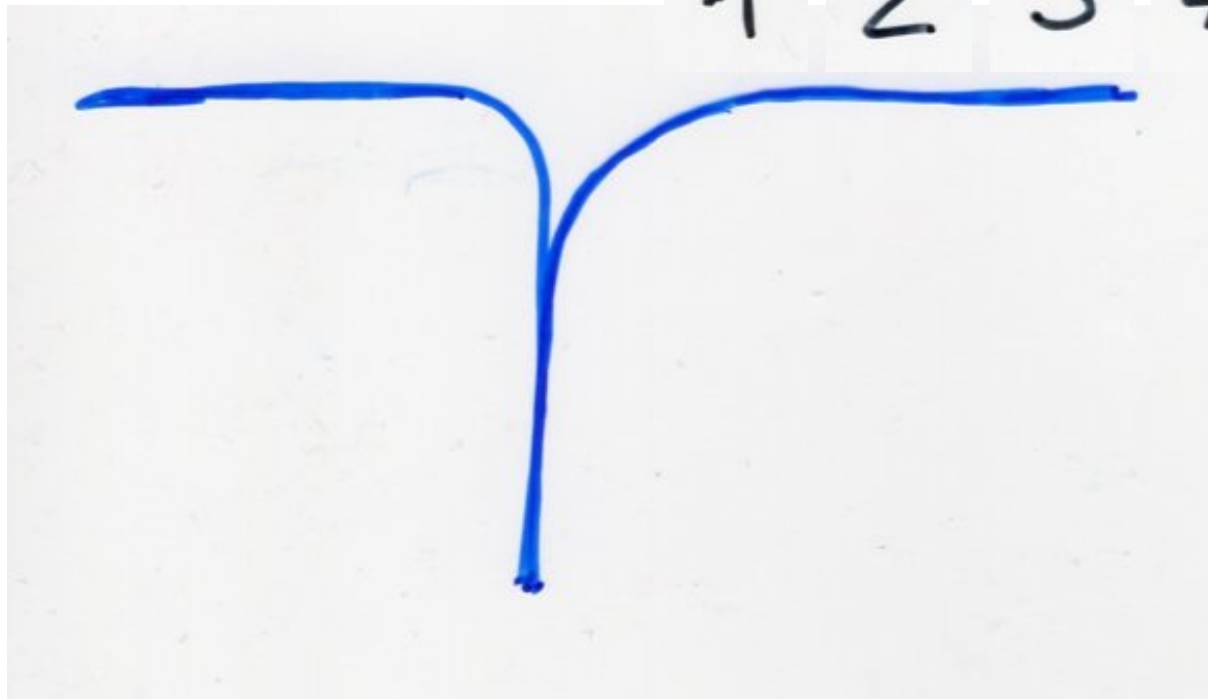
Catalan permutations

Definition

Catalan
permutations

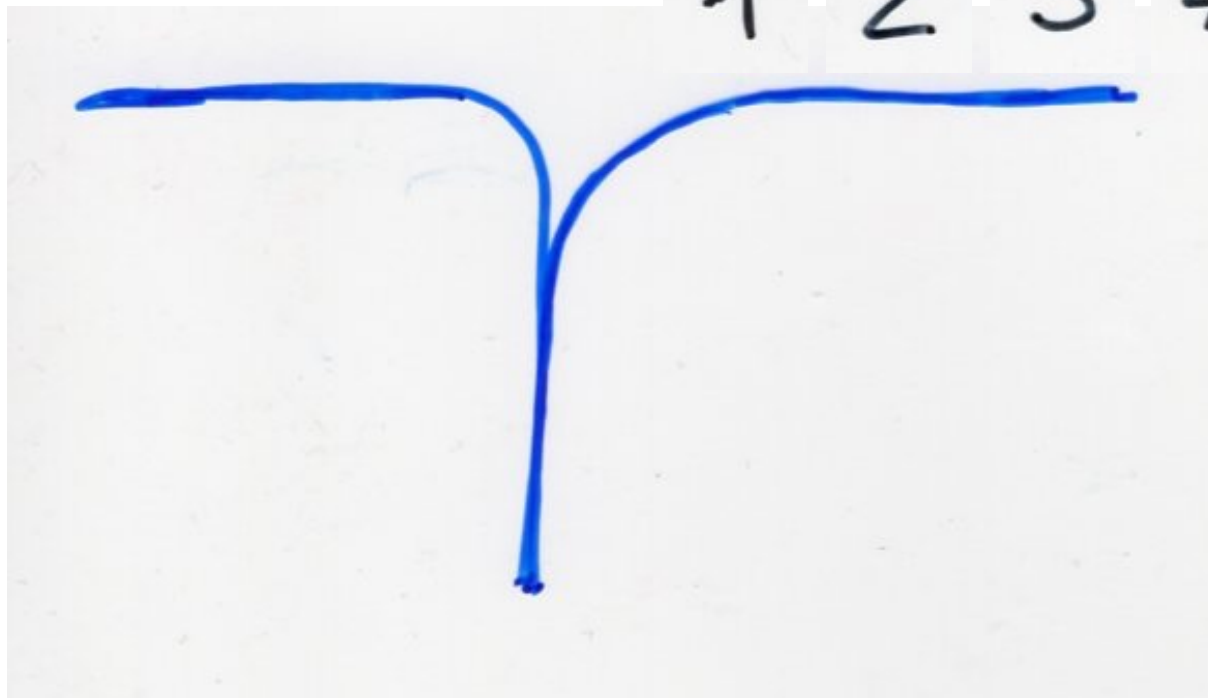
Permutations sortable
with one stack

1 2 3 4 5 6

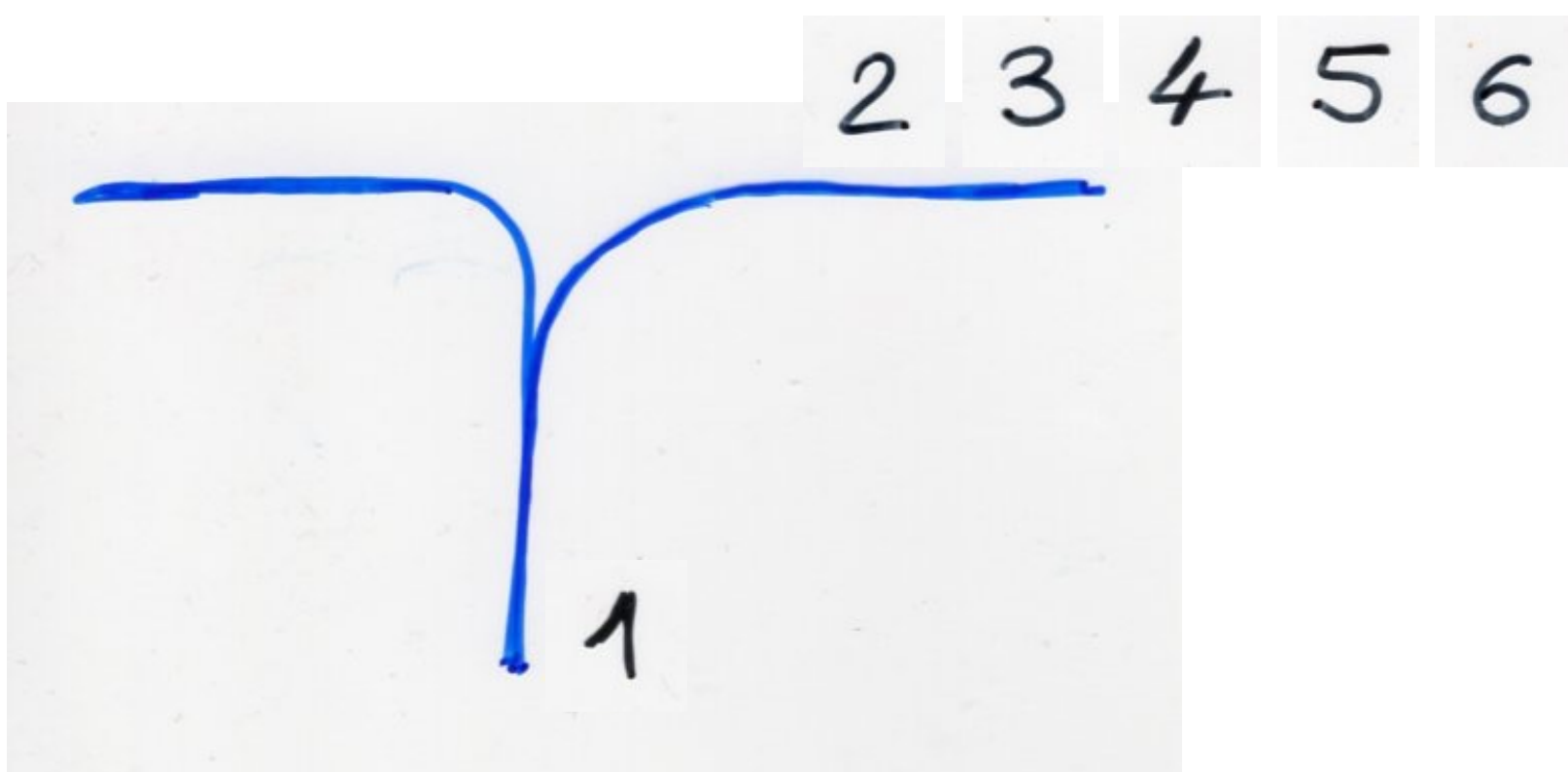


Permutations sortable
with one stack

1 2 3 4 5 6

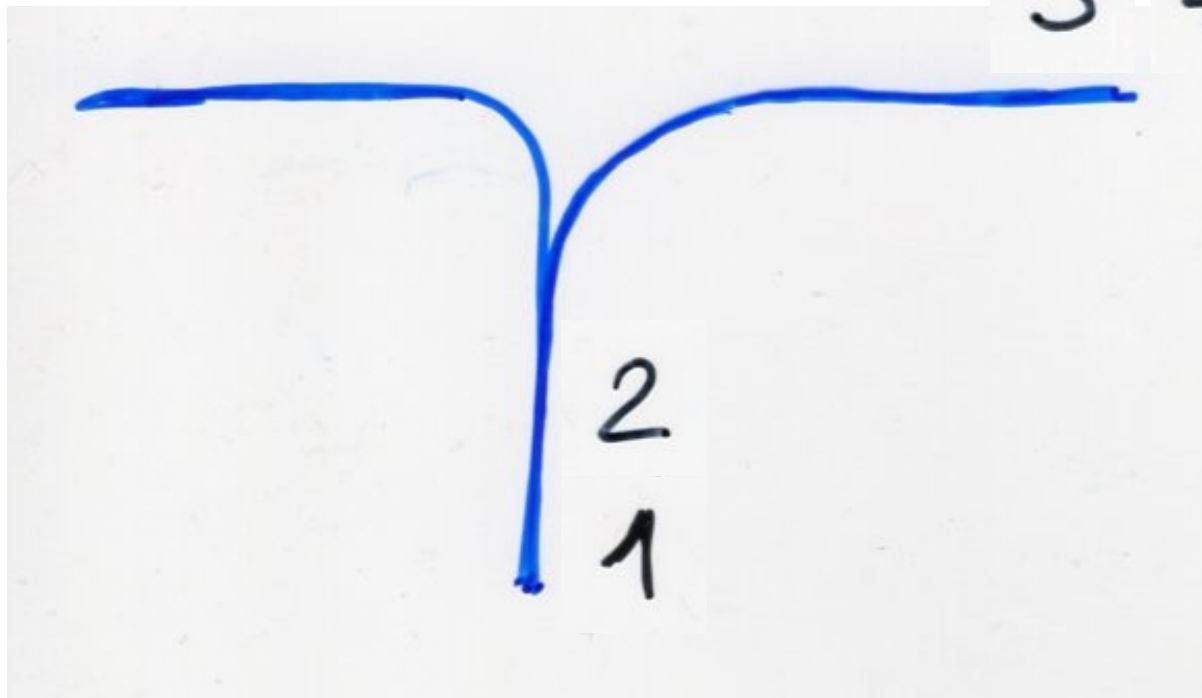


Permutations sortable
with one stack

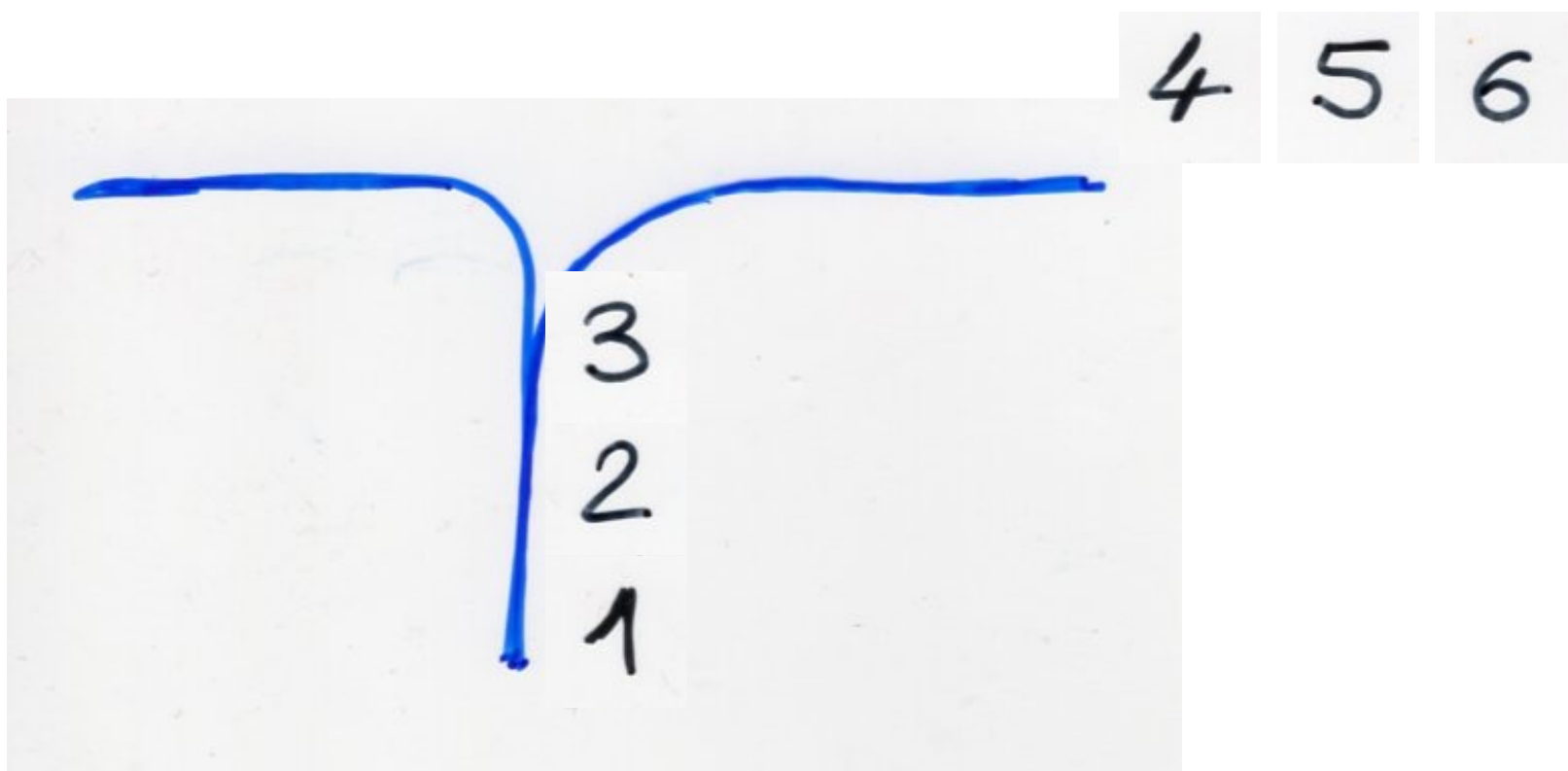


Permutations sortable
with one stack

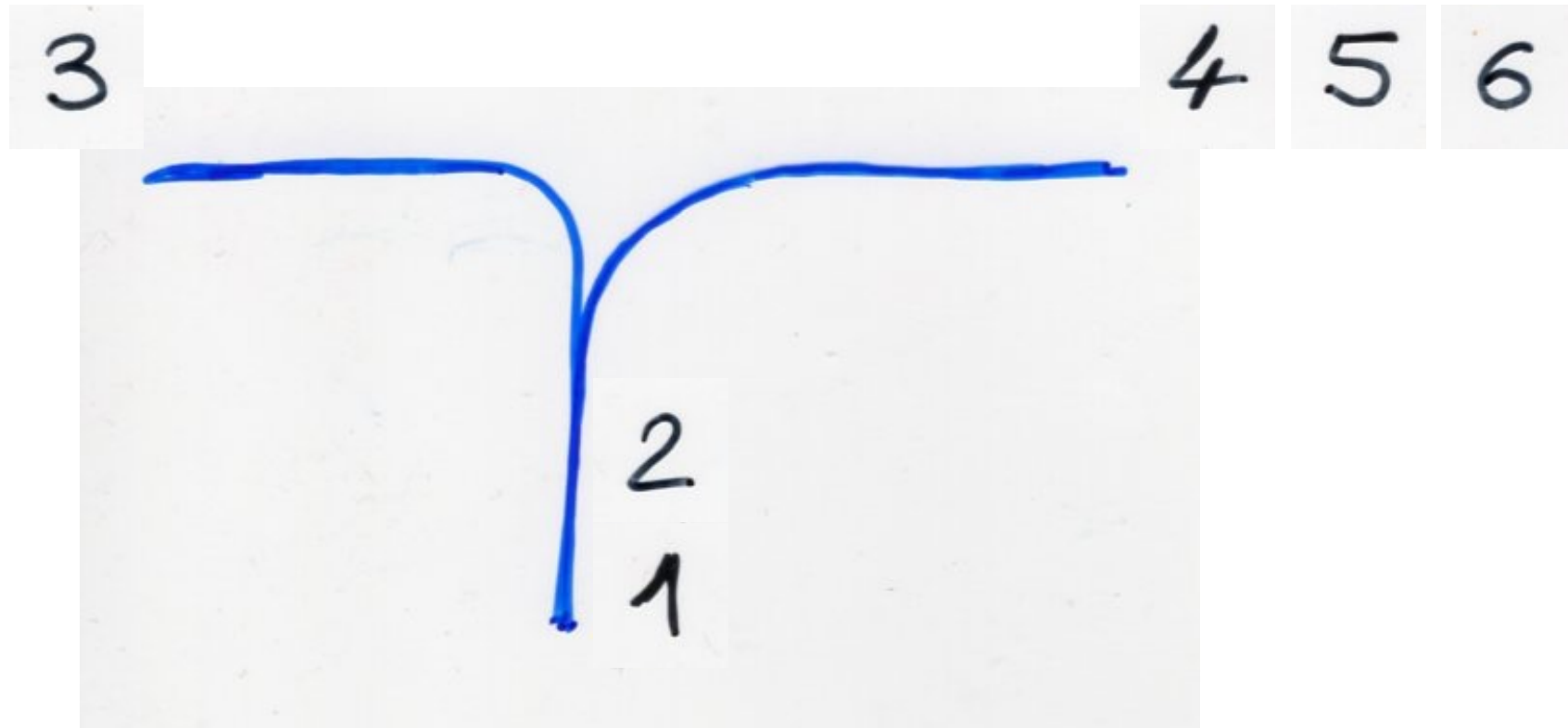
3 4 5 6



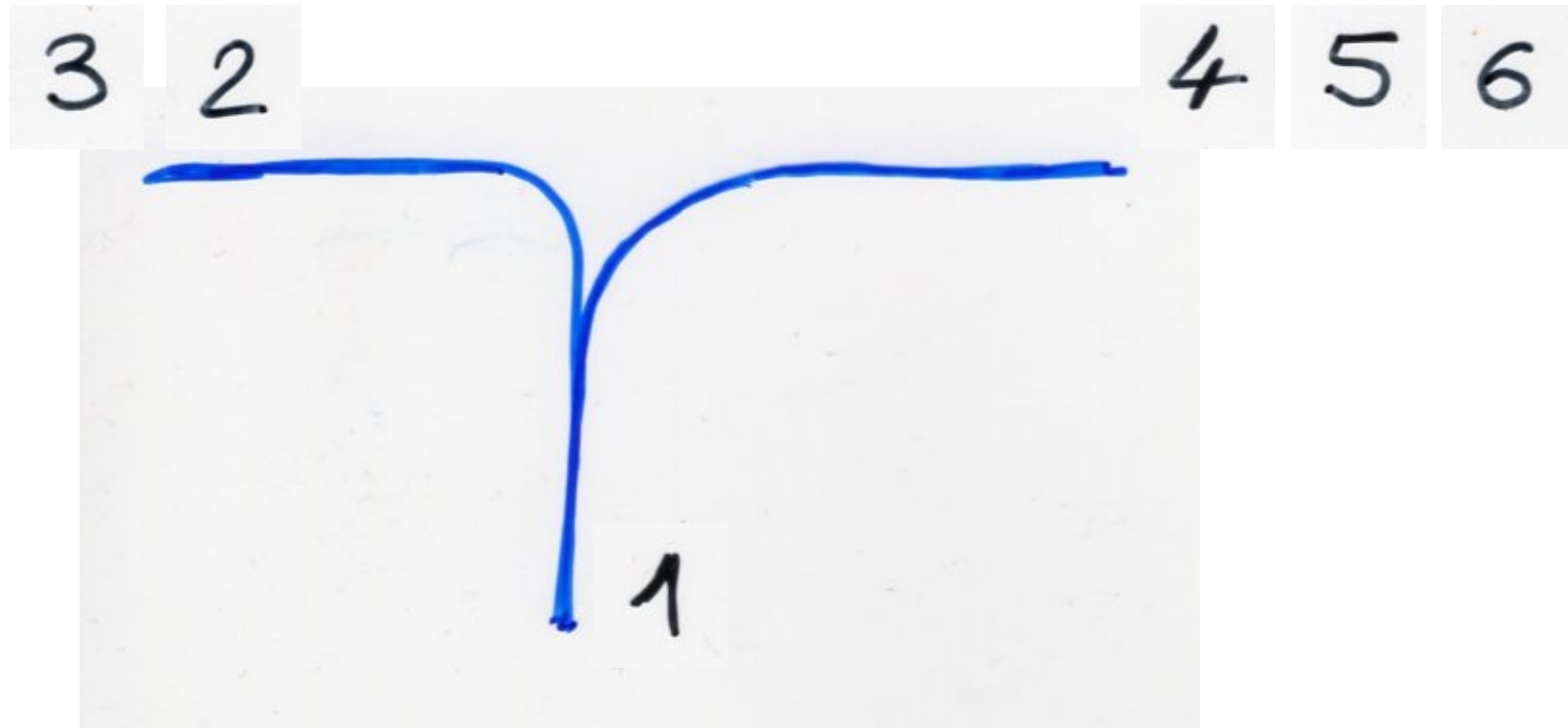
Permutations sortable
with one stack



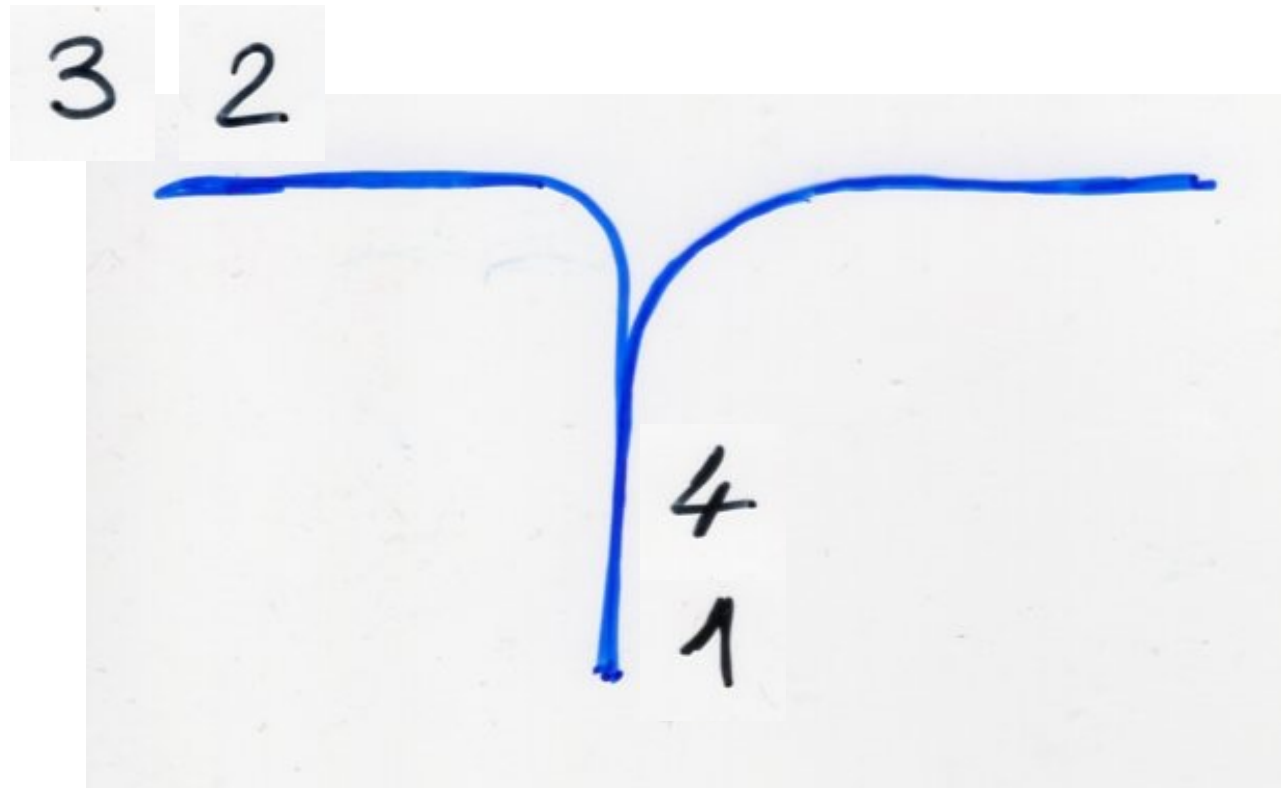
Permutations sortable
with one stack



Permutations sortable
with one stack

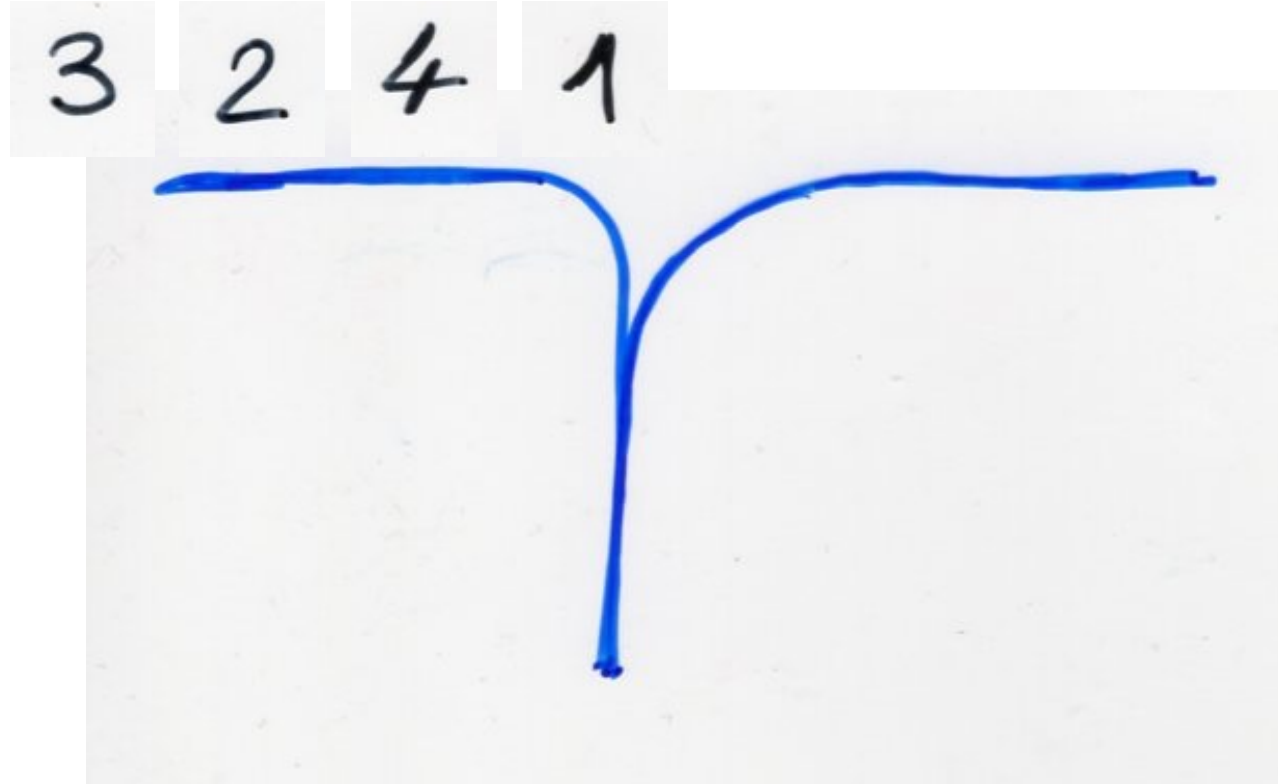


Permutations sortable
with one stack



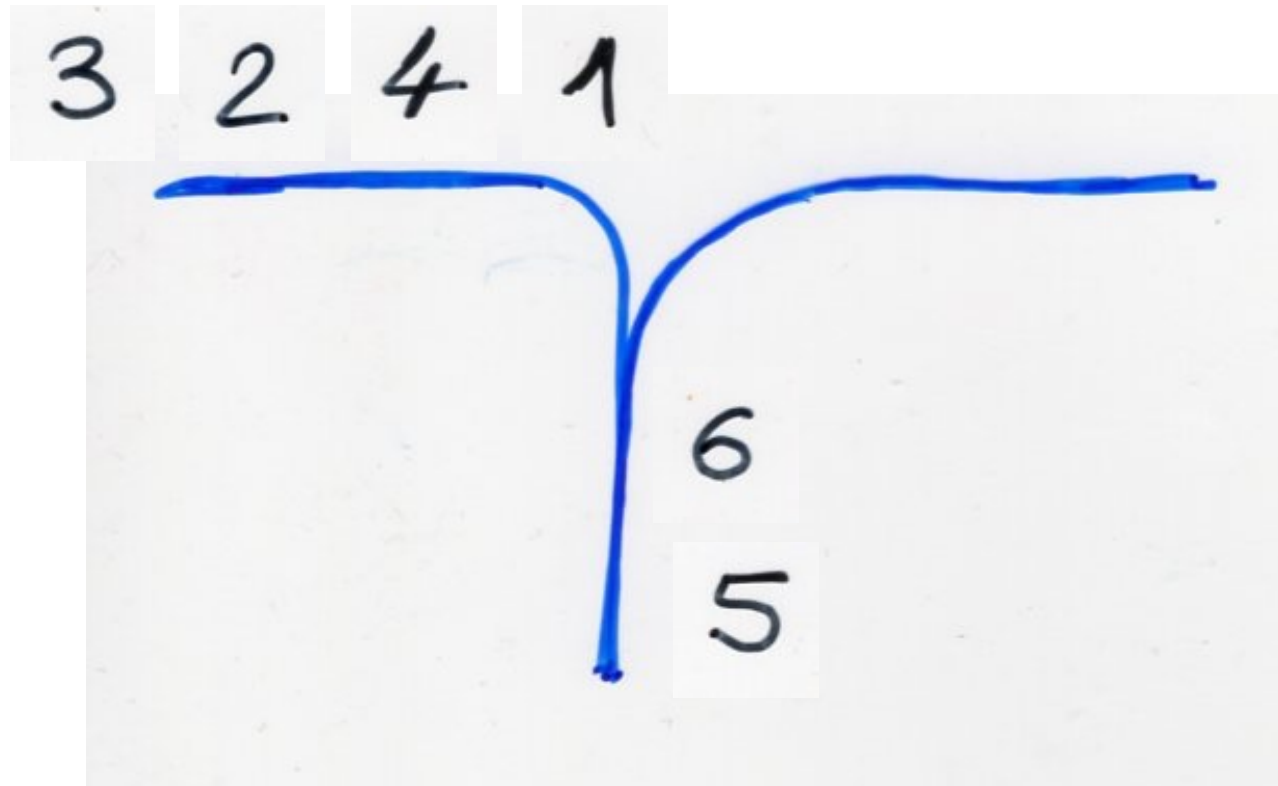
5 6

Permutations sortable
with one stack

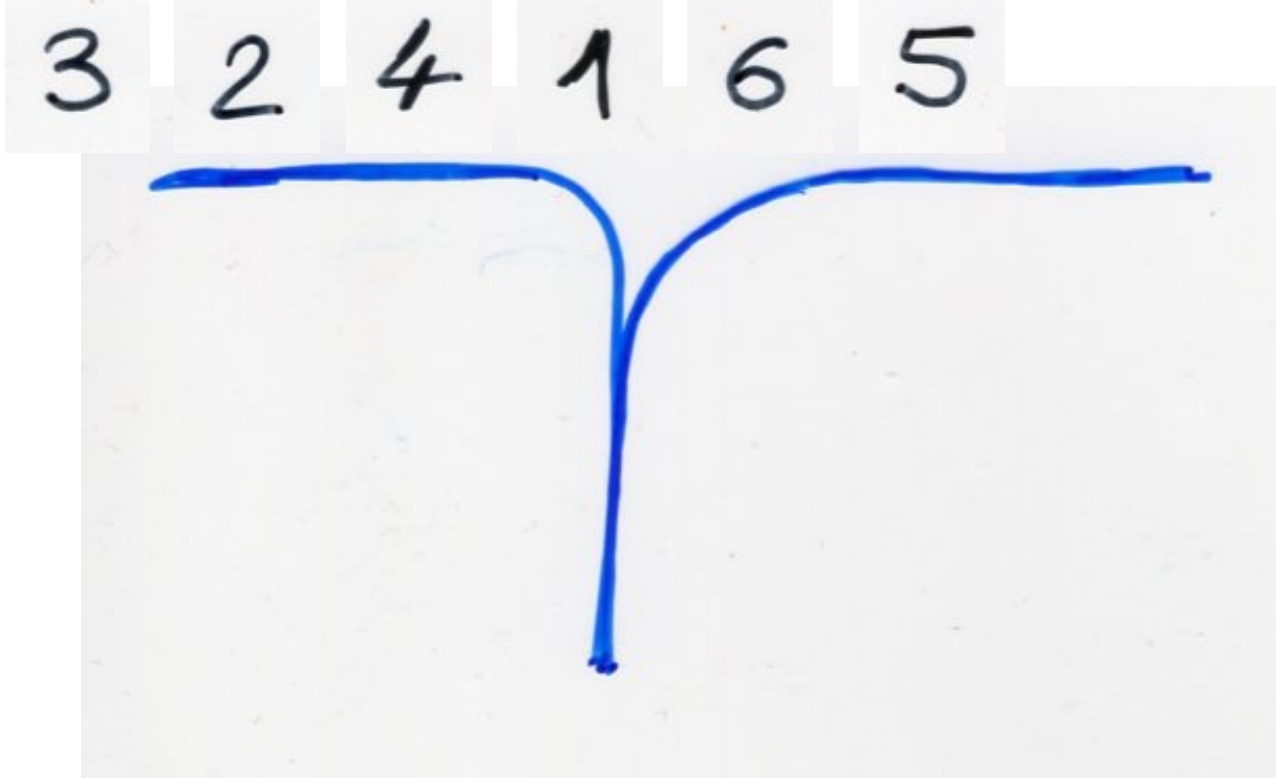
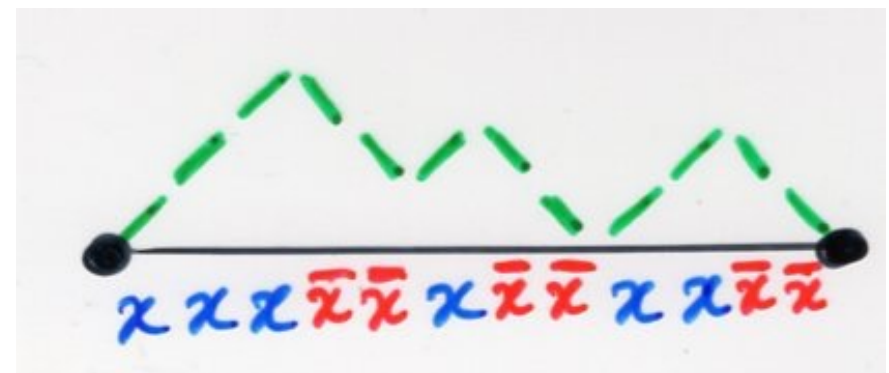


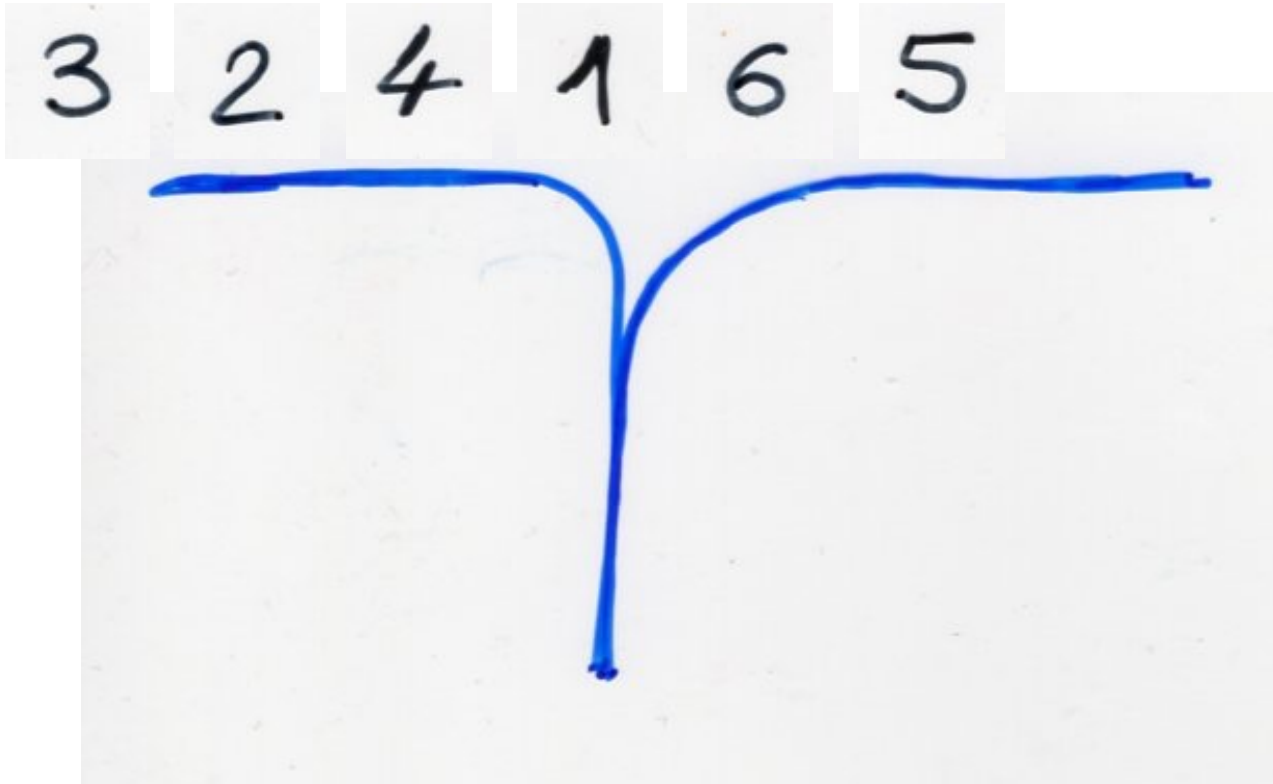
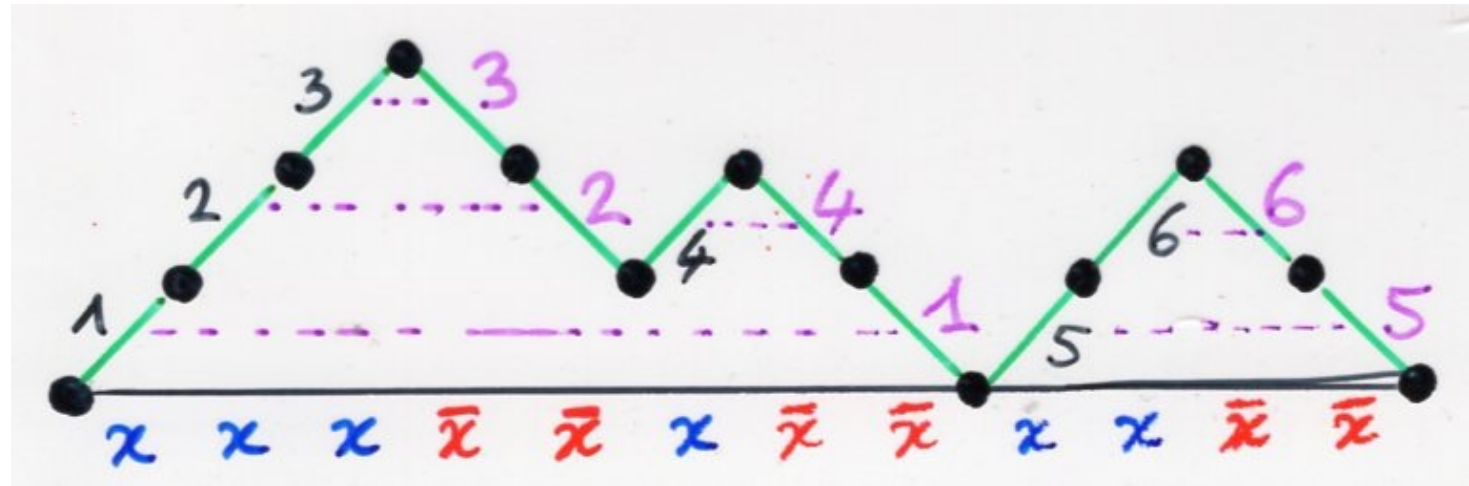
5 6

Permutations sortable
with one stack



Permutations sortable
with one stack

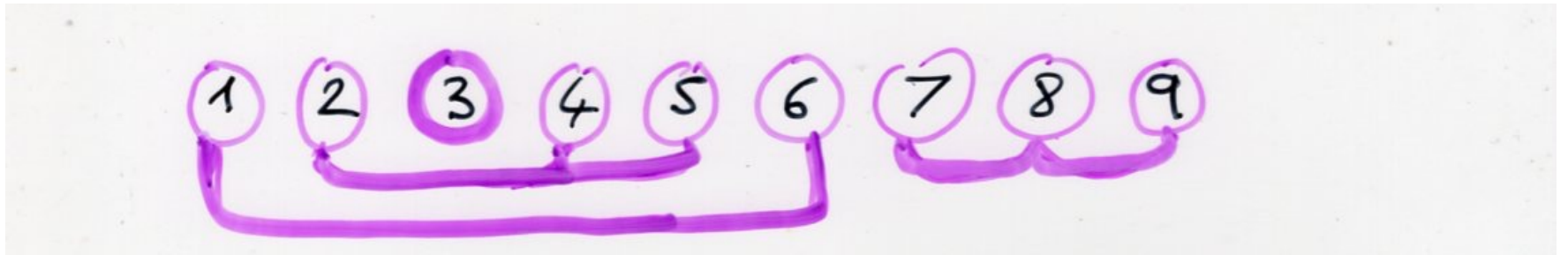
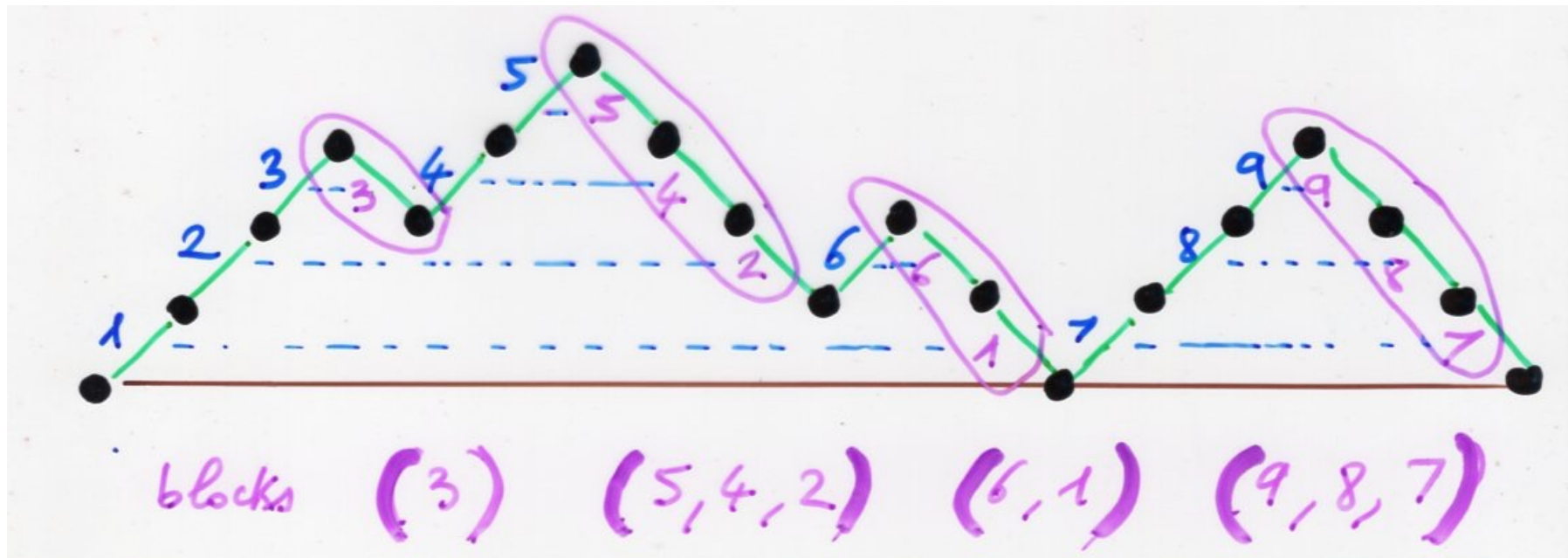




relation

Catalan permutations

non-crossing
partition
of $\{1, 2, \dots, n\}$



forbidden
pattern

$$\sigma = \sigma_1 \dots \sigma_n \in \mathfrak{S}_n$$

$$\tau = \sigma_{i_1} \dots \sigma_{i_k}$$

subsequence

$$st(\tau) \in \mathfrak{S}_k$$

(standardization)

example:

$$\sigma = 5 \underline{3} 4 \quad \underline{1} \quad \underline{6} \underline{8} 2 \quad \underline{7}$$

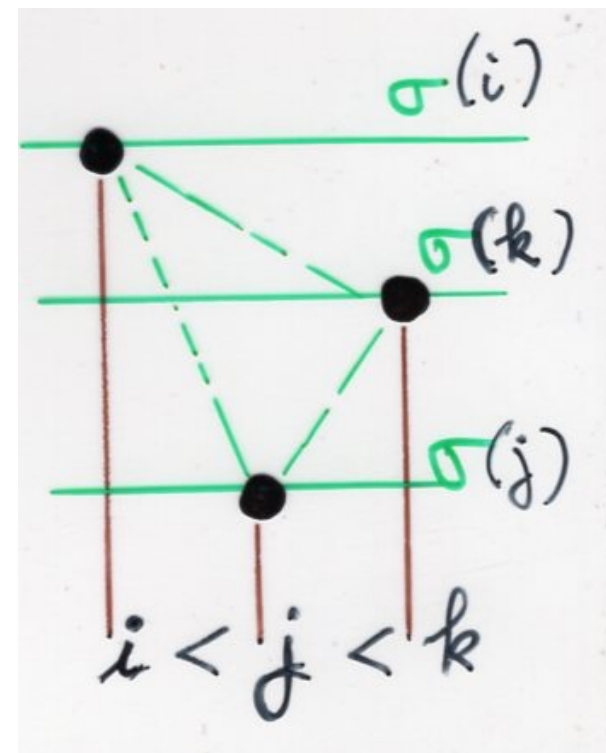
$$\tau = \underline{3} \quad \underline{1} \quad \underline{8} \quad \underline{7}$$

$$st(\tau) = \quad 2 \quad 1 \quad 4 \quad 3$$

forbidden
pattern

Permutations sortable
with one stack

\Leftrightarrow (312)-avoiding



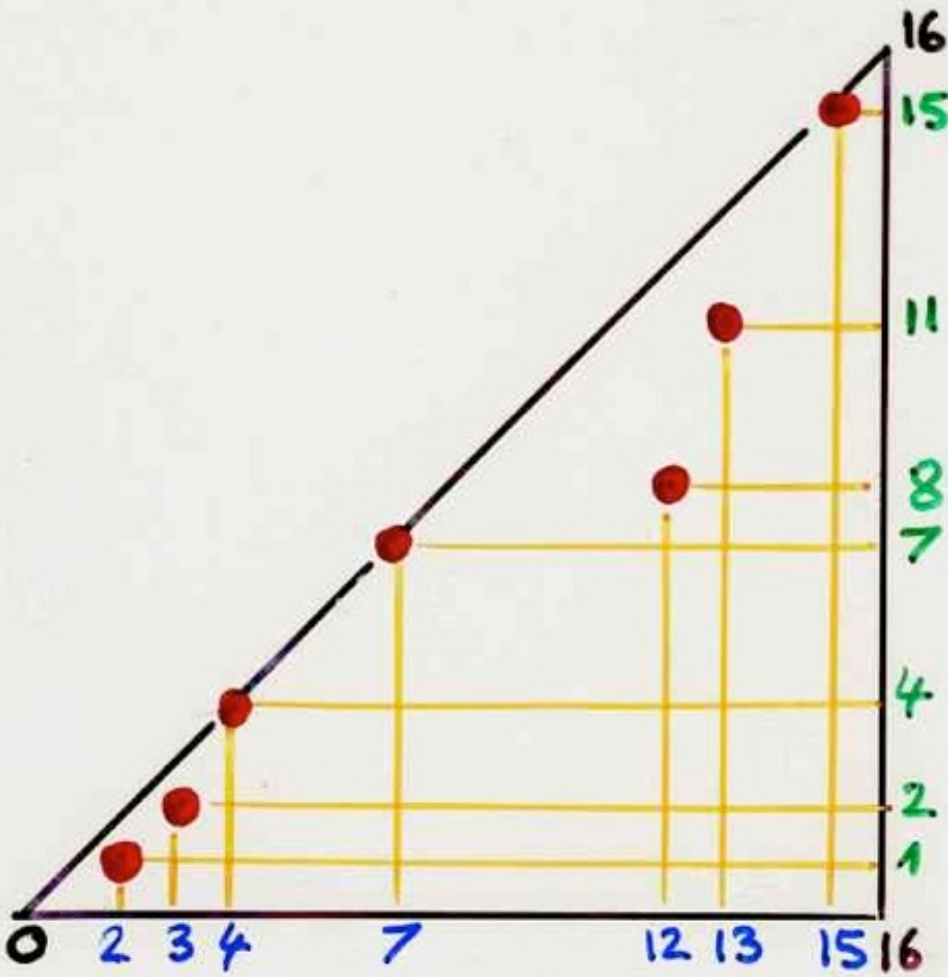
(321) - avoiding
permutations

C_n Catalan
numbers

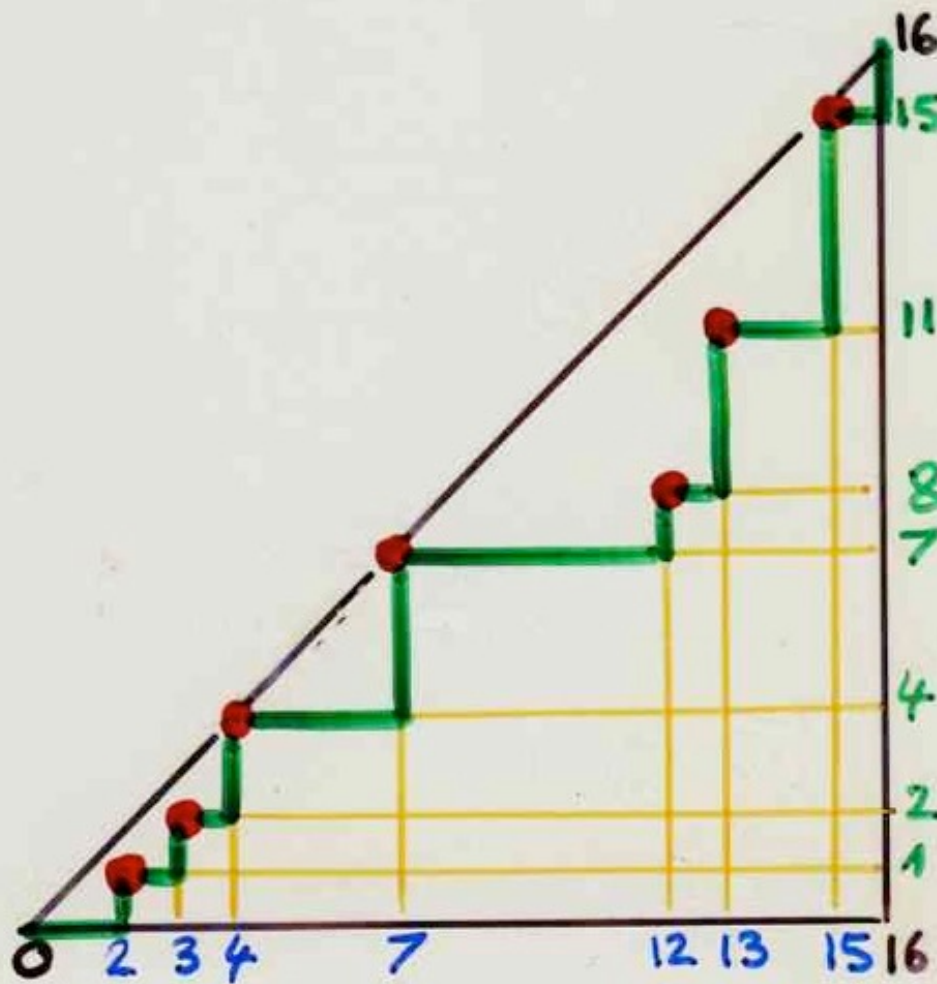
→ complements

basis of the
Temperley-Lieb
algebra
with n generators

pair of sequences



$$1 \leq \frac{2}{1} < \frac{3}{2} < \frac{4}{3} < \frac{7}{4} < \frac{12}{7} < \frac{13}{8} < \frac{15}{11} < \frac{15}{15} \leq n$$



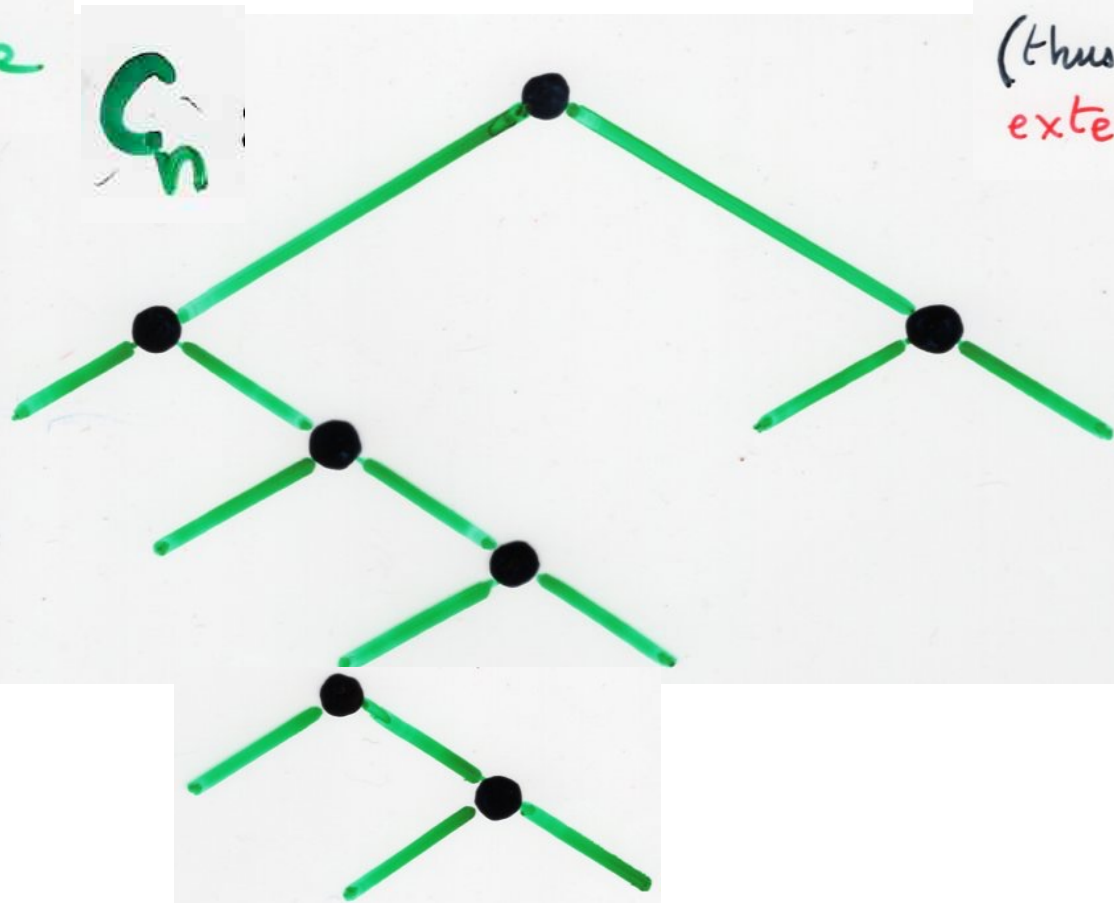
$$1 \leq \frac{2}{1} < \frac{3}{2} < \frac{4}{3} < \frac{7}{4} < \frac{12}{7} < \frac{13}{8} < \frac{15}{11} < \frac{15}{15} \leq n$$

bijection proof for

the multiplicative recurrence
of Catalan numbers

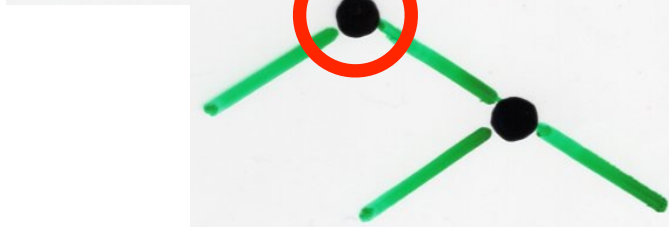
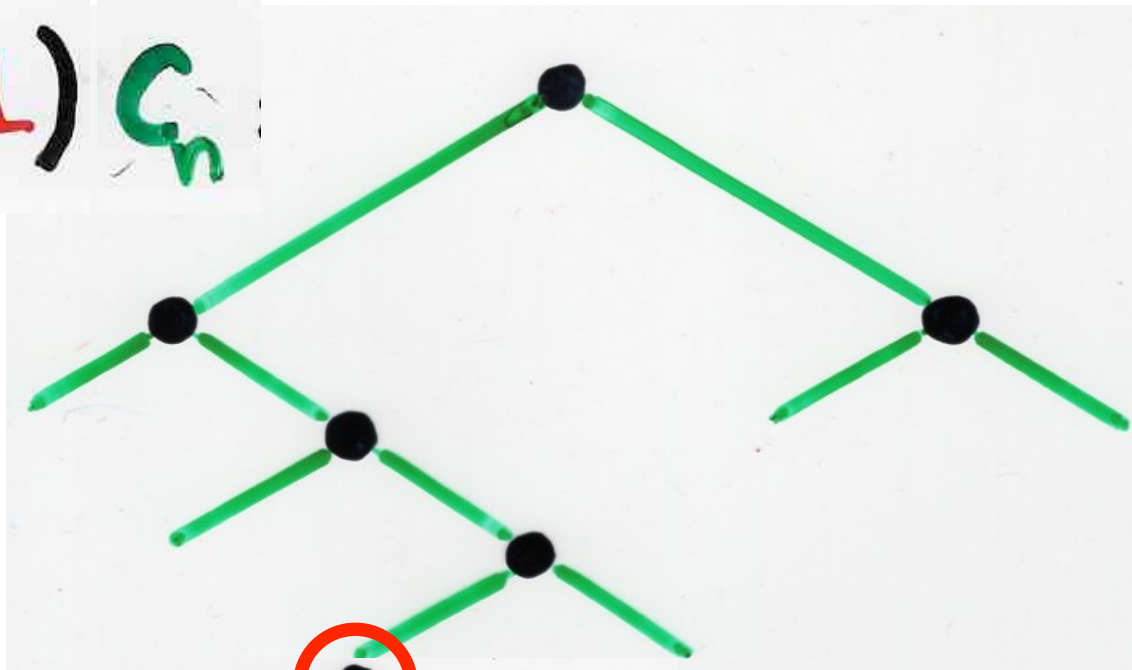
$$2(2n+1)C_n = (n+2)C_{n+1}$$

choice of a
complete
binary tree



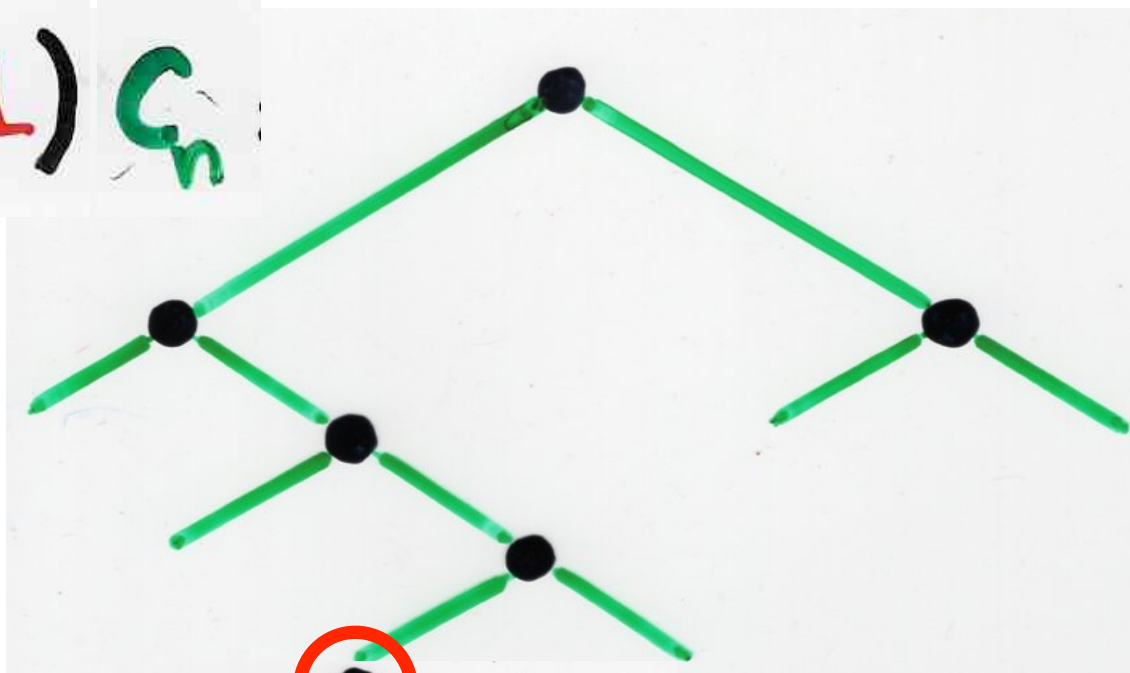
with n internal vertices
(thus $(n+1)$ external vertices)

$(2n+1) G_n$



choice of a
vertex
(internal
or
external)

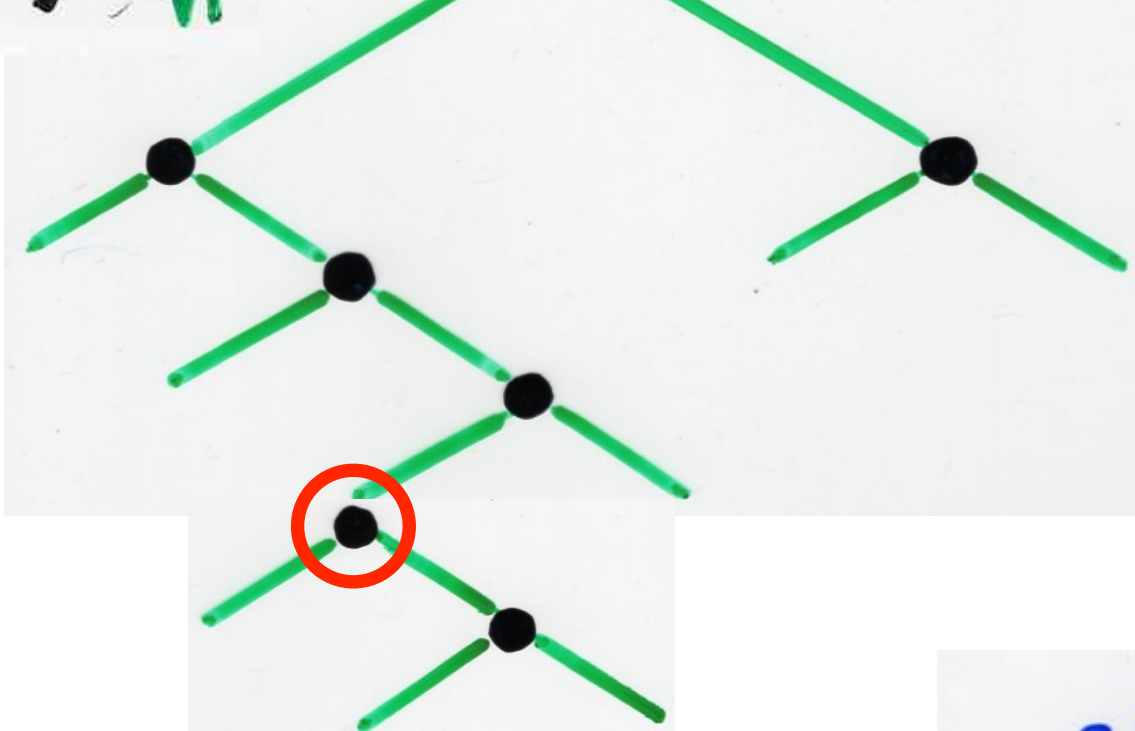
$(2n+1)$ G_n



sub-tree

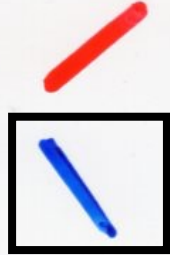
choice of a
vertex
(internal
or
external)

$2(2n+1)G_n$



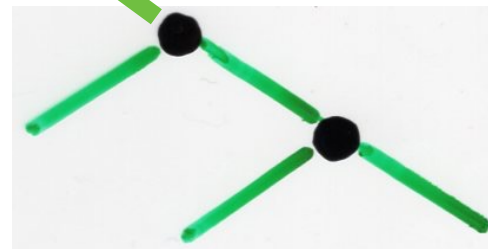
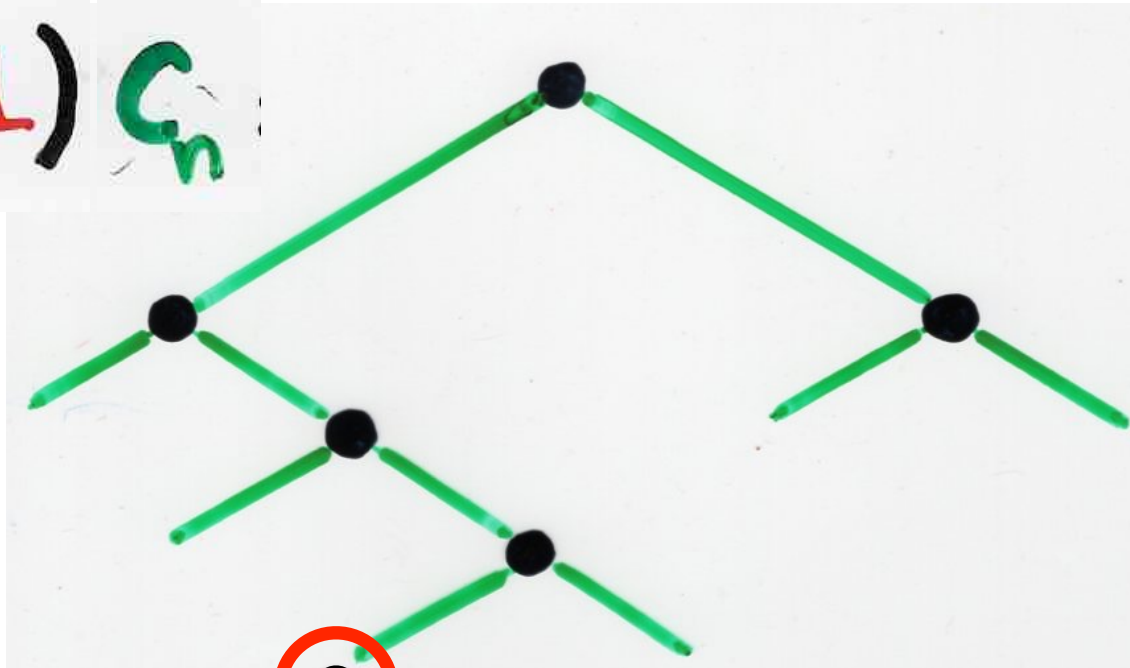
choice

left
right



gliding
to the right

$2(2n+1)G_n$

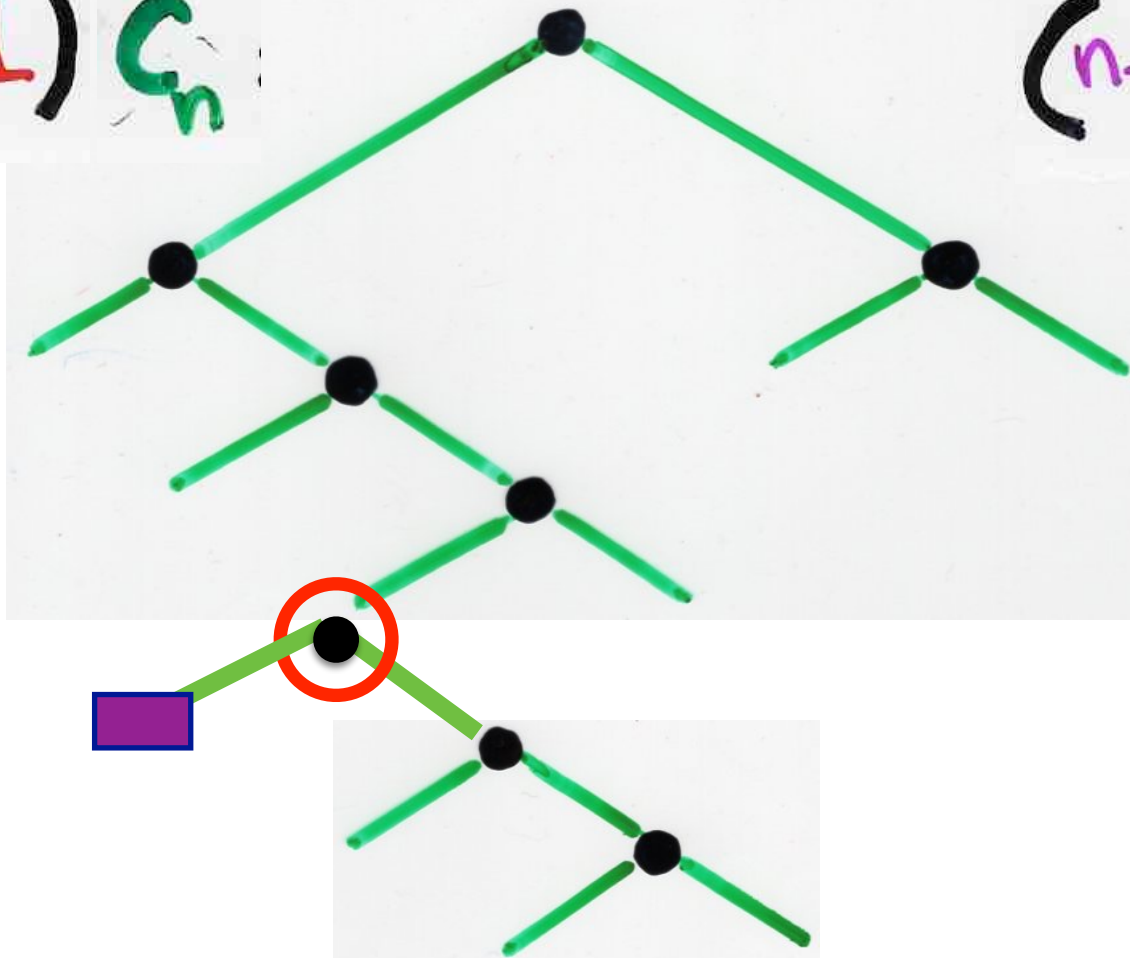


gliding
to the right

$2(2n+1)G_n$

$(n+2)$

G_{n+1}

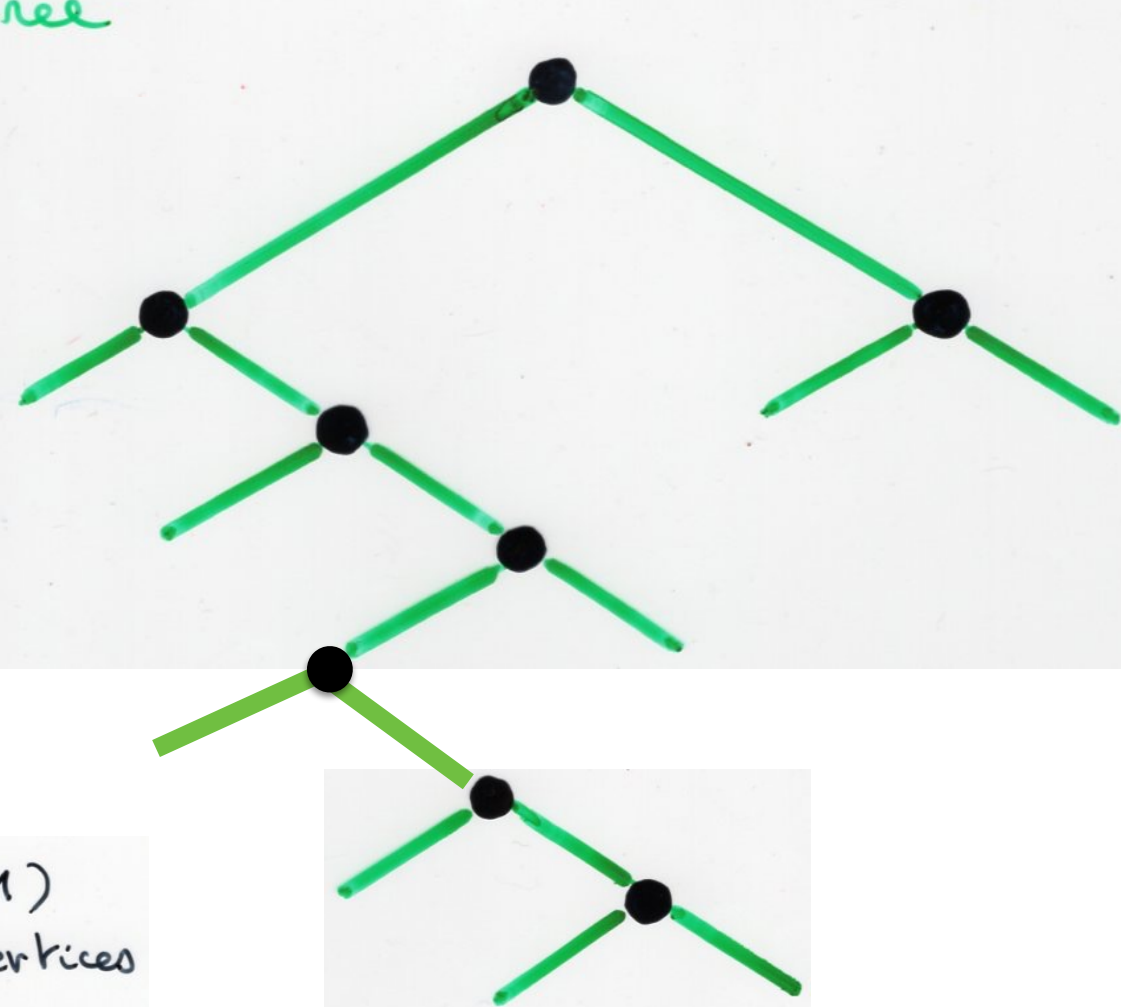


add a leaf
(= external vertex)

reciprocal
bijection

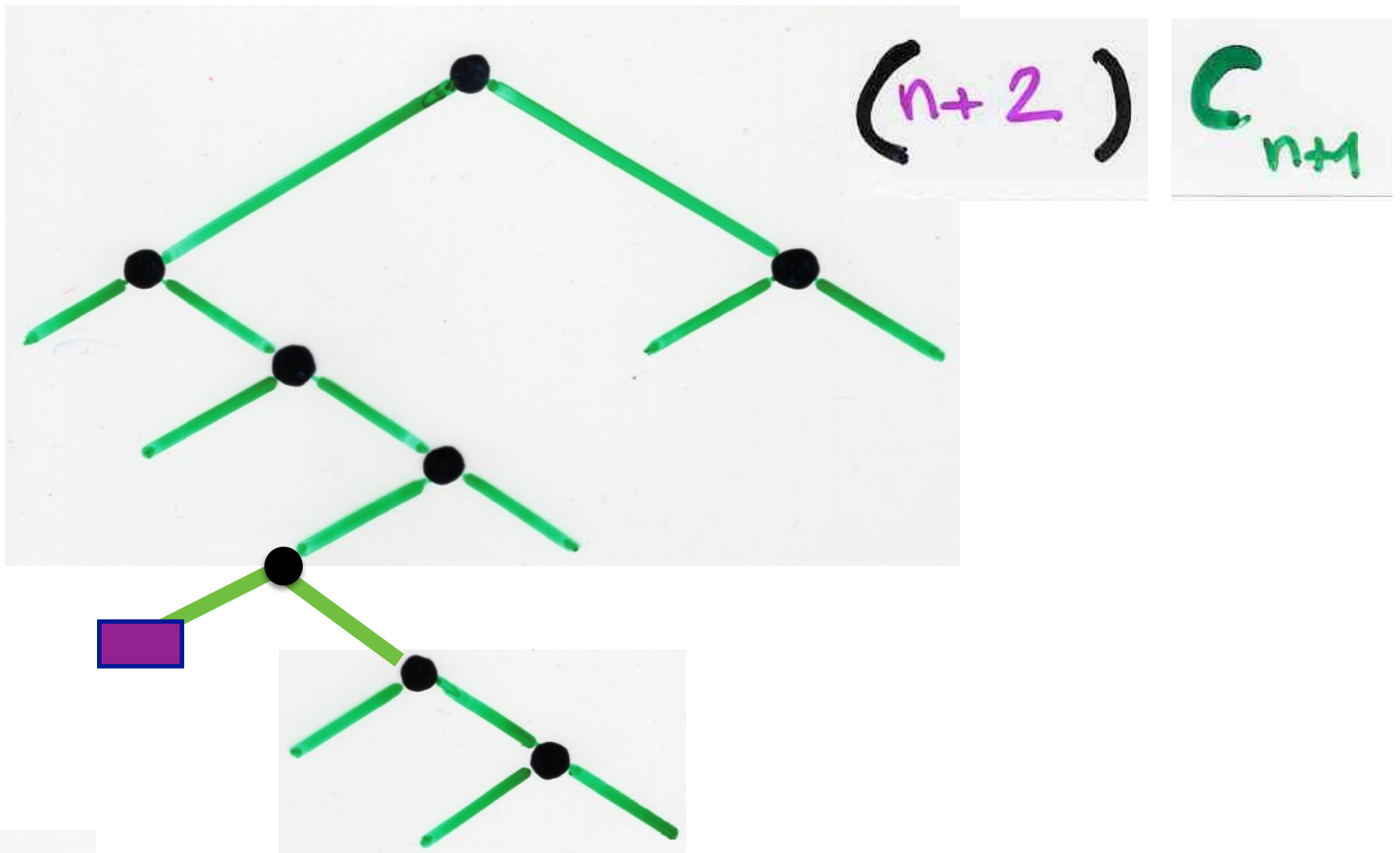
$$2(2n+1)C_n = (n+2)C_{n+1}$$

choice of a
binary tree

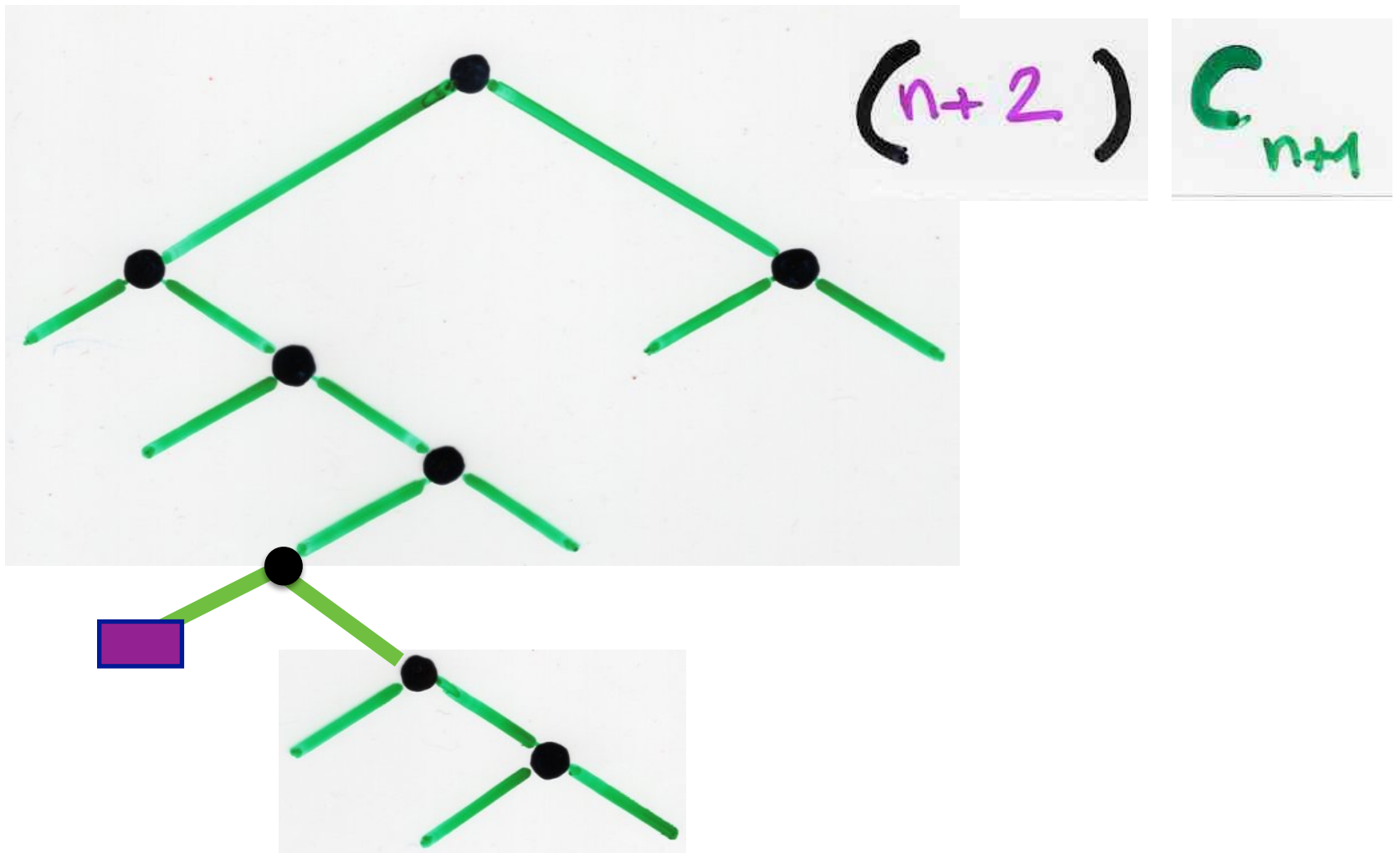


with $(n+1)$
internal vertices
(thus $(n+2)$
external vertices)

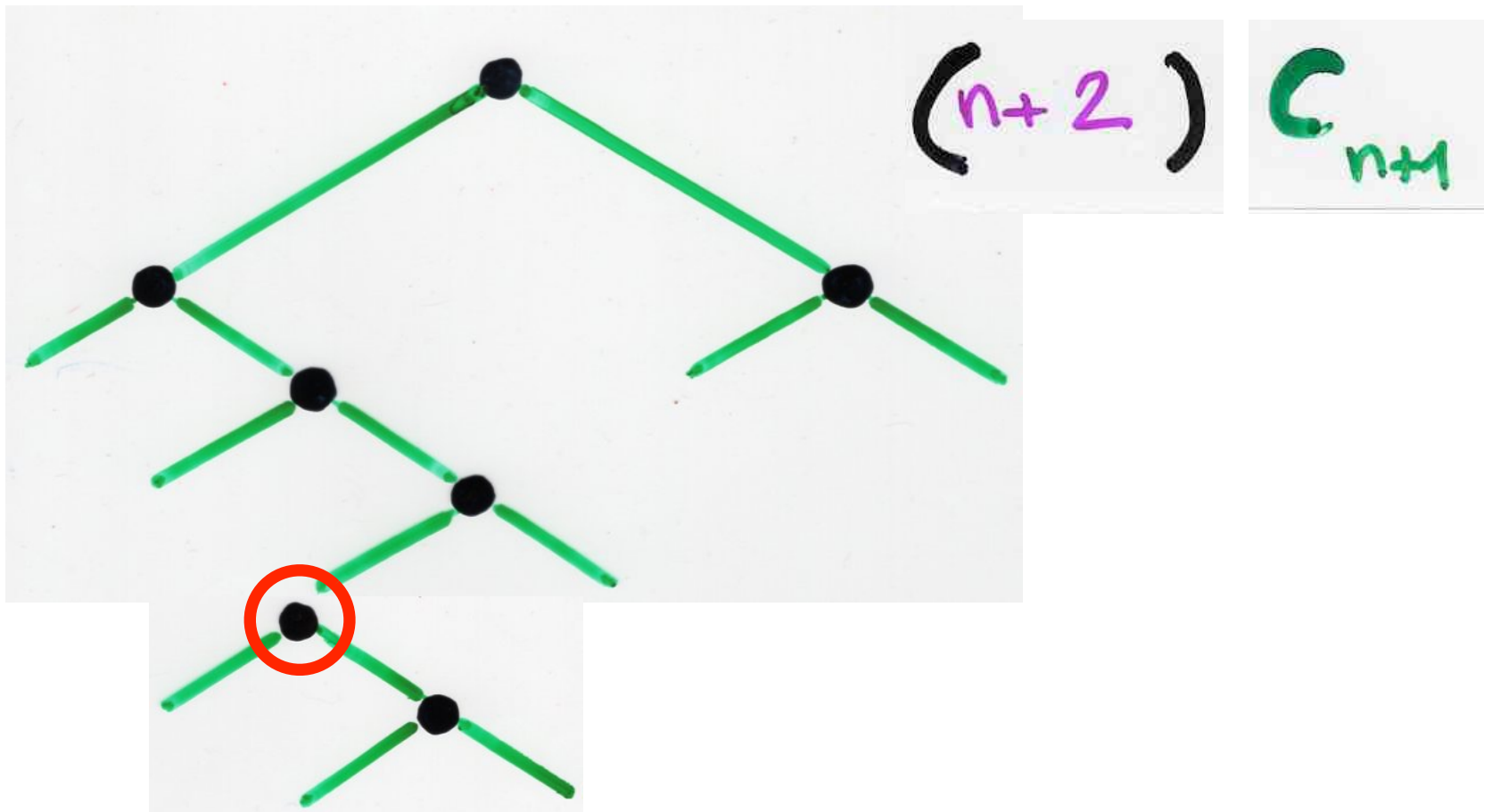
C_{n+1}



choice of a leaf
 (= external vertex)



contraction

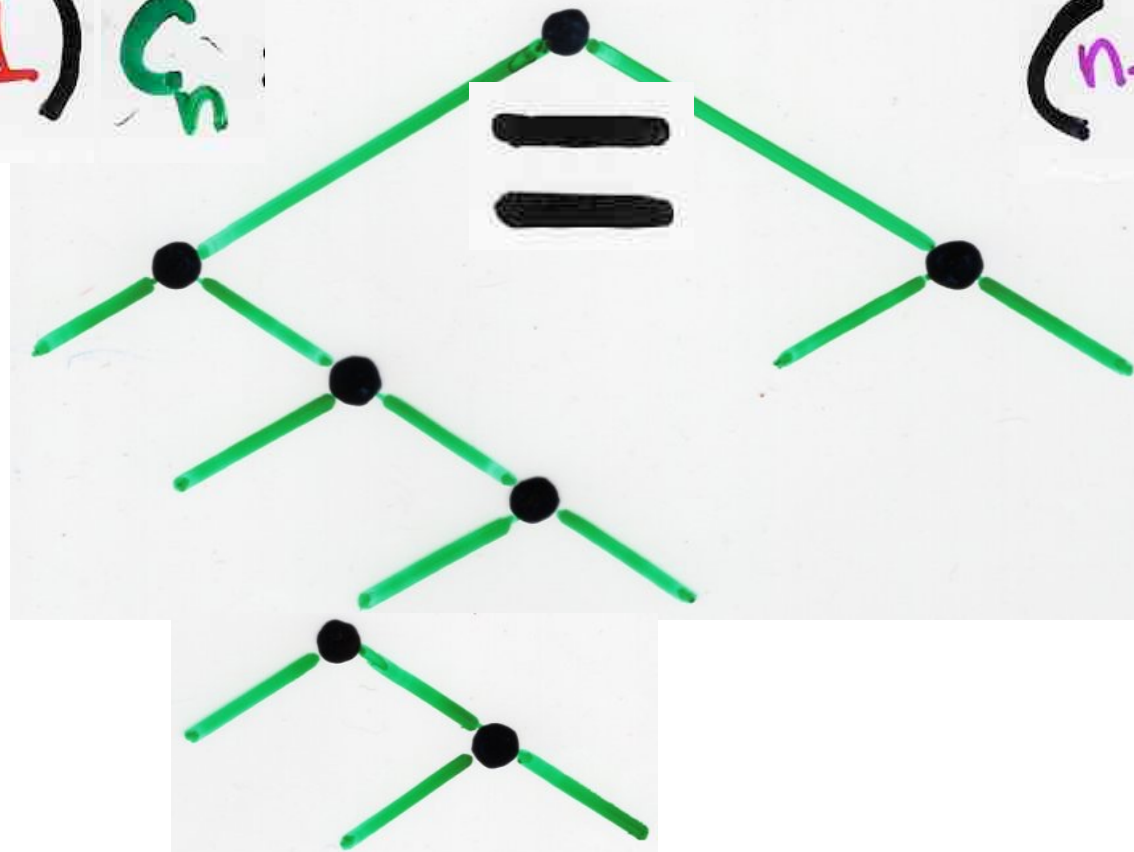


contraction

$2(2n+1)C_n$

$(n+2)$

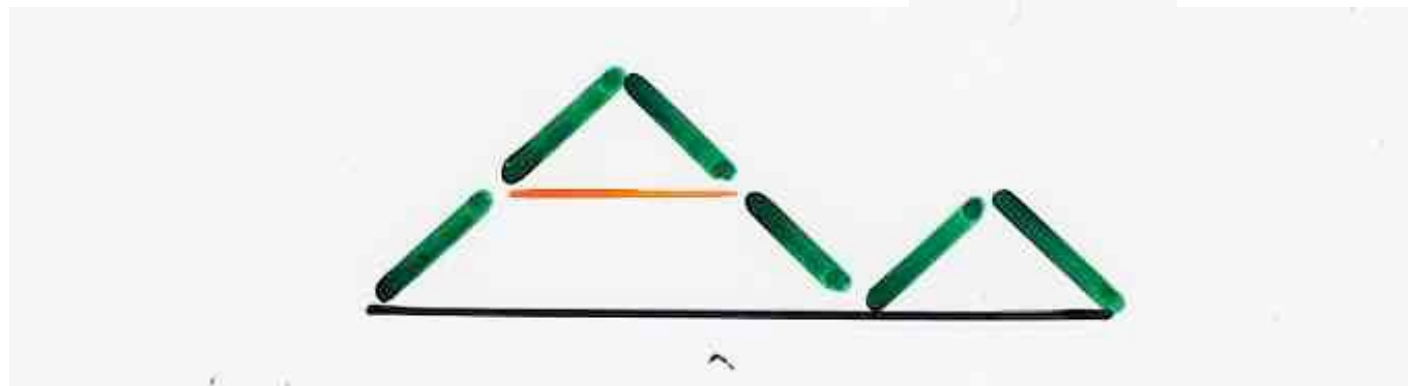
C_{n+1}



Touchard's identity

$$C_{n+1} = \sum_{0 \leq i \leq \lfloor \frac{n}{2} \rfloor} \binom{n}{2i} C_i 2^{n-2i}$$

C_i



choice of a Dyck path
length $2i$ ($= 6$)

$$\binom{n}{2i}$$



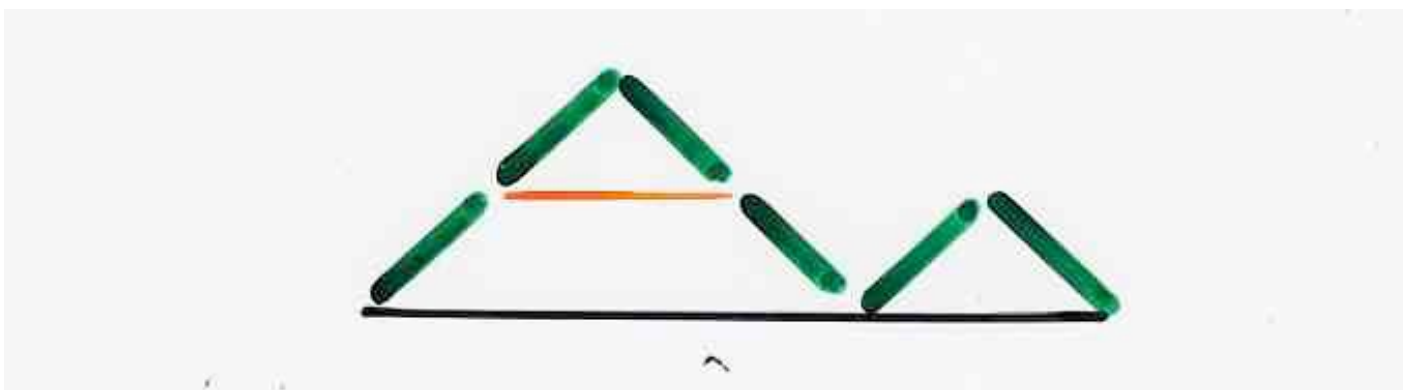
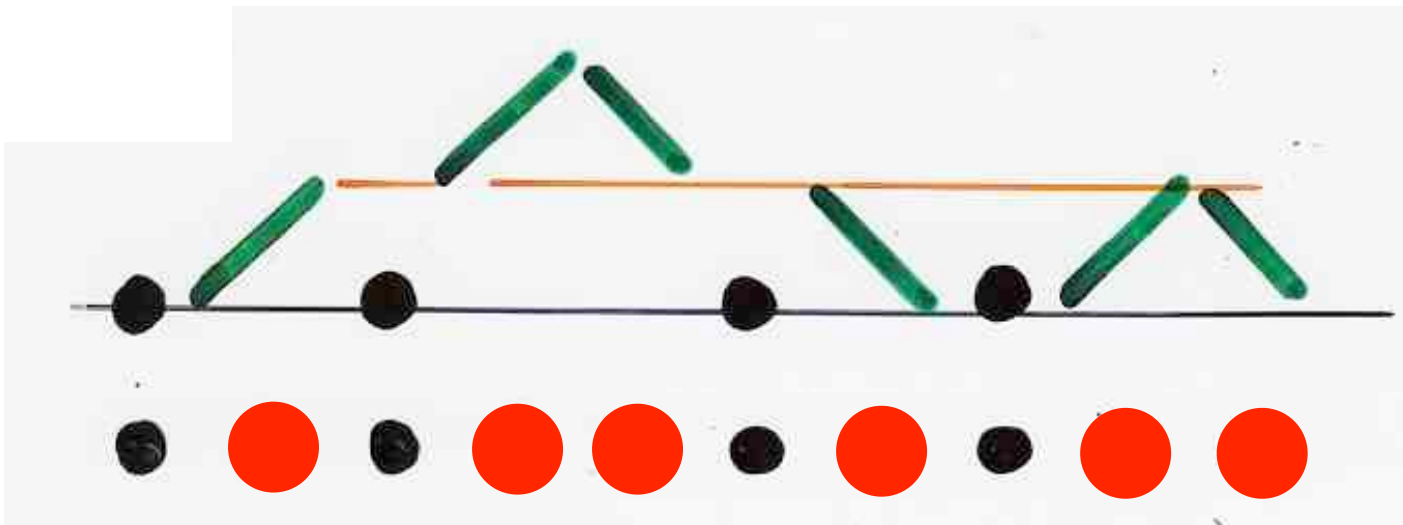
choice of a subset
with $2i$ elements
among n ($=10$) elements

$$\binom{n}{2i}$$

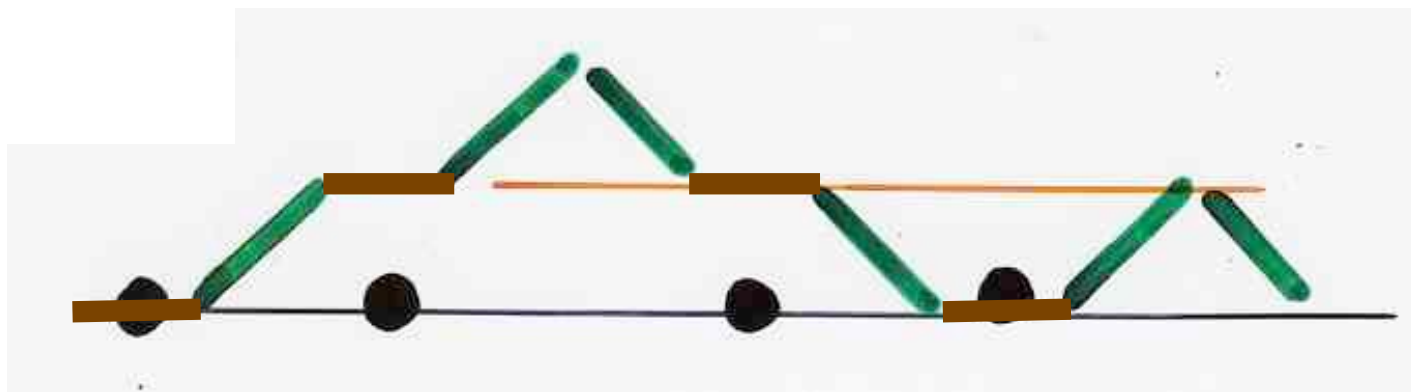


choice of a subset
with $2i$ elements
among n ($=10$) elements

$$\binom{n}{2i} C_i$$



placement of the Dyck path
on the subset

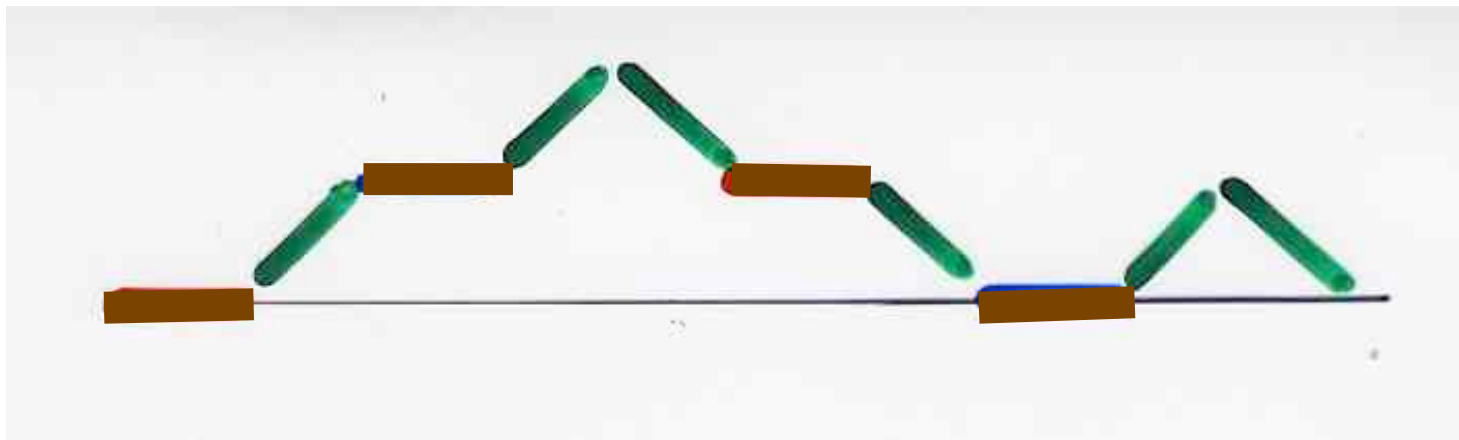


placement of the *East* steps

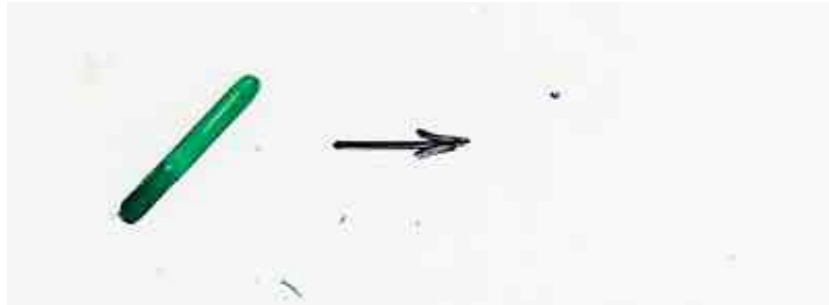


Two colors on the East steps

$$2^{n-2i}$$



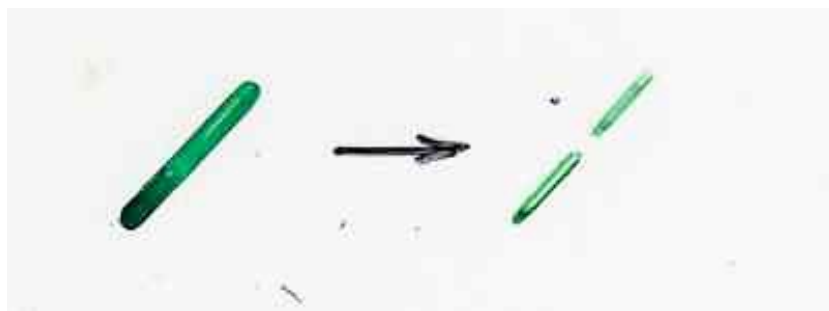
Two colors on the East steps



substitution



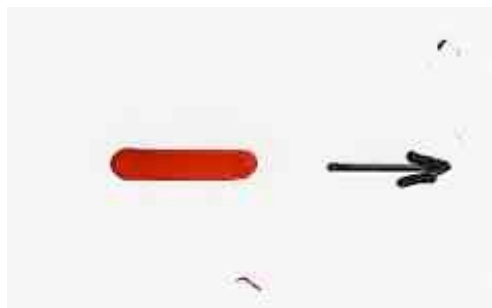
substitution



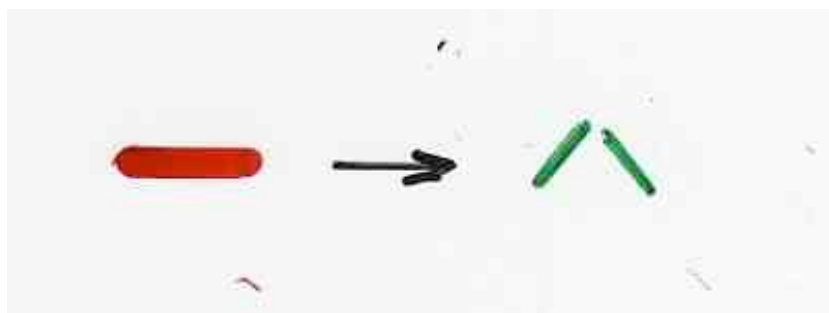
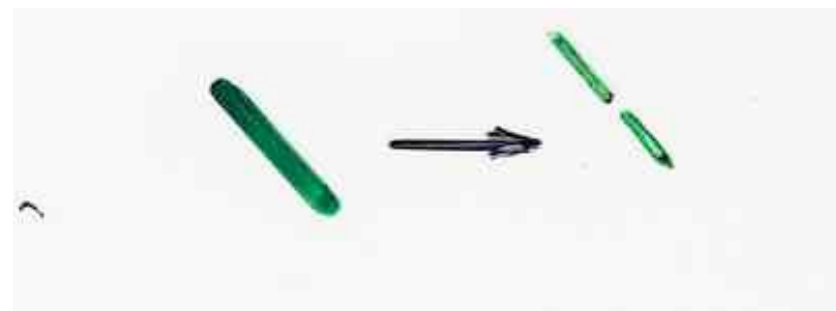
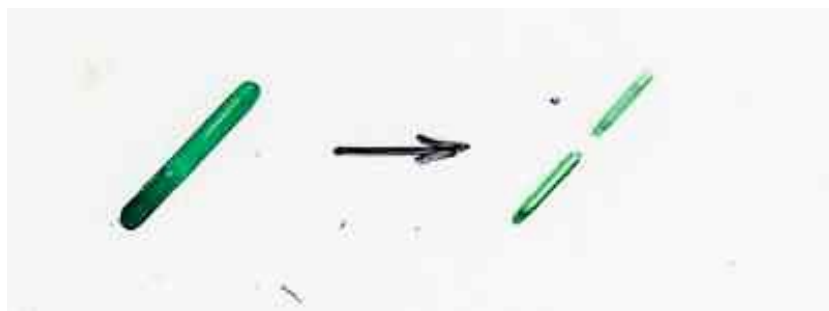
substitution



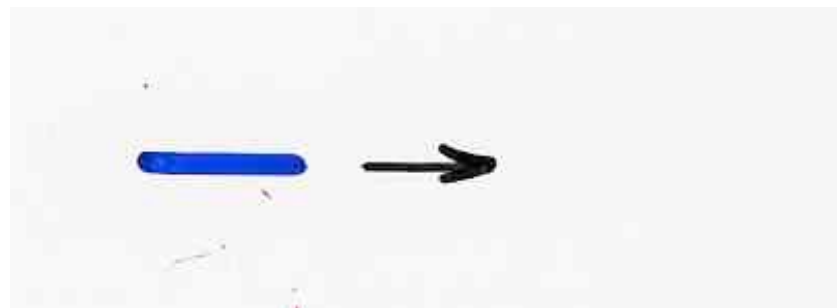
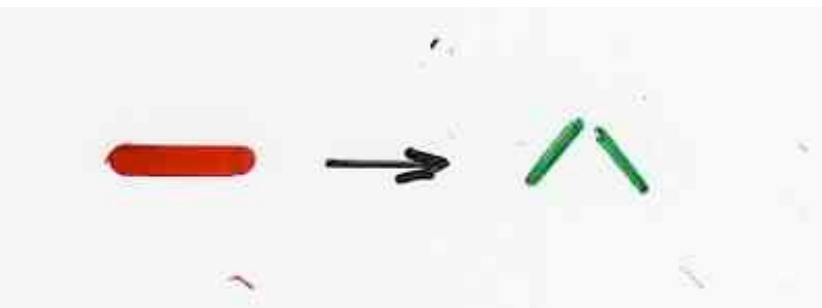
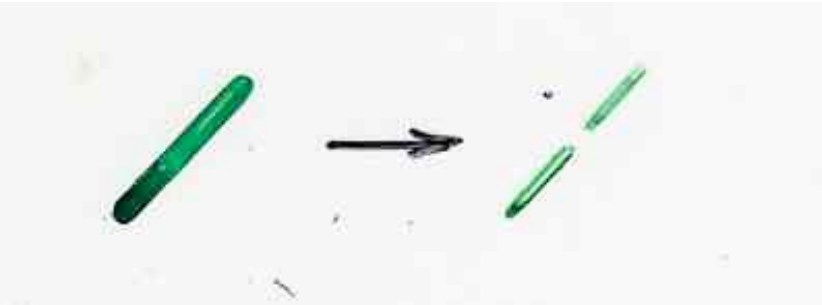
substitution



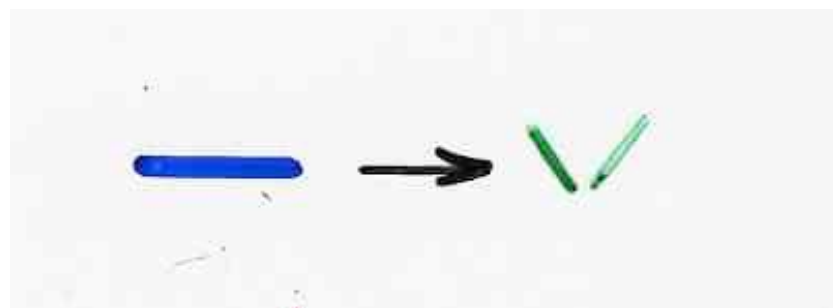
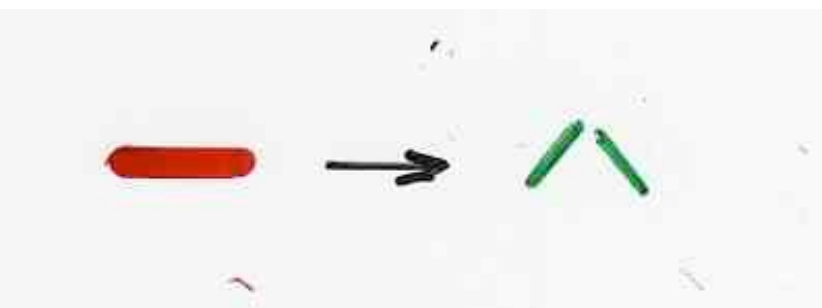
substitution



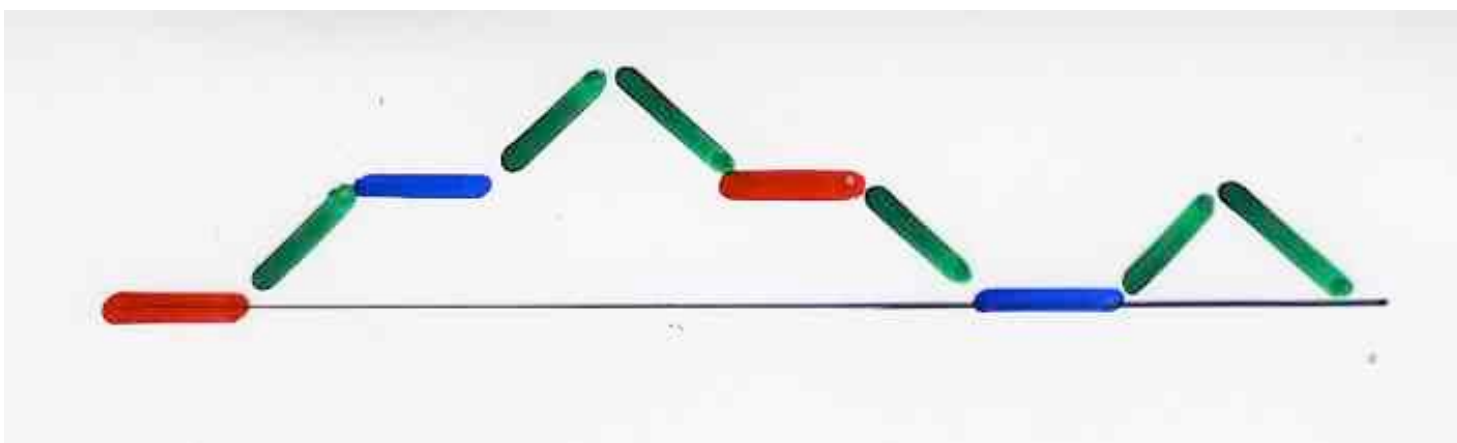
substitution



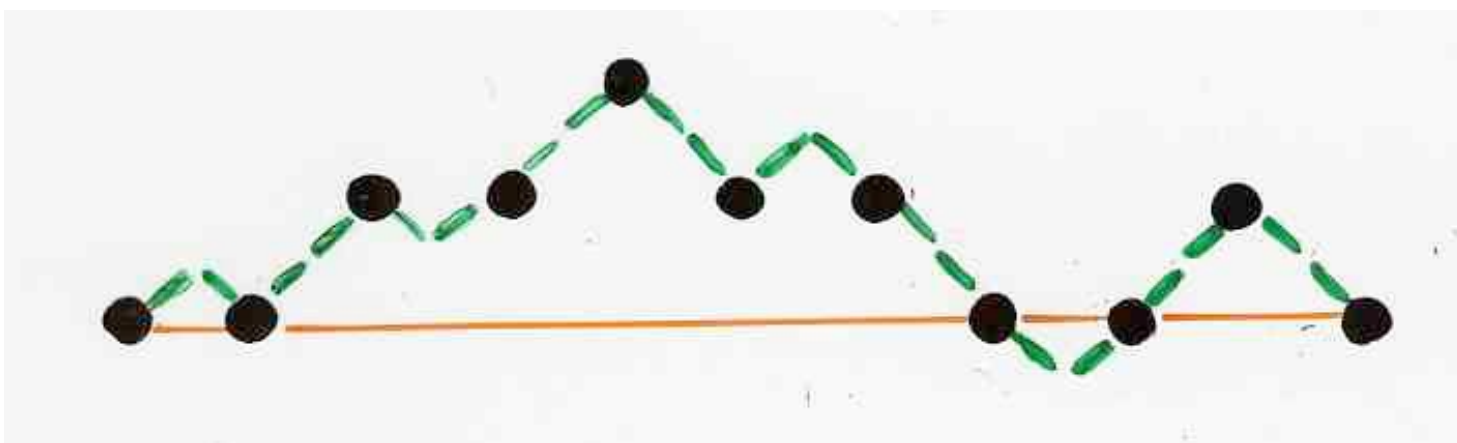
substitution

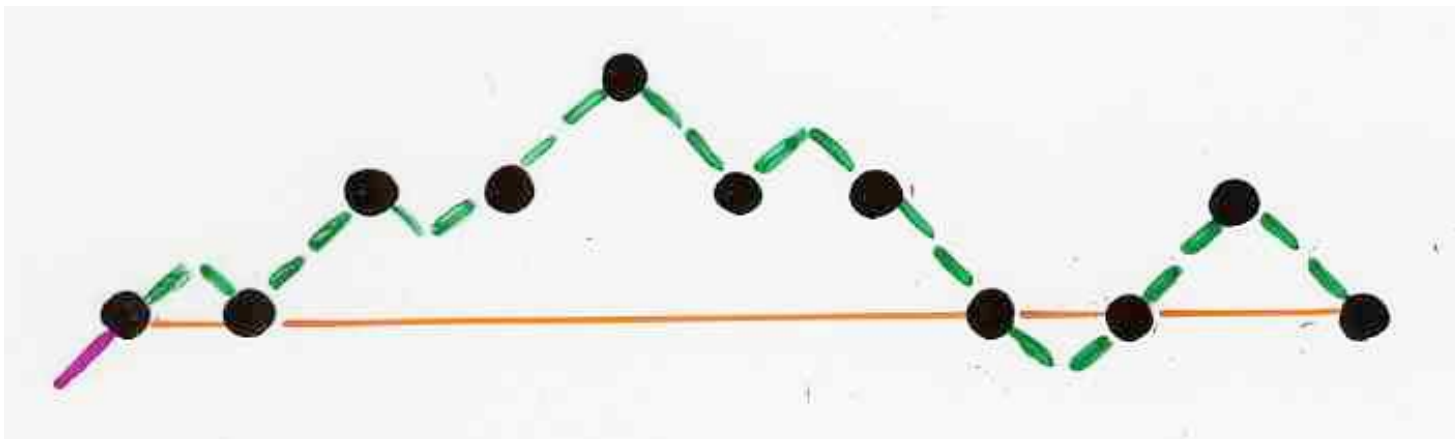


substitution

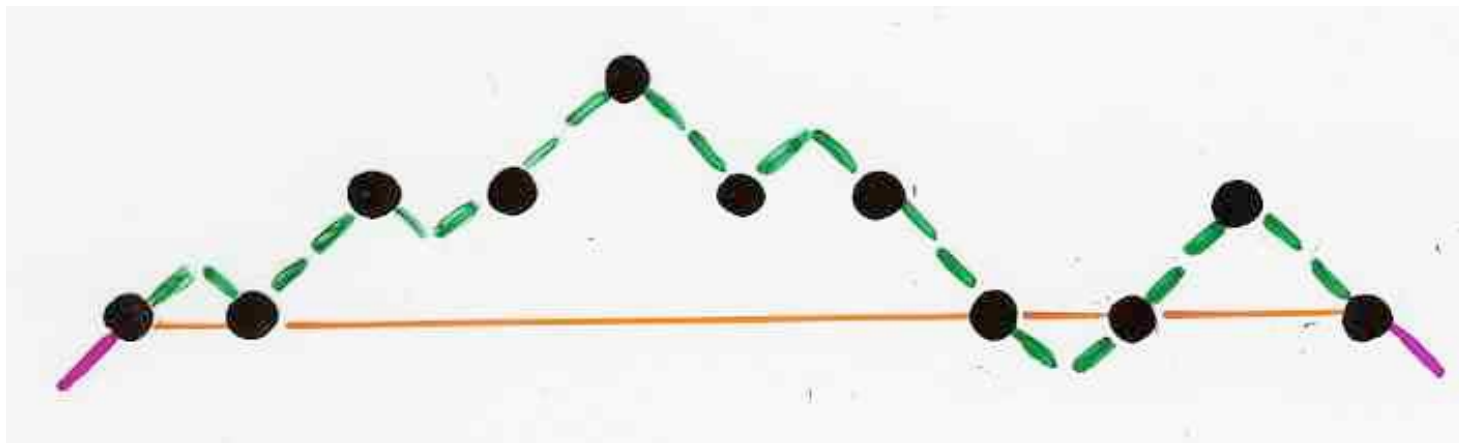


substitution



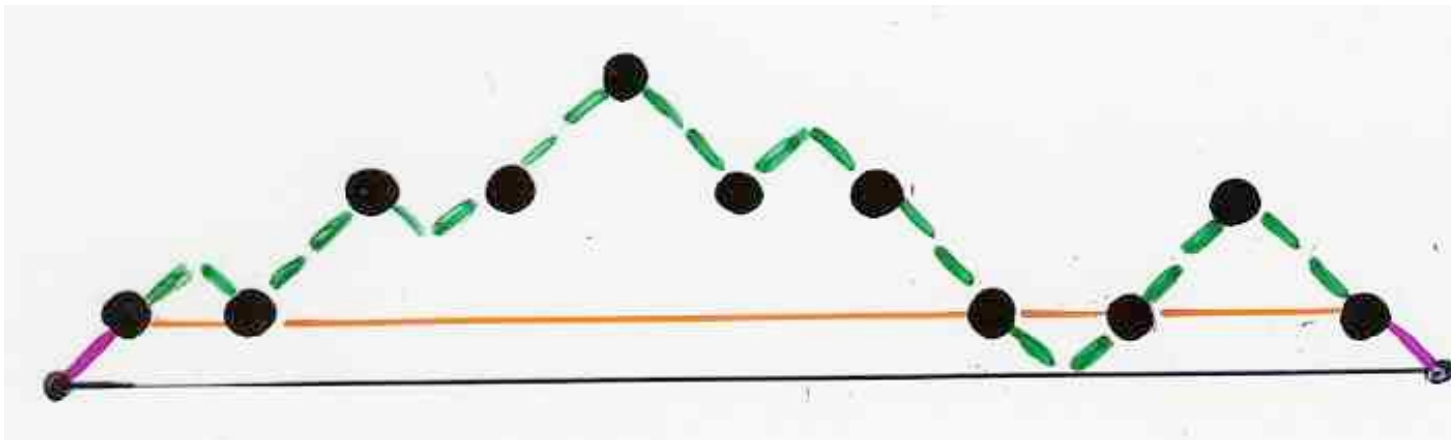


adding at the
beginning of the path



adding at the
end of the path

C_{n+1}



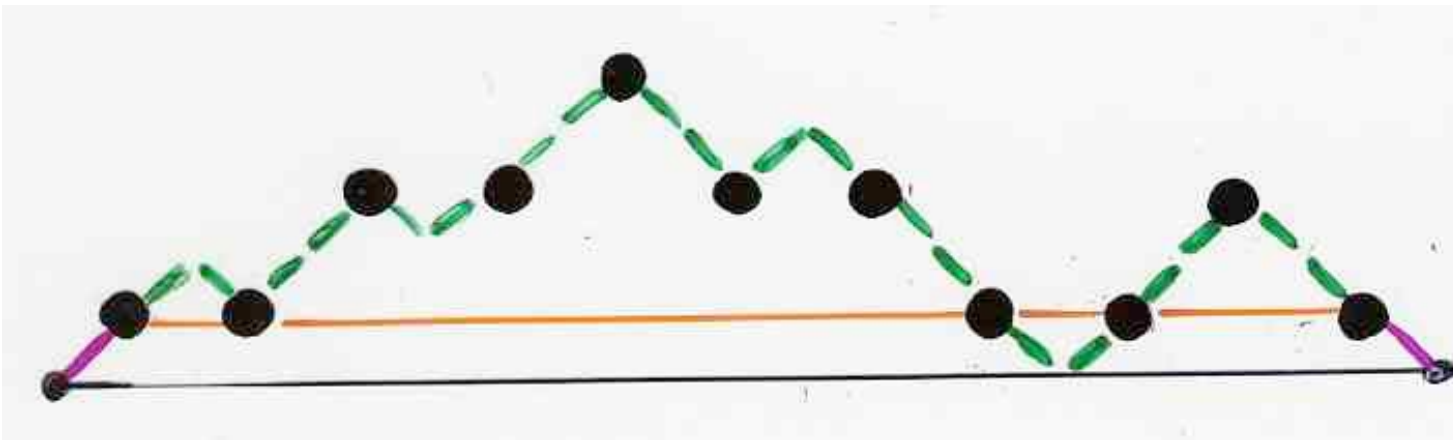
Dyck path
length $2i+2$

C_{n+1}

$\binom{n}{2i}$

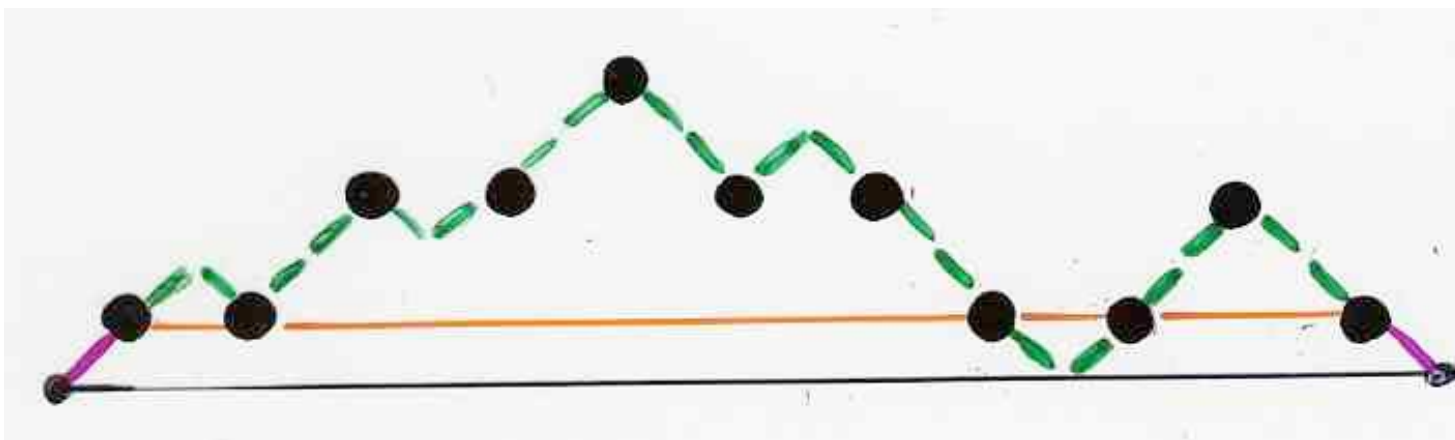
C_i

2^{n-2i}



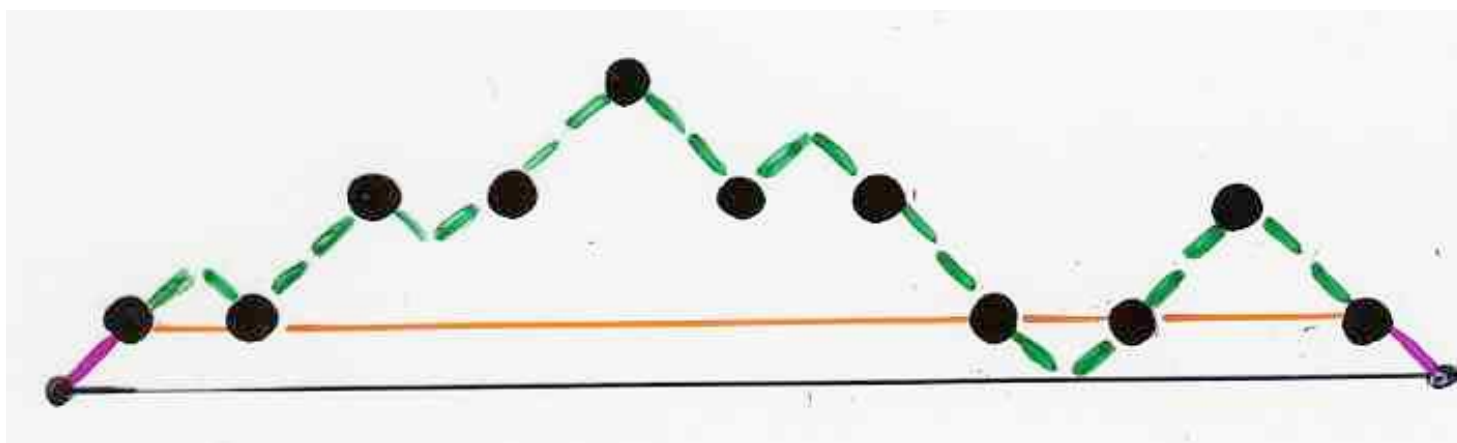
Dyck path
length $2i+2$

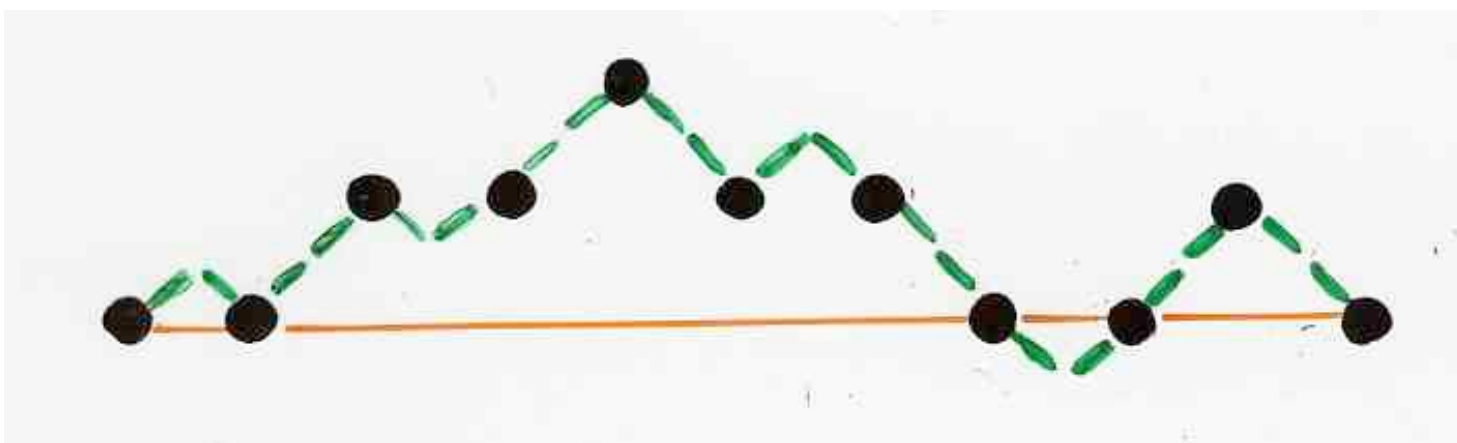
$$C_{n+1} = \sum_{0 \leq i \leq \lfloor \frac{n}{2} \rfloor} \binom{n}{2i} C_i 2^{n-2i}$$

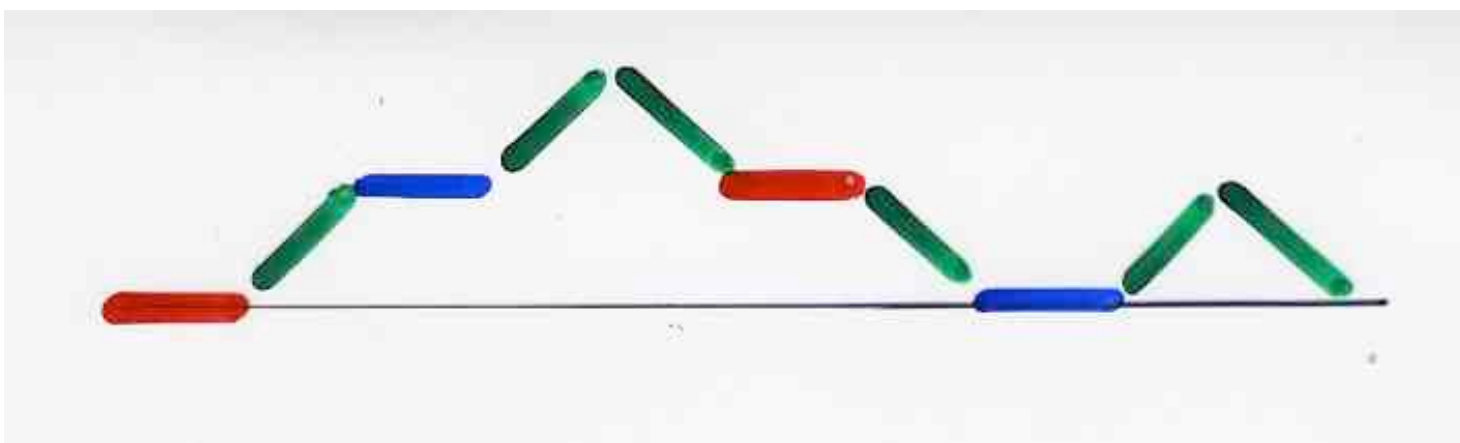


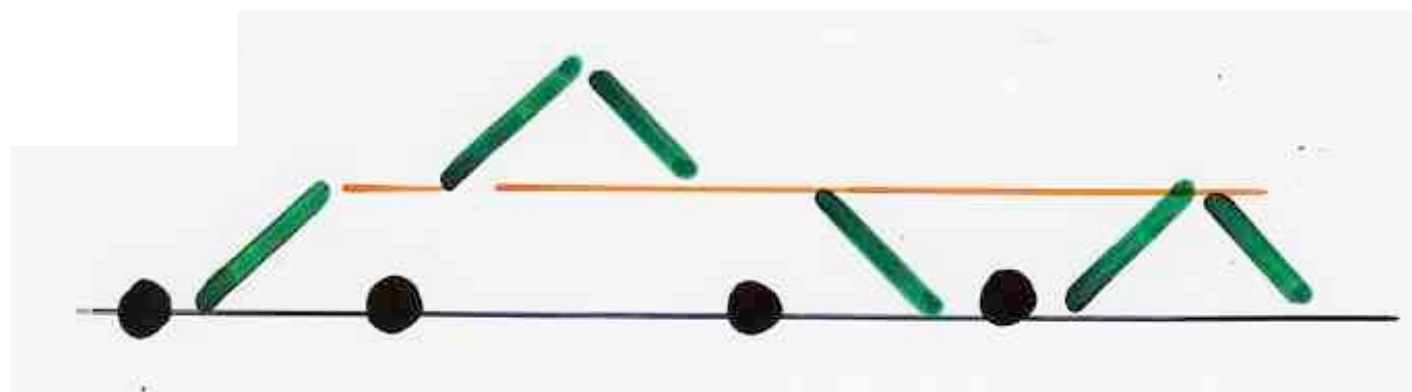
Dyck path
length ($2n+2$)

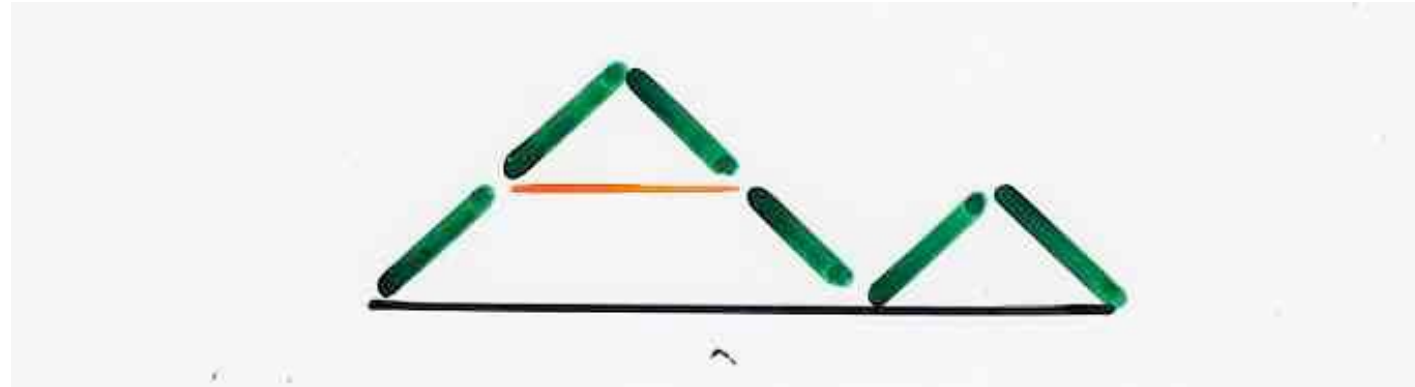
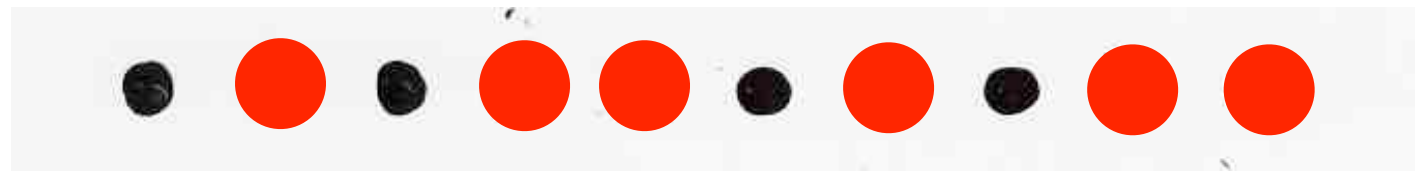
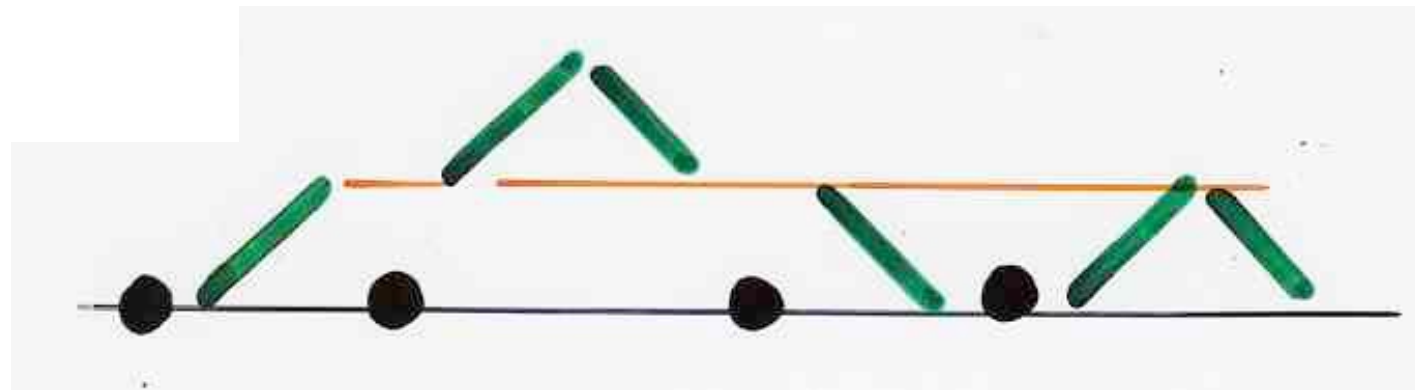
reciprocal
bijection







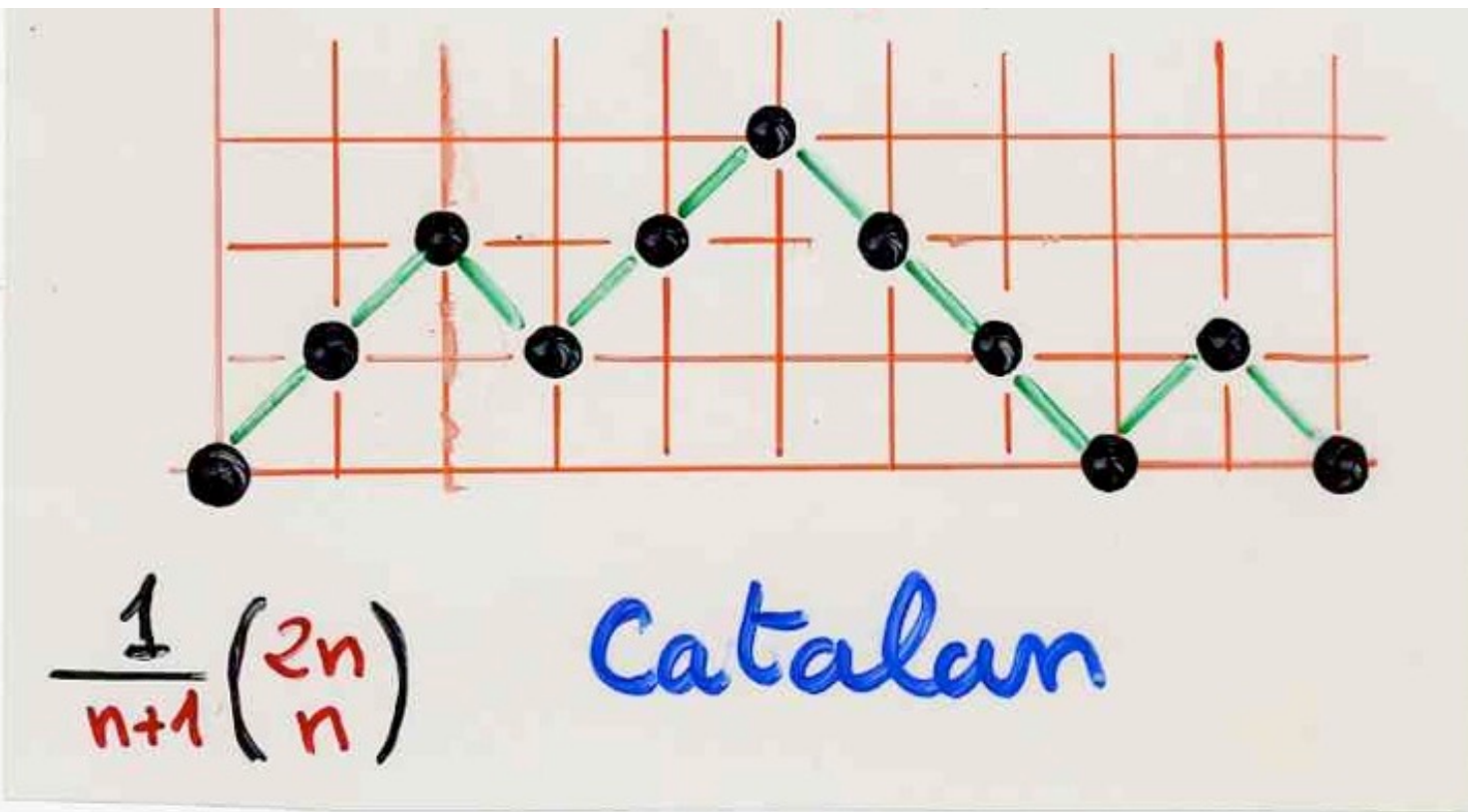




logarithmic height

of a Dyck path

Dyck path



Dyck path

Height

w

$h(w)$

logarithmic height $lh(w)$

$$= \lfloor \log_2(1+h(w)) \rfloor$$

$$lh(w) = k$$

$$\Leftrightarrow 2^{k-1} \leq h(w) < 2^{k+1}$$

$$D(t, x) = \sum_{n, k} D_{n, k} x^k t^n$$

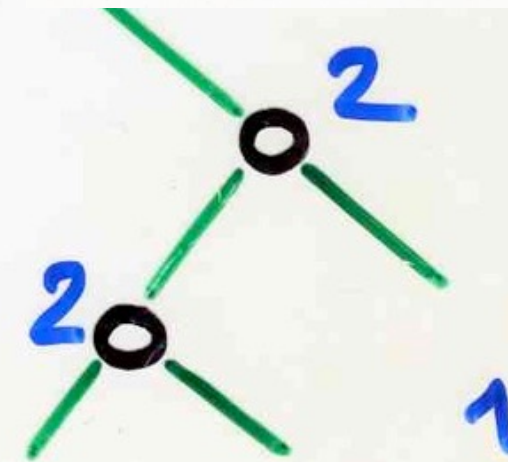
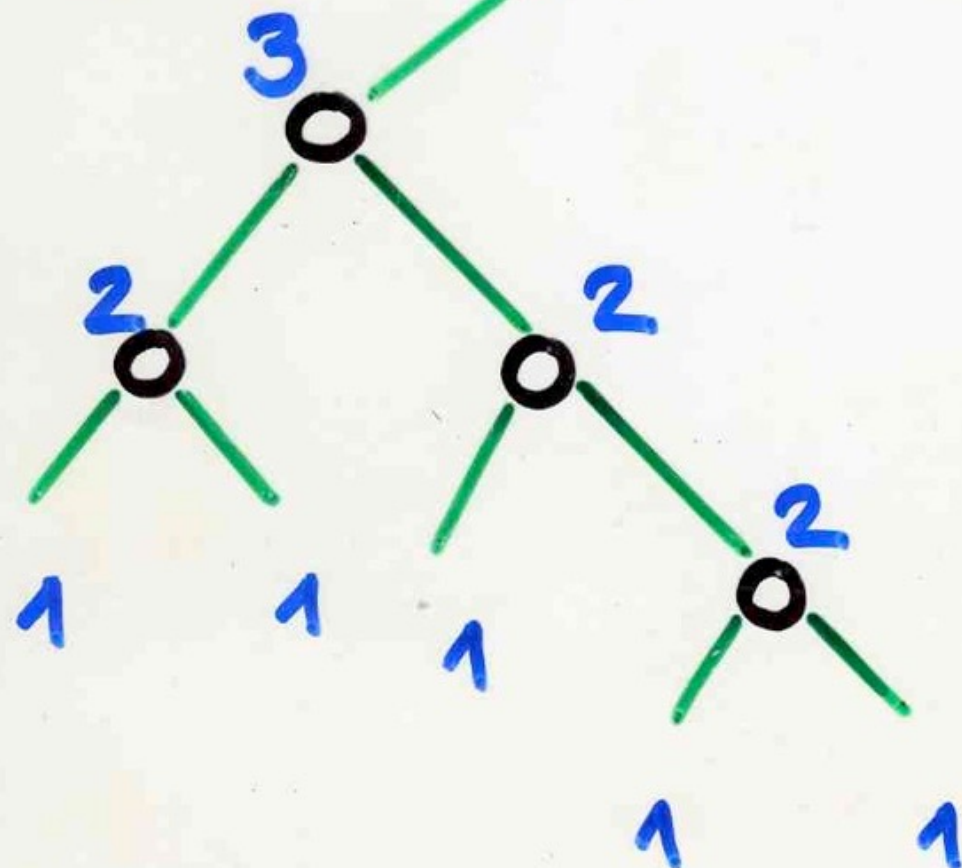
number of Dyck paths ω
 with length $|\omega| = 2n$
 and logarithmic height
 $lh(\omega) = k$

$D(t, x)$ satisfies the same functional equation than $S(t, x)$

enumerating binary trees according to
 the number of internal vertices (E)
 and Strahler number (x)

$$3 = \text{St}(B)$$

Stahler number
of a
binary tree

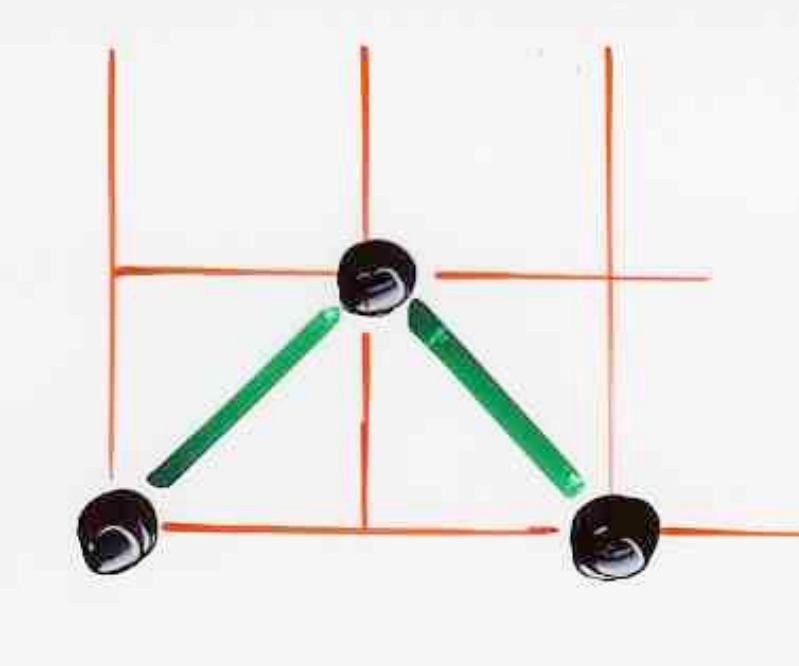


$$S(t, x) = \sum_{k \geq 0} S_k(t) x^k$$

$$= \sum_{n, k} S_{n, k} x^k t^n$$

$$S(t, x) = 1 + \frac{xt}{(1-2t)} S\left(\left(\frac{t}{1-2t}\right)^2, x\right)$$

Frangon (1984)
Knuth (2005)



Dyck path
length ϵ^n 2n

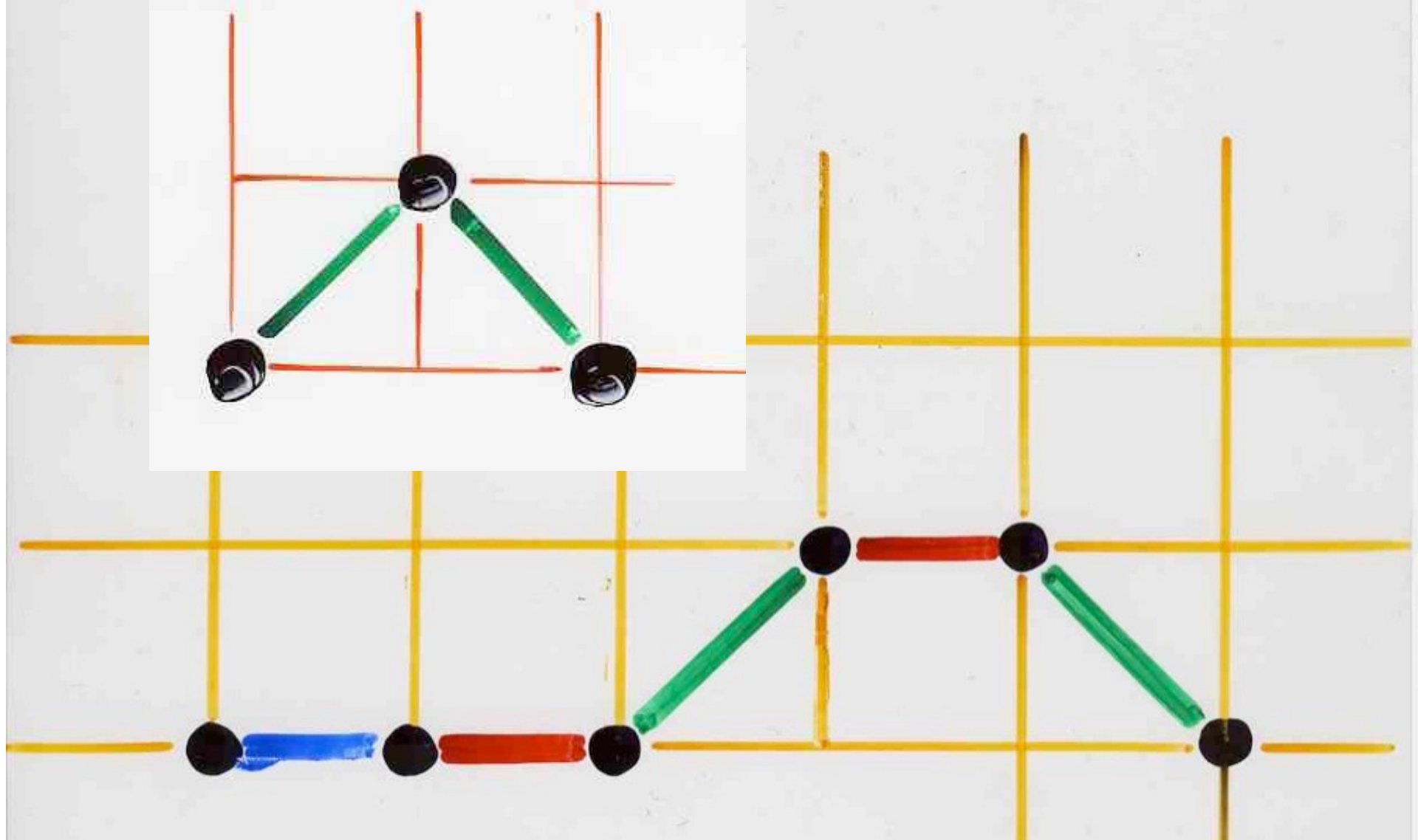


$(2n+1)$ vertices
 ϵ^{2n+1}

$$S(u, x) \rightarrow u S(u^2, x)$$

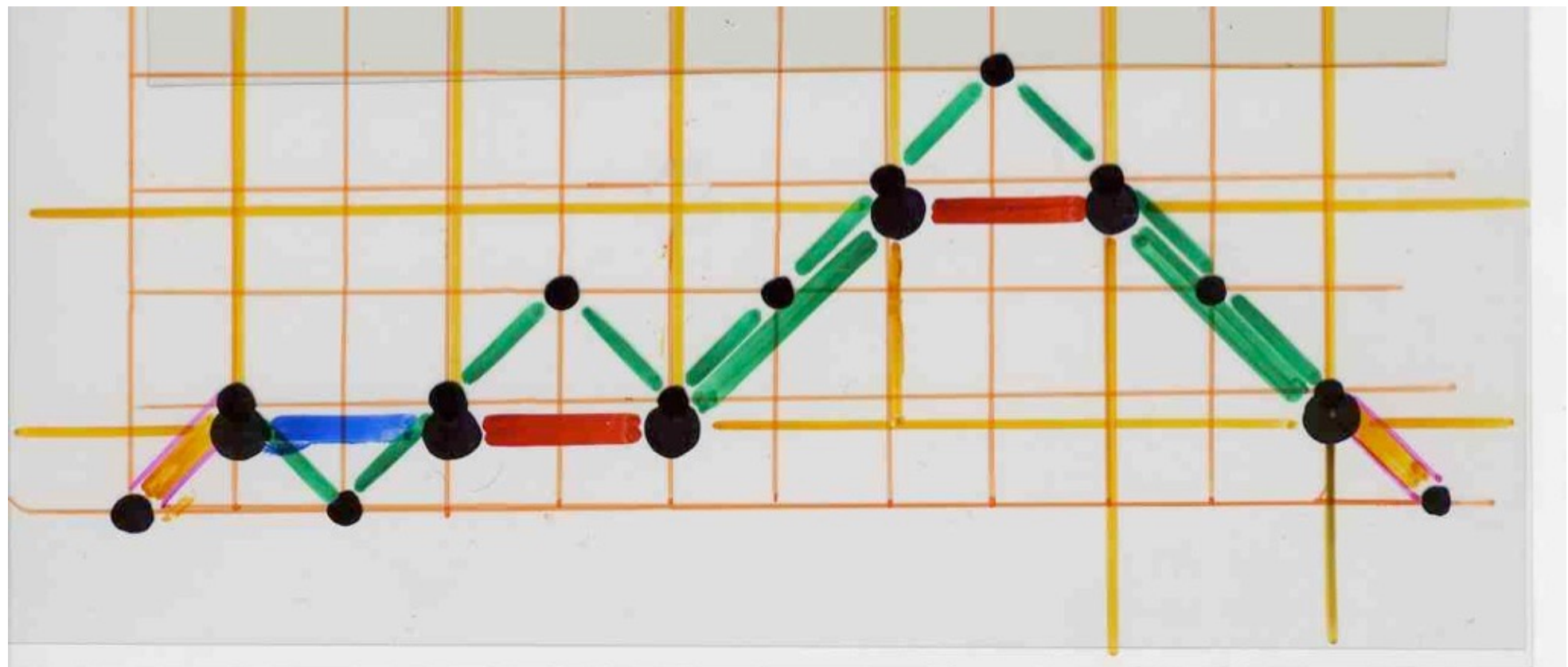
$$u \leftarrow \frac{t}{1-2t}$$

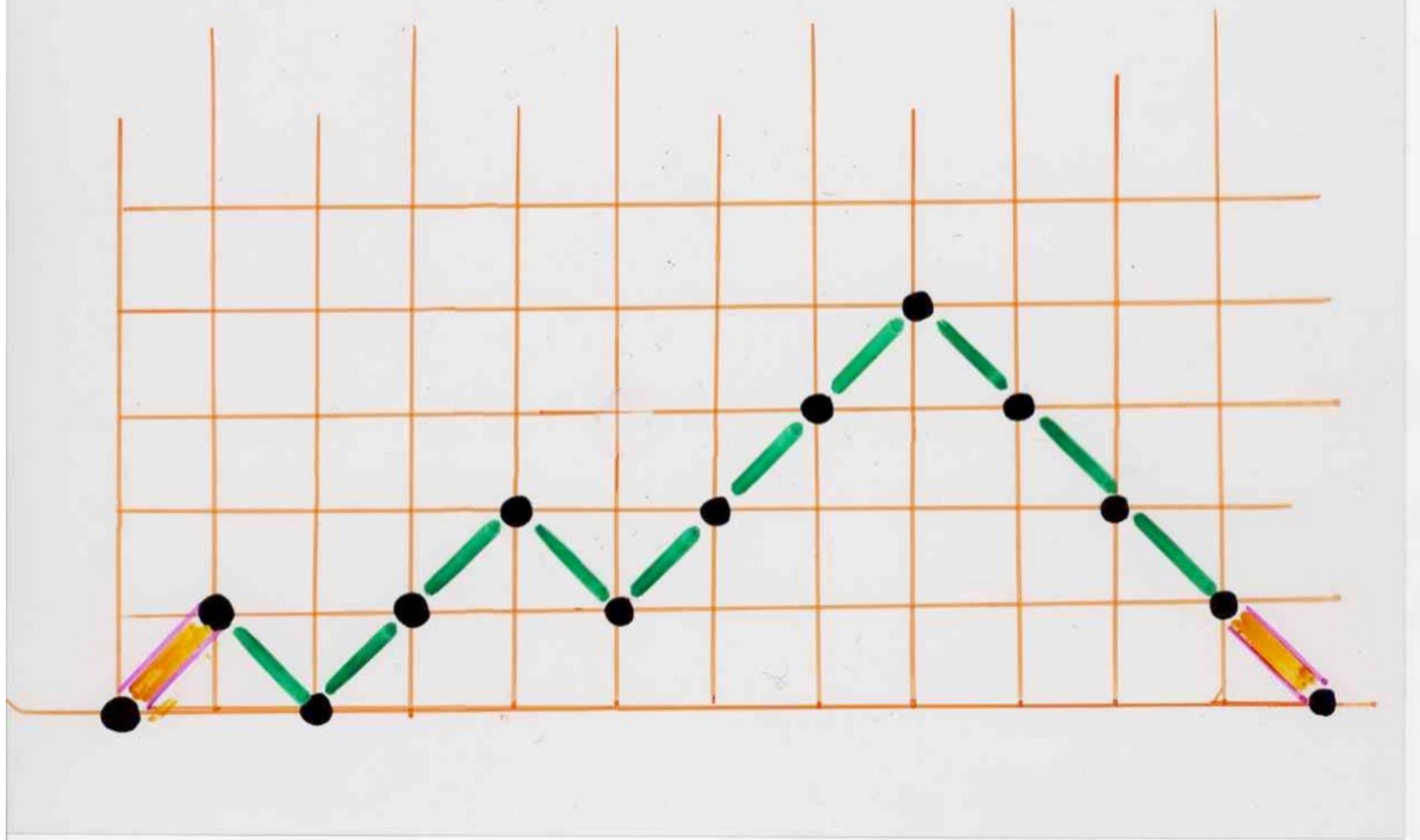
substitution

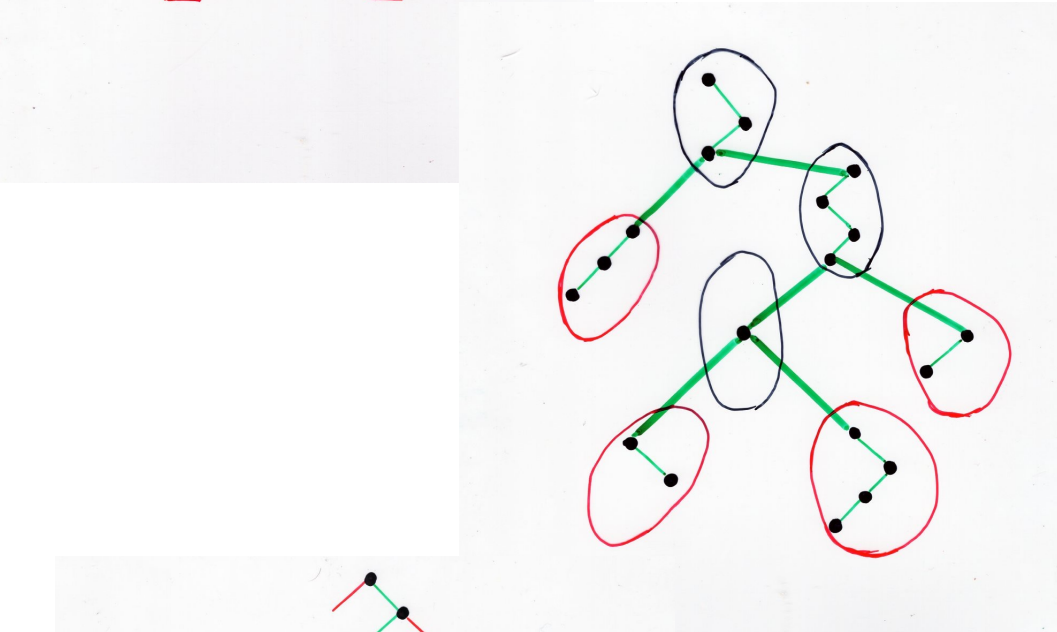
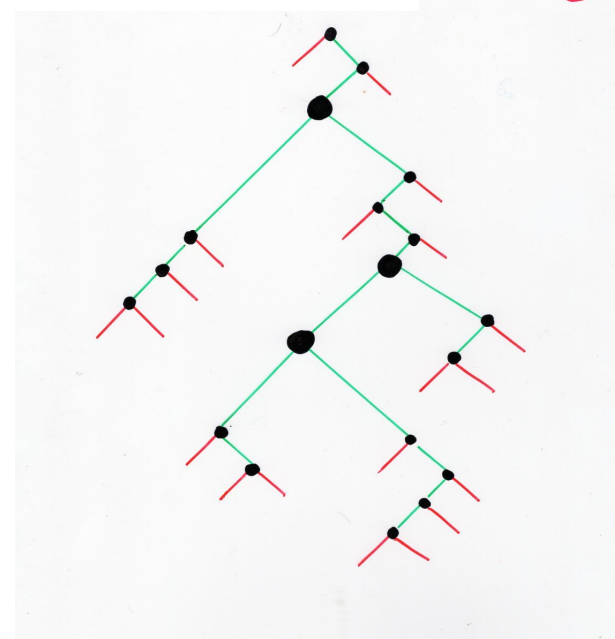
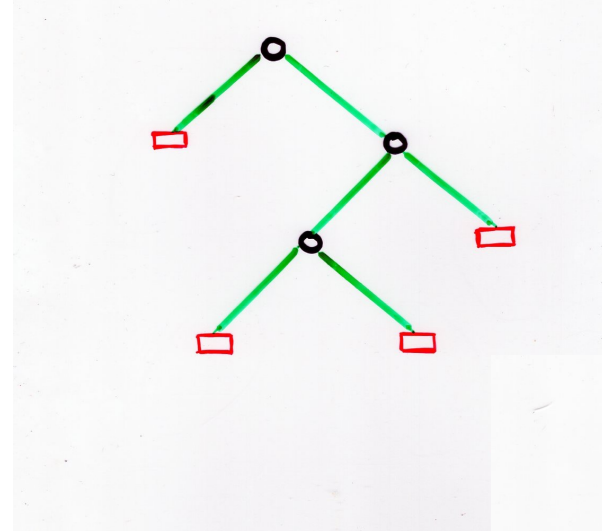
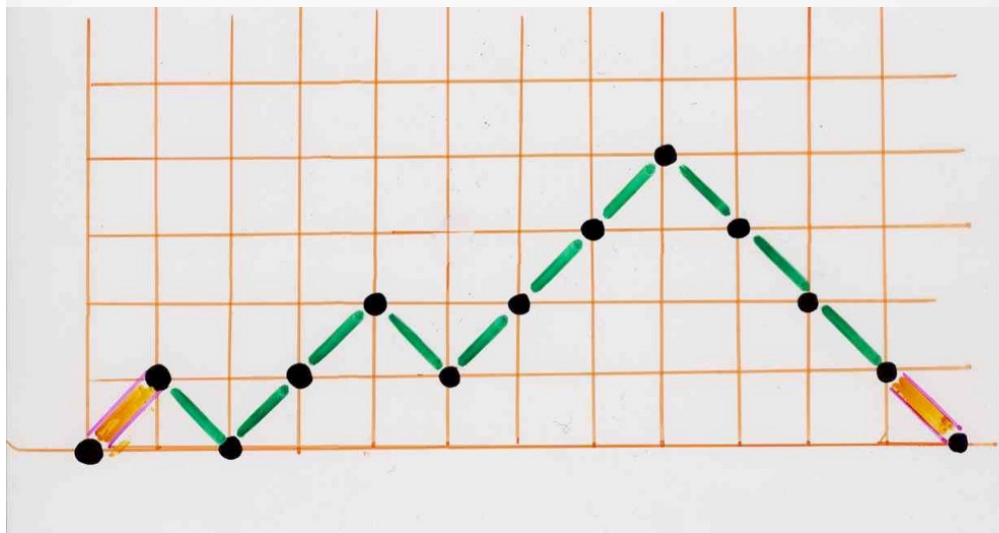
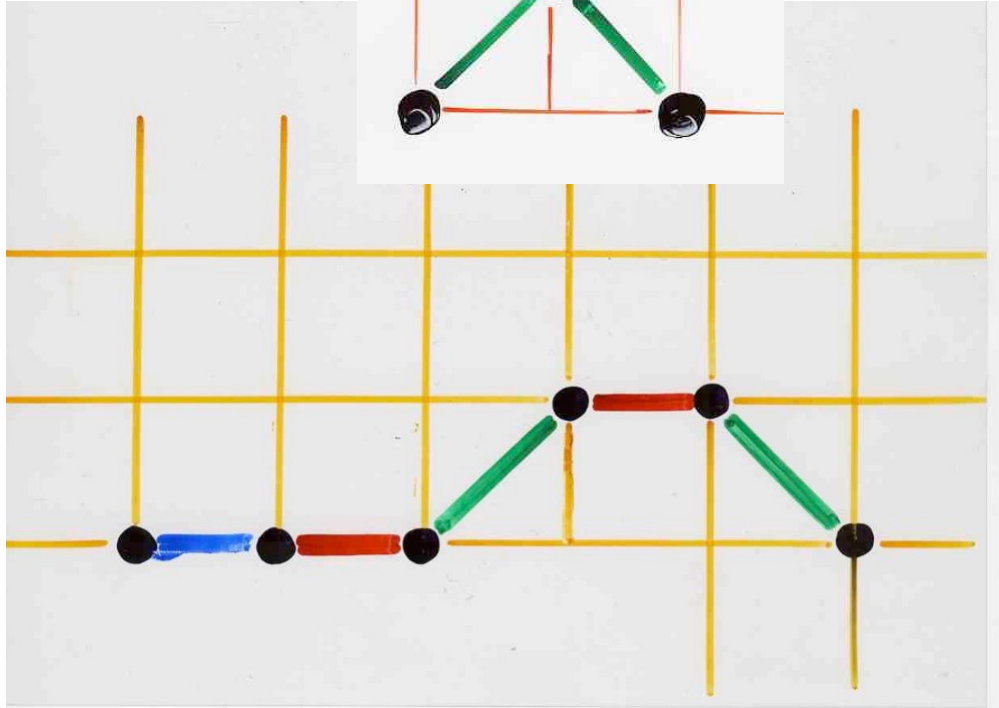


Dyck path
length ℓ^n $2n$

\rightarrow $(2n+1)$ vertices
 ℓ^{2n+1}







$$S(t, x) = \sum_{k \geq 0} S_k(t) x^k$$

$$= \sum_{n, k} S_{n, k} x^k t^n$$

$$S(t, x) = 1 + \frac{xt}{(1-2t)} S\left(\left(\frac{t}{1-2t}\right)^2, x\right)$$

Frangon (1984)
Knuth (2005)

(complete)

binary trees

n (internal) vertices

Strahler nb = k

Franson

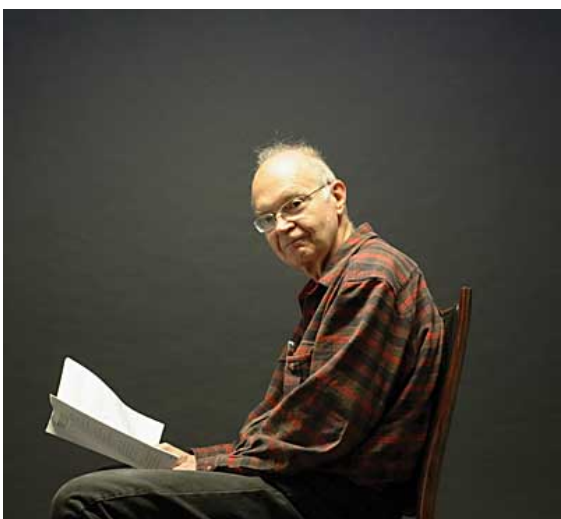
(1984)

Dyck paths

length $2n$

log. height

$lh(w) = k$



Knuth

(2005)

$$S_{\leq k}(t) = \frac{F_{2^k-2}(t)}{F_{2^k-1}(t)} \quad (k \geq 2)$$

generating function

for binary trees

with Strahler number $\leq k$

$= k$

$$S_{\leq k}(t) = \frac{F_{2^k-2}(t)}{F_{2^k-1}(t)} \quad (k \geq 2)$$

generating function
for binary trees
with Strahler number $\leq k$

$= k$

$$S_k(t) = S_{\leq k}(t) - S_{\leq (k-1)}(t) \quad (k \geq 2)$$

$$= \frac{t^{(2^{k-1}-1)}}{F_{2^k-1}(t)}$$

